



*La richiesta di competenza  
neurologica nel prossimo futuro*

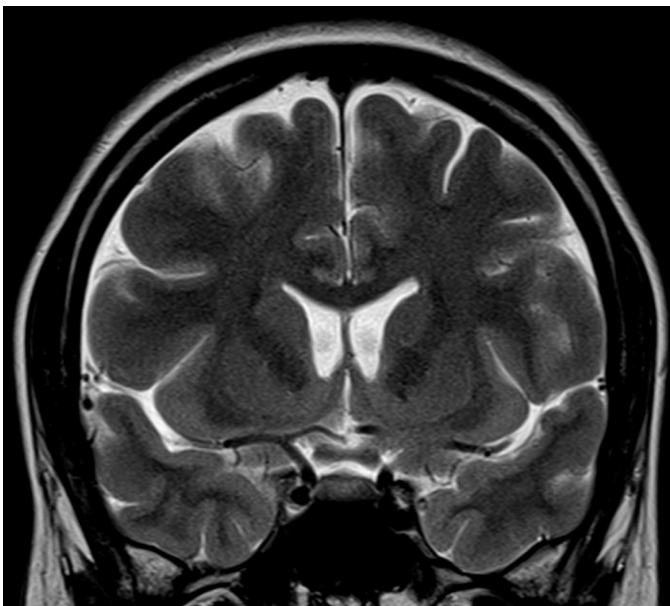
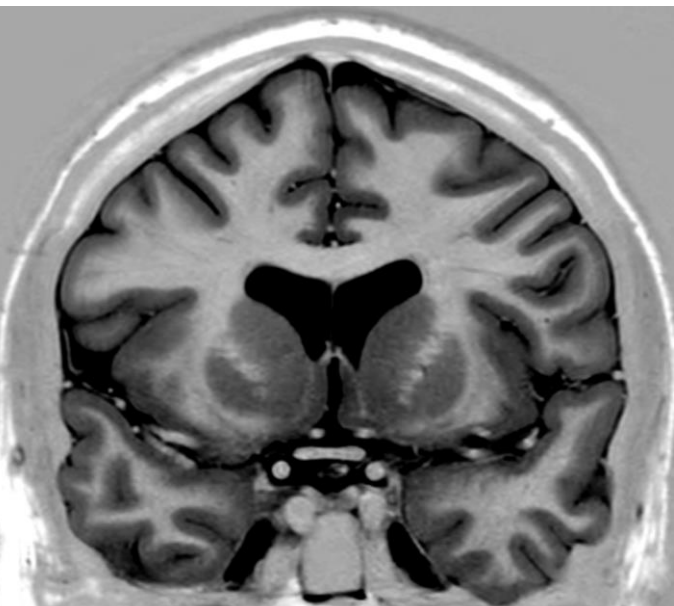
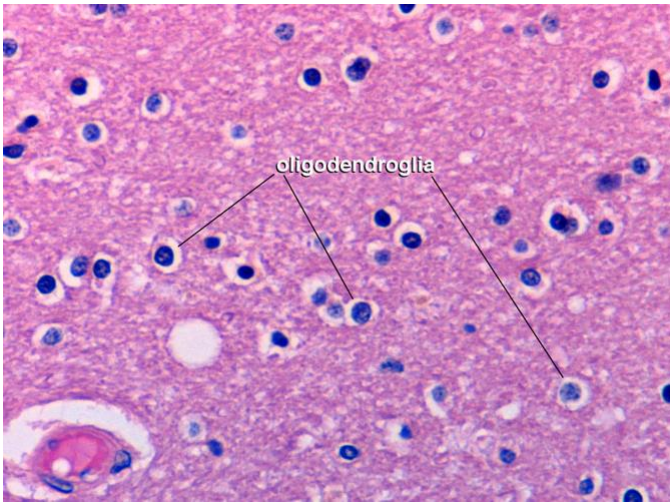
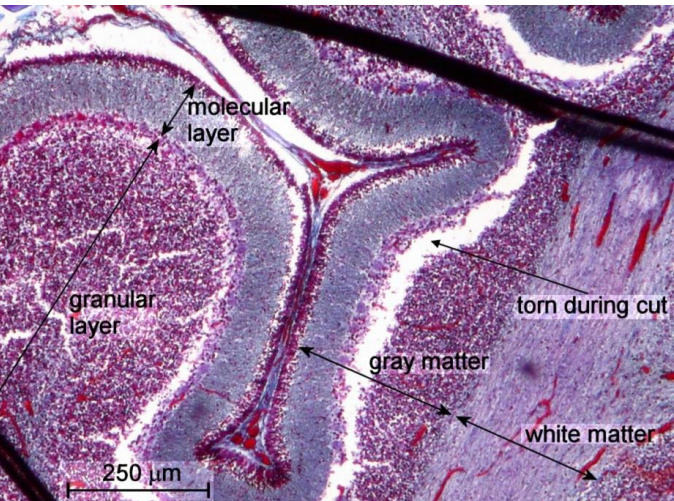
# *Malattie della sostanza bianca: diagnosi neuroradiologica e contributo alla diagnosi differenziale*

*Roberto Floris*

# Sostanza bianca

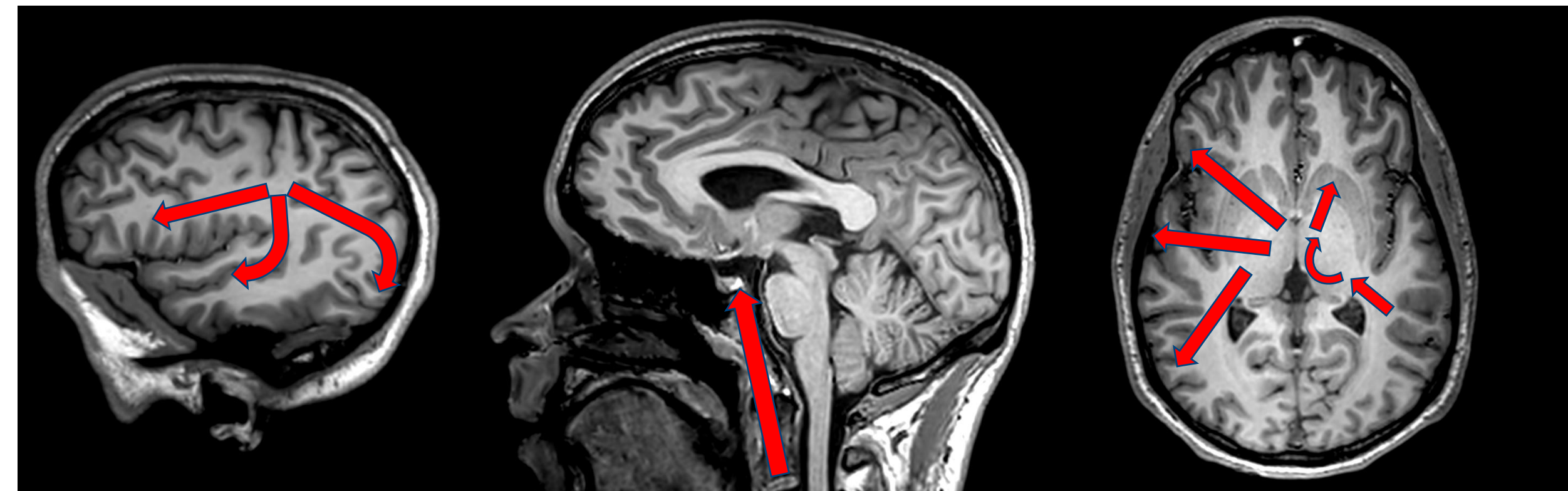
- Costituita da **assoni mielinizzati e cellule gliali**
- Mielina prodotta da **oligodendrociti** è responsabile del colore e delle caratteristiche RM
- Mielina composta da 40% di acqua, lipidi (cerebrosidi, lecitina) e proteine (proteolipidi, **proteine basiche della mielina\*** e **glicoproteina mielinica degli oligodendrocyti\***)

Colorazione con “Luxol Fast Blue”



\* Localizzate nello strato più esterno della mielina ed è un potenziale target di autoimmunità

# Mielinizzazione



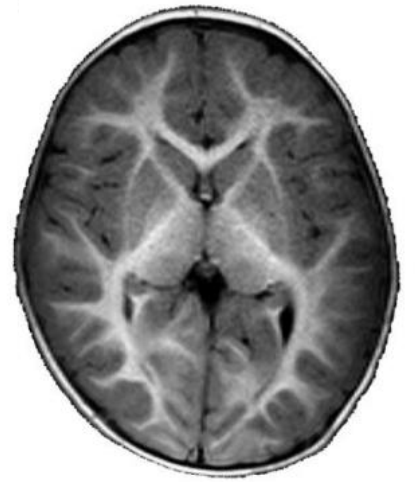
Mielinizzazione delle regioni sensitive avviene prima delle regioni motorie

Mielinizzazione dalla sostanza bianca centrale alla periferia

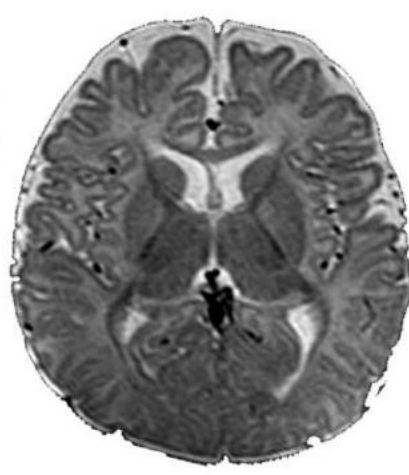
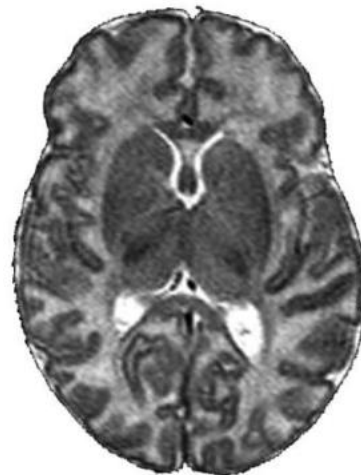
La mielinizzazione delle regioni posteriori antecede le regioni temporali e frontali

# Mielinizzazione

**T1**



**T2**



Nascita

5 mesi

1 anno

2 anni

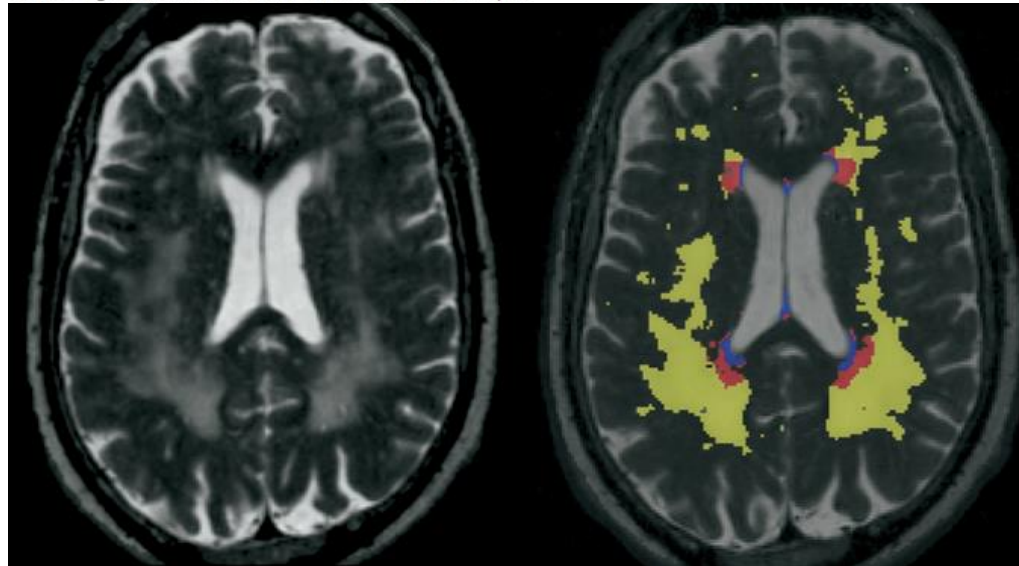
Processo realizzato da **Oligodendrociti** nel sistema nervoso centrale dal **5° mese** di vita sino ai **2 anni** di vita

## REVIEW

BIOL PSYCHIATRY 2008;64:273–280

**Classification of White Matter Lesions on Magnetic Resonance Imaging in Elderly Persons**

Ki Woong Kim, James R. MacFall, and Martha E. Payne



Sostanza bianca iuxtaventricolare  
 Sostanza bianca periventricolare  
 Sostanza bianca profonda  
 Sostanza bianca iuxtacorticale

**Table 1.** Proposed Subclassification of WM Lesions

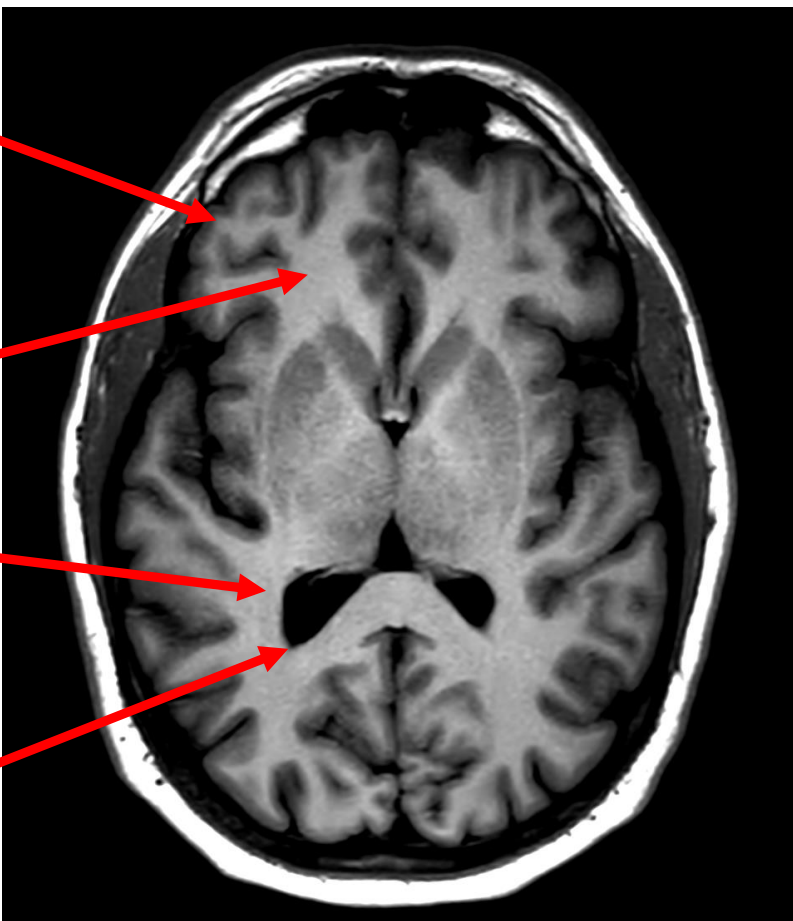
|           | Juxtaventricular                     | Periventricular  | Deep  | Juxtacortical                              |
|-----------|--------------------------------------|--|---|--|
| Locations | Within 3 mm from ventricular surface | Periventricular watershed zone<br>3–13 mm from ventricular surface | Between periventricular WM and juxtacortical WM | Within 4 mm from corticomedullary junction |

**Sostanza bianca iuxtacorticale**

**Sostanza bianca profonda**

**Sostanza bianca periventricolare**

**Sostanza bianca iuxtaventricolare**



Comprendono disordini che colpiscono esclusivamente o prevalentemente la sostanza bianca encefalica

**Genetiche o acquisite**

**Progressive o statiche**

Possono insorgere ovvero manifestarsi in qualsiasi età

---

## **DEMIELINIZZANTI**

*Anomalie secondarie a  
distruzione di mielina*

## **DISMIELINIZZANTI**

*Anomalia primarie della  
mielinizzazione*

## **IPOMIELINIZZANTI**

*Difettiva mielinizzazione*

# *Malattie demielinizzanti*

# Malattie demielinizzanti

## Malattie autoimmuni

Sclerosi multipla e varianti  
(Balo, Marburg, Schilder)

Neuromielite ottica (m. di Devic)

Encefalomielite acuta disseminata  
(ADEM)

Leucoencefalopatia acuta emorragica  
(m. di Hurst)

## Malattie infettive

Leucoencefalopatia multifocale progressiva  
(PML)

Leucoencefalopatia HIV correlata

## Malattie vascolari

Arteriolosclerosi

Angiopatia amiloide cerebrale

CADASIL

Sindrome di Susac

Neurolupus

## Malattie tossico-metaboliche

Mielinolisi pontina

Leucoencefalopatia da Metotrexate

Sindrome dell'encefalopatia posteriore reversibile

Patologie alcol-relate

# Sclerosi Multipla

The NEW ENGLAND JOURNAL of MEDICINE  
2018

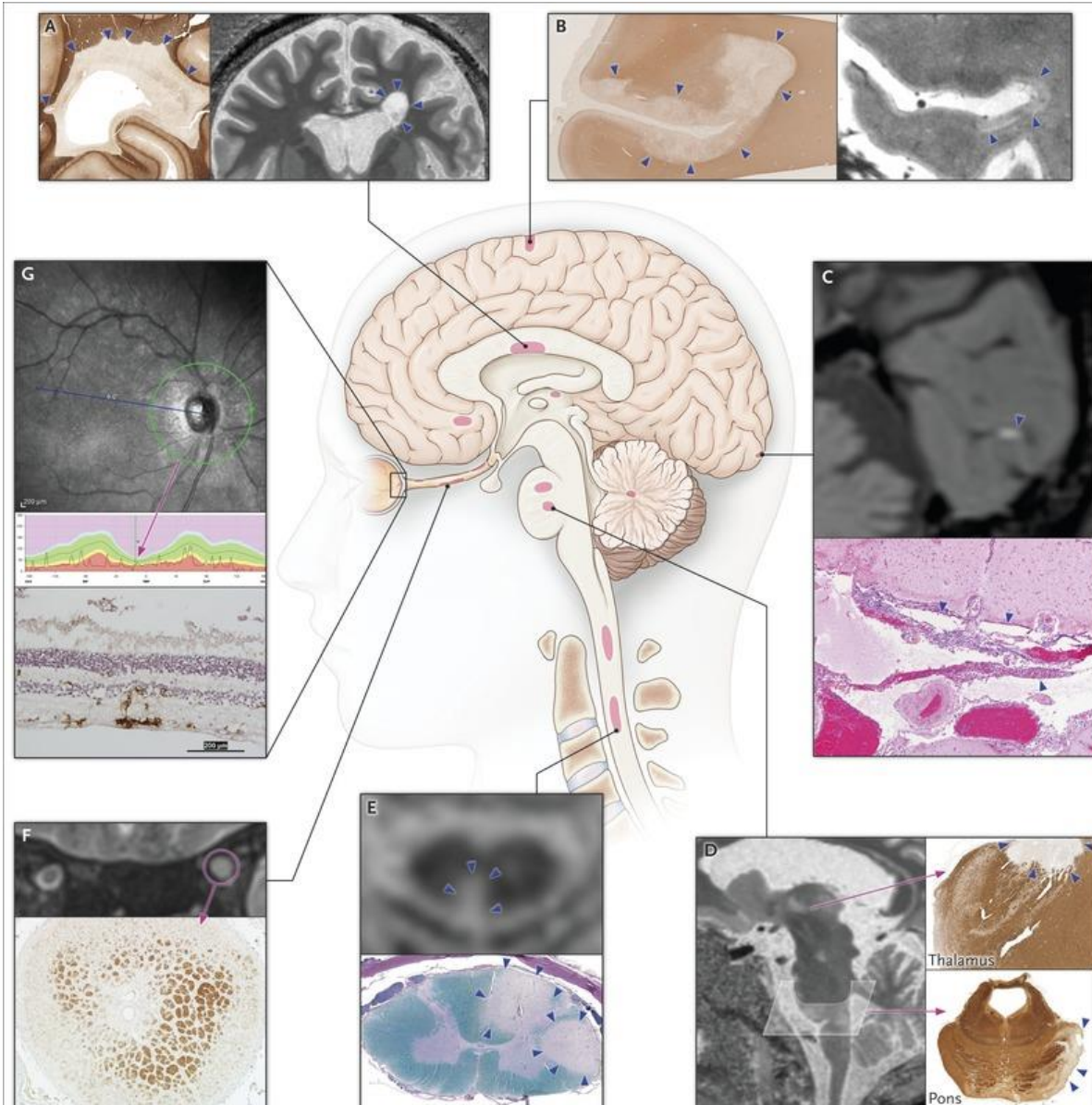
REVIEW ARTICLE

Dan L. Longo, M.D., Editor

## Multiple Sclerosis

Daniel S. Reich, M.D., Ph.D., Claudia F. Lucchinetti, M.D.,  
and Peter A. Calabresi, M.D.

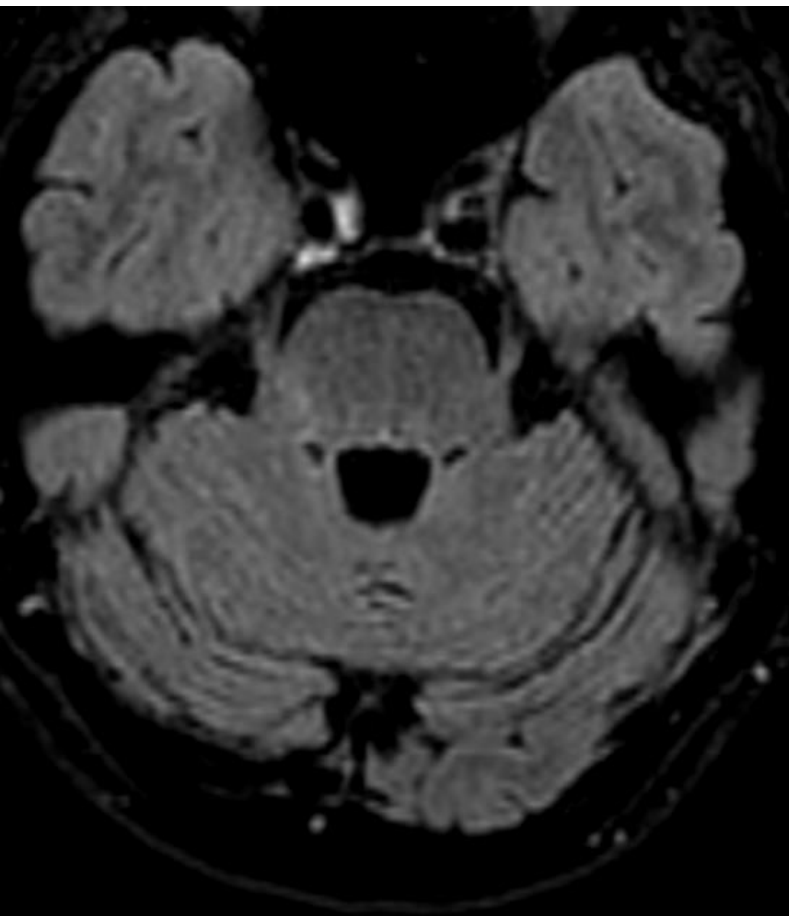
- Malattia demielinizzante primitiva ad etiologia sconosciuta
- Istologia:
  - infiammazione perivenulare
  - demielinizzazione con risparmio assonale
  - infiltrazione macrofagica e linfocitaria perivenulare
  - attivazione microglia e deposito di fibrina
  - possibili depositi emosiderinici
- Imaging: lesioni della sostanza bianca periventricolare, iuxtacorticale, infratentoriale, corpo calloso e del midollo spinale



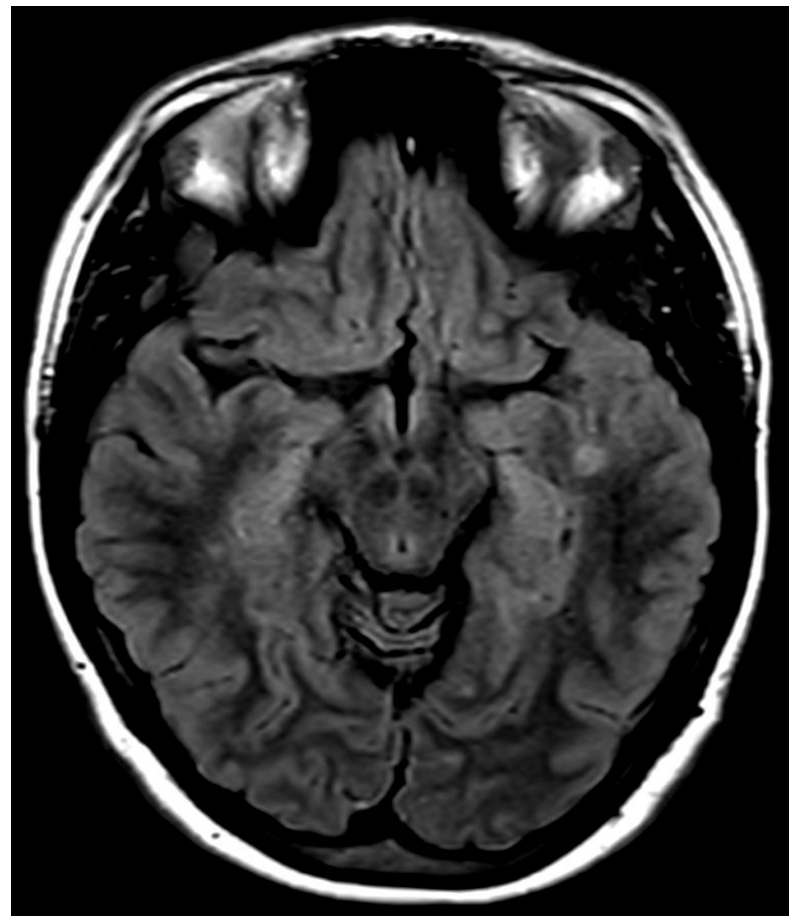
# Sclerosi Multipla

## Aspetti tipici

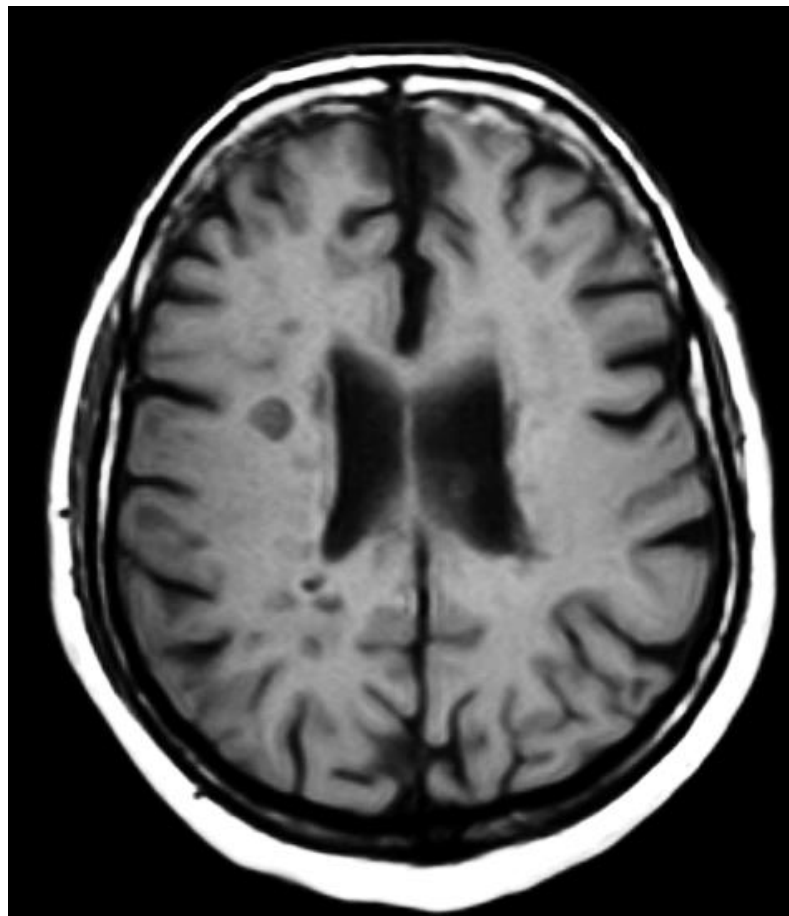
In sede **truncale** lesioni  
spesso **periferiche**



Lesioni **periventricolari**  
adiacenti i corni **temporali**



**Black holes**  
Volume correla con scale cliniche



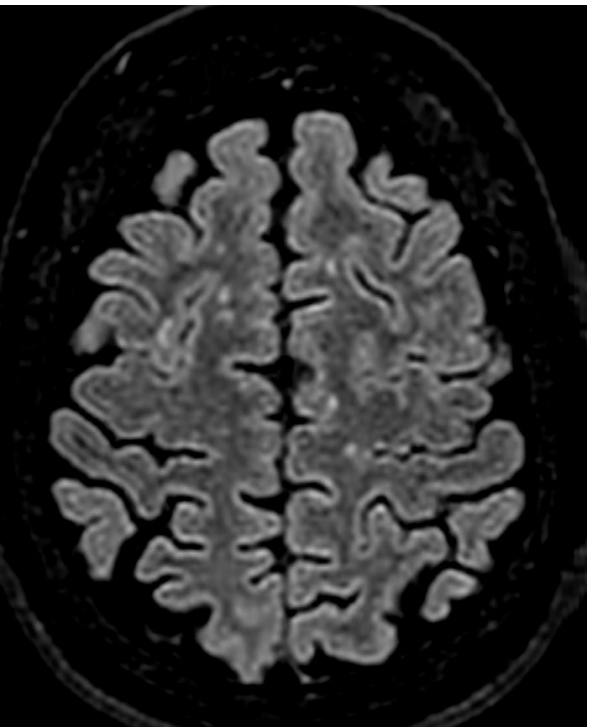
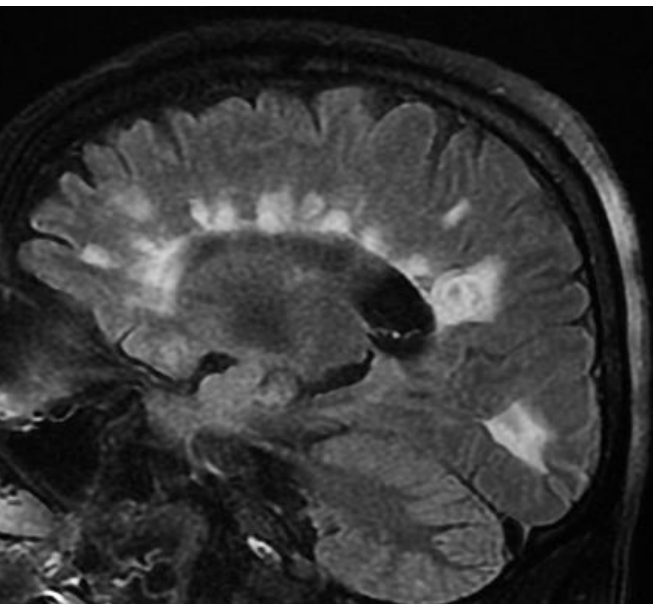
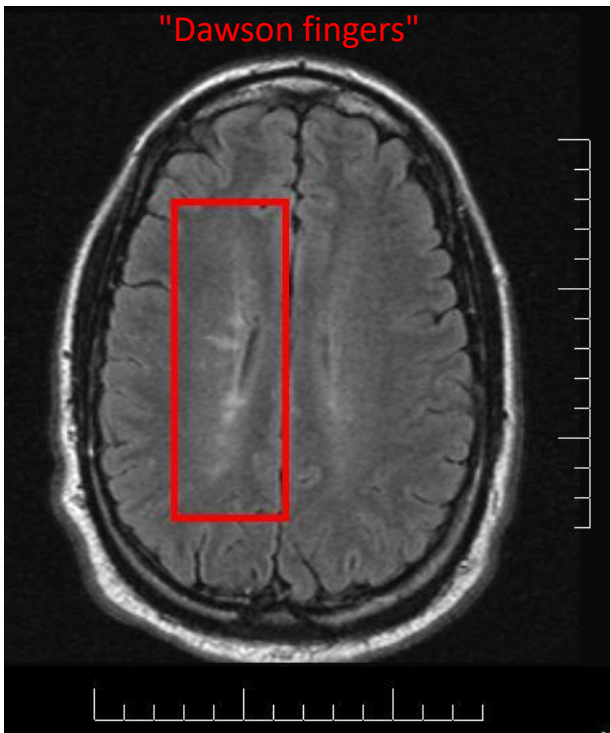
# Sclerosi Multipla

## Dawson fingers

multiple lesioni ovalari o lineari iperintense in T2 perpendicolari all'asse ventricolare-ependimale ed a livello della giunzione calloso marginale

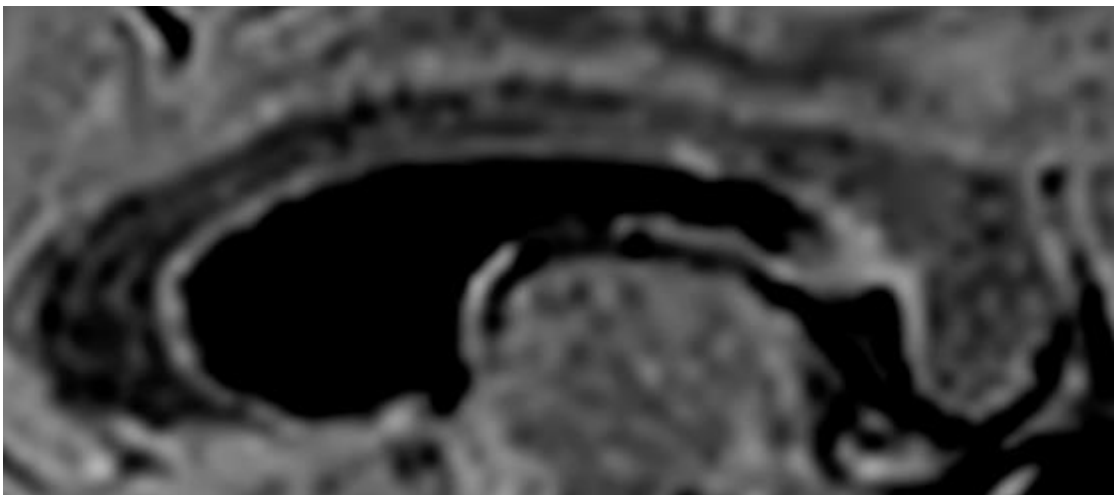
Lesioni possono coinvolgere  
**fibre sottocorticale associative brevi**  
(Fibre a «U»)

"Dawson fingers"



# Sclerosi Multipla

**Dot-dash sign**



European Journal of Radiology 81 (2012) 3491–3495



Contents lists available at SciVerse ScienceDirect

European Journal of Radiology

journal homepage: [www.elsevier.com/locate/ejrad](http://www.elsevier.com/locate/ejrad)



MR imaging findings of the corpus callosum region in the differentiation between multiple sclerosis and neuromyelitis optica

Zhiye Chen<sup>a</sup>, Feng Feng<sup>b</sup>, Yang Yang<sup>c</sup>, Jinfeng Li<sup>a</sup>, Lin Ma<sup>a,\*</sup>

**Dot-dash sign subcallosale può essere utile per distinguere SM (segno frequente) dalla neuromielite ottica (segno meno frequente)**

## The Ependymal “Dot-Dash” Sign: An MR Imaging Finding of Early Multiple Sclerosis

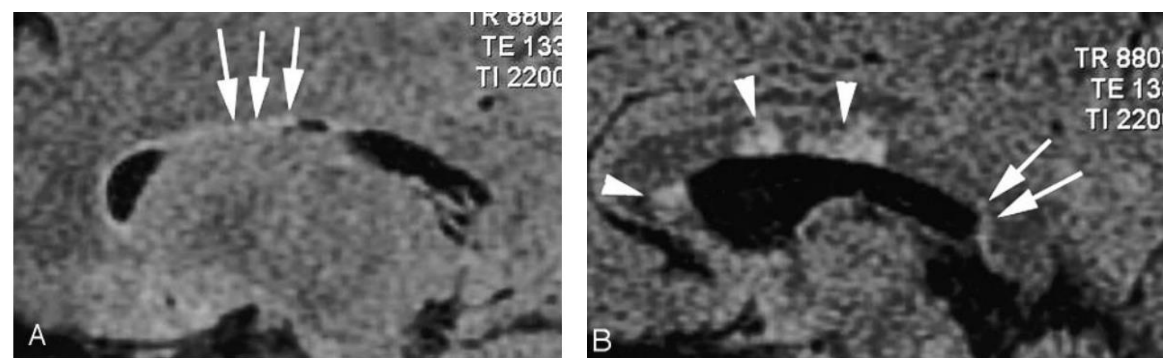
Christopher J. Lisanti, Patrick Asbach, and William G. Bradley, Jr.

AJNR Am J Neuroradiol 26:2033–2036, September 2005

Tempo 0



7 mesi



**CONCLUSION:** The Dot-Dash sign of ependymal irregularity on thin-section sagittal fluid-attenuated inversion recovery images is an early marker for multiple sclerosis, which is particularly useful in the younger patient. This finding appears to be more sensitive for early lesion detection than any other multiple sclerosis imaging finding yet described in the literature.

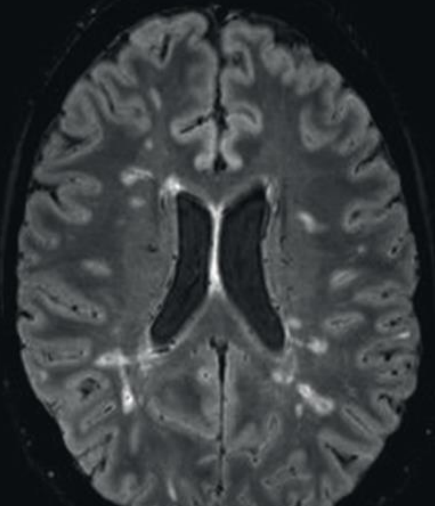
Nei giovani (<50 anni) : sensibilità >95% e specificità (>70%)

Negli soggetti > 50anni: ridotta sensibilità e specificità

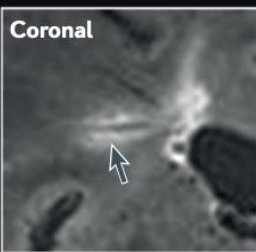
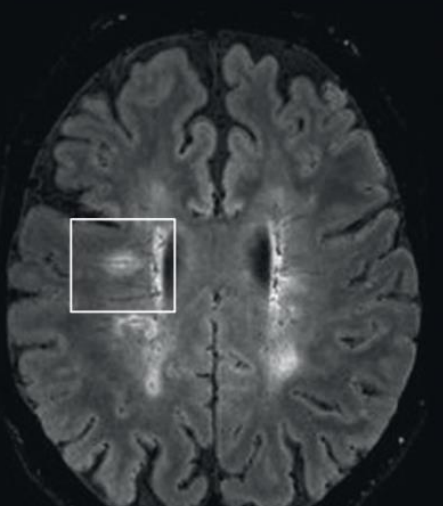
# Sclerosi Multipla



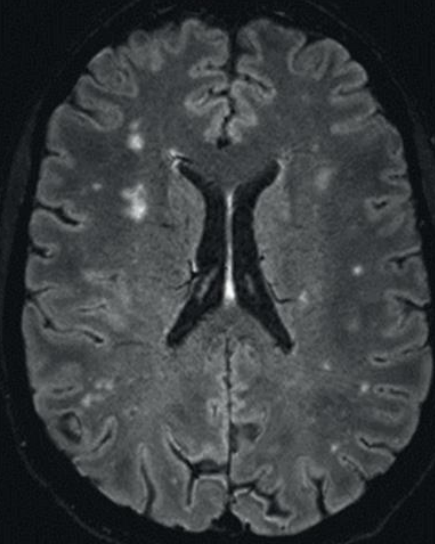
Relapsing-remitting MS



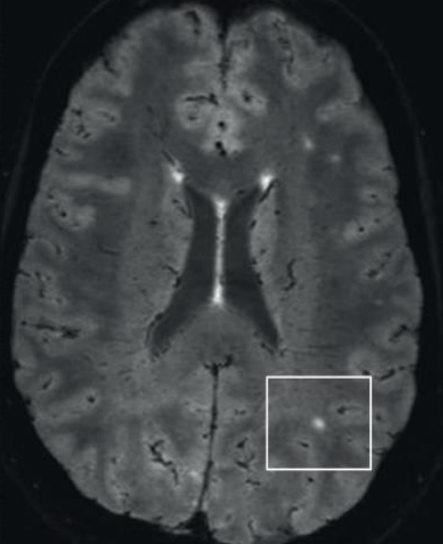
Primary progressive MS



Ischaemia



Migraine



## The **central vein sign**

- ✓ Sottile ipointensità linere o puntiforme
- ✓ Visualizzati in due piani RM
- ✓ Diametro trasverso massimo <2mm
- ✓ Attraversa parzialmente o totalmente la lesione
- ✓ Posizionata centralmente la lesione

L'incidenza complessiva: 74% (95% CI, 65-82%)

La sensibilità aggregata: 98% (95% CI, 92-100%)

La specificità aggregata: 97% (95% CI, 91-99%)

2016

CONSENSUS  
STATEMENT

OPEN

EXPERT CONSENSUS DOCUMENT

The central vein sign and its clinical evaluation for the diagnosis of multiple sclerosis: a consensus statement from the North American Imaging in Multiple Sclerosis Cooperative

Pascal Satì<sup>1</sup>, Jiwon Oh<sup>2,3</sup>, R. Todd Constable<sup>4</sup>, Nikos Evangelou<sup>5</sup>, Charles R. G. Guttmann<sup>6</sup>,

*The “Central Vein Sign” on T2\*- weighted Images as a Diagnostic Tool in Multiple Sclerosis: A Systematic Review and Metaanalysis using Individual Patient Data*

Chong Hyun Suh 2019

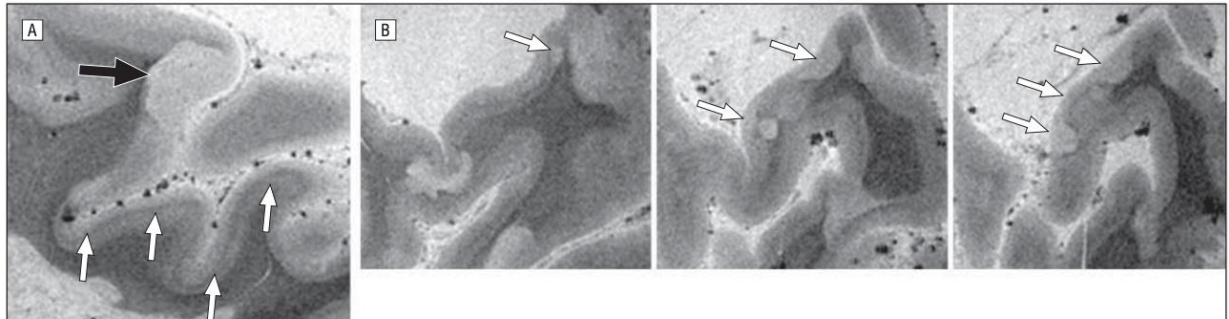
# Sclerosi Multipla

## ORIGINAL CONTRIBUTION

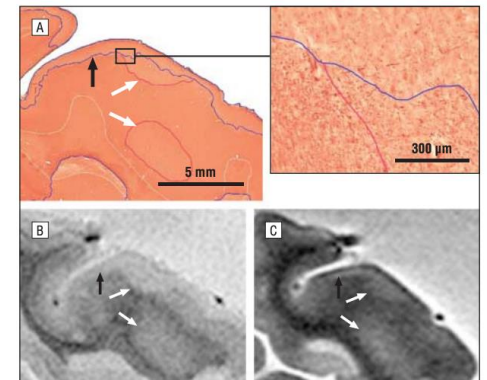
### Imaging Cortical Lesions in Multiple Sclerosis With Ultra-High-Field Magnetic Resonance Imaging

David Pitt, MD; Aaron Boster, MD; Wei Pei, MD; Eric Wohleb, BS; Adam Jasne, BS; Cherian R. Zachariah, BS; Kottil Rammohan, MD; Michael V. Knopp, MD, PhD; Petra Schmalbrock, PhD

Arch Neurol. 2010;67(7):812-818. **7 Tesla**



**Figure 2.** T2\*-weighted gradient-echo magnetic resonance images. A, A type 4 cortical lesion (large arrow) and the line of Gennari (small arrows) in the occipital lobe. B, A cortical lesion morphs on consecutive magnetic resonance imaging cuts from a round, small type 2 lesion into a type 4 lesion (extending throughout the cortex) and fuses with a second lesion through a subpial bridge (arrows).



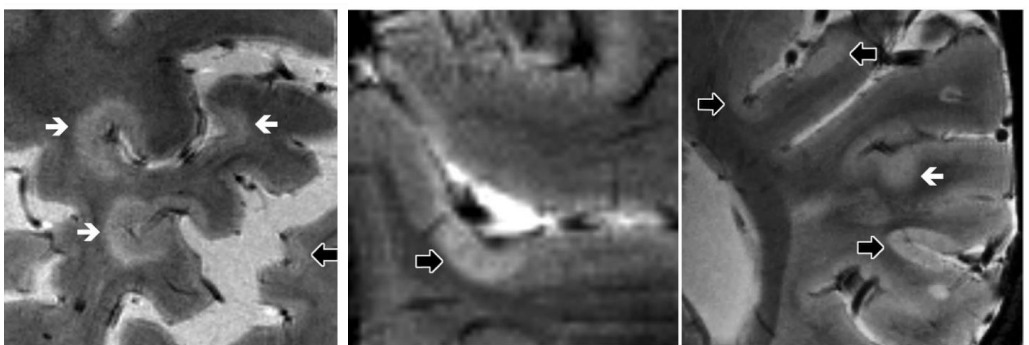
**Figure 4.** Cortical lesions. A, Myelin basic protein-labeled section containing demyelinated (black arrow) and thinly myelinated (white arrows) cortical lesions. Thinly myelinated lesions were seen on T2\*-weighted gradient-echo (B) and white matter-attenuated turbo-field-echo (C) sequences. These lesions may be remyelinated; however, this has not been established by electron microscopy. Black arrows indicate demyelination; white arrows, thin myelination.

**Conclusions:** Three-dimensional T2\*GRE and white matter-attenuated TFE sequences at a 7-T field strength detect most cortical lesions in postmortem multiple sclerosis tissue. This study indicates the potential of T2\*GRE and white matter-attenuated TFE sequences in ultra-high-field magnetic resonance imaging for cortical lesion detection in patients with multiple sclerosis.

### Longitudinal Characterization of Cortical Lesion Development and Evolution in Multiple Sclerosis with 7.0-T MRI

Constantina A. Treaba, MD, PhD • Tobias E. Granberg, MD, PhD • Maria Pia Sormani, PhD • Elena Herranz, PhD • Russell A. Ouellette, BS • Céline Louapre, MD, PhD • Jacob A. Sloane, MD, PhD • Revere P. Kinkel, MD • Caterina Mainero, MD, PhD

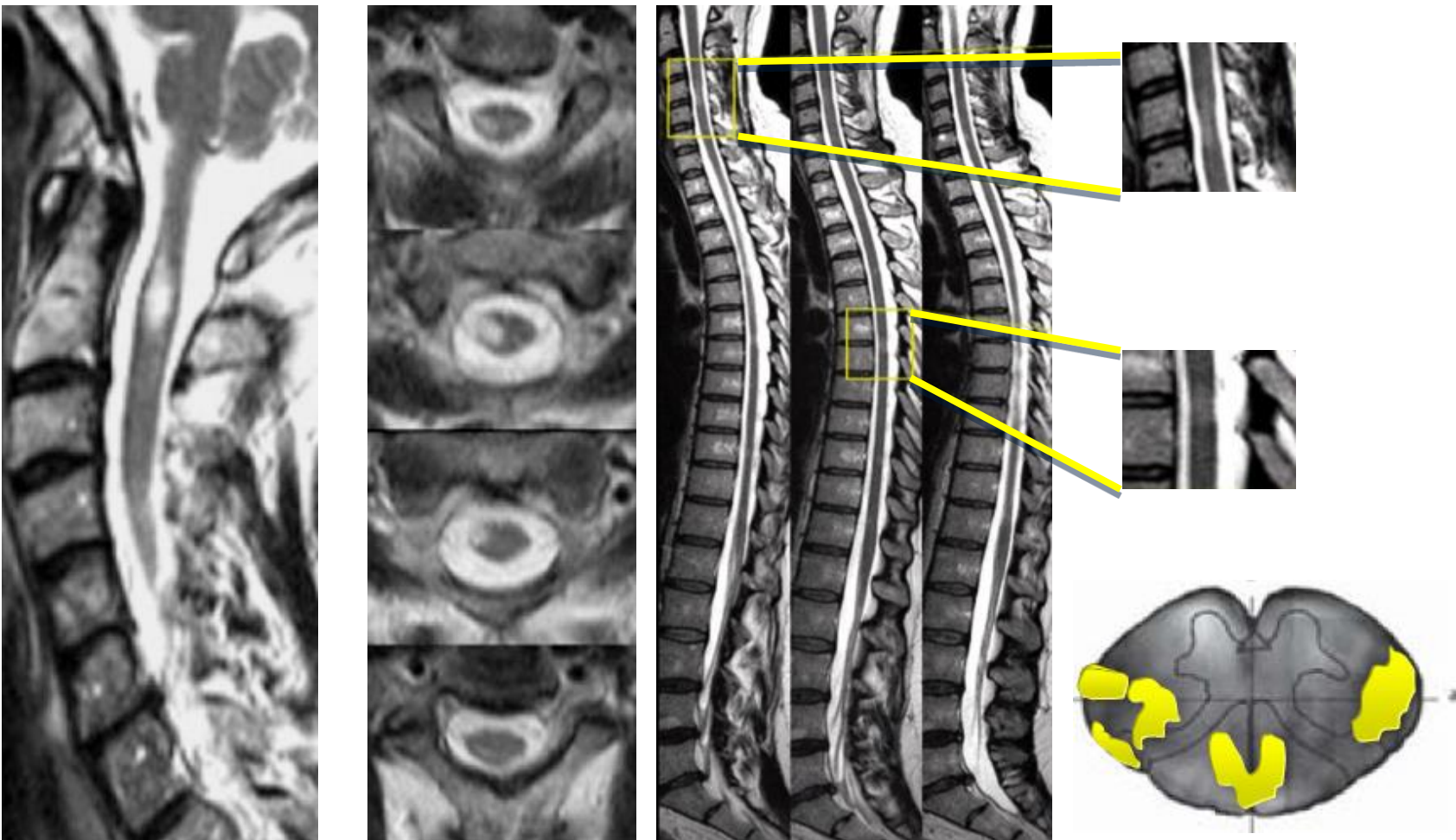
Radiology 2019; 291:740–749



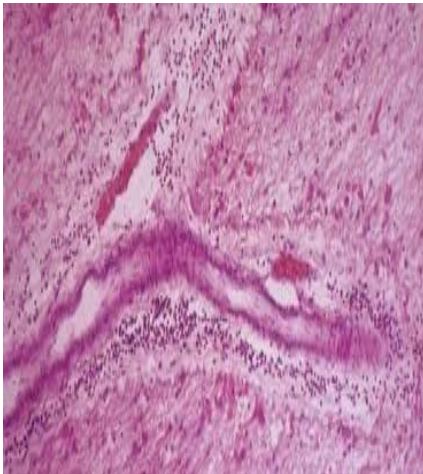
- Cortical lesions preferentially develop in cortical sulci, indicating a possible link with an ongoing cerebrospinal fluid-mediated neuroinflammatory process.
- Assessment of cortical lesions should represent a main component in the evaluation of progression of disease burden in multiple sclerosis.

# Sclerosi Multipla

La presenza di lesioni midollari è un reperto altamente specifico per la diagnosi di Sclerosi Multipla.  
La frequenza dell'interessamento midollare varia dal 75% al 90% nei Pazienti con diagnosi di MS



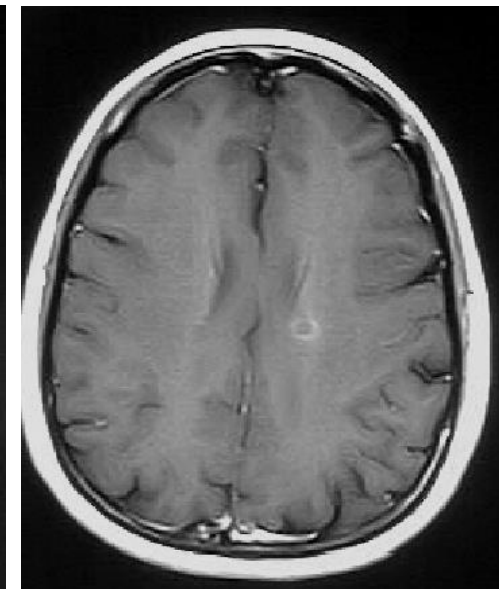
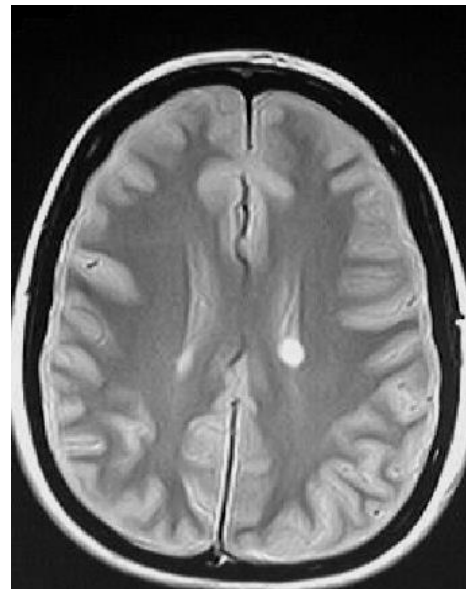
# Sclerosi Multipla



Risposta infiammatoria perivenulare



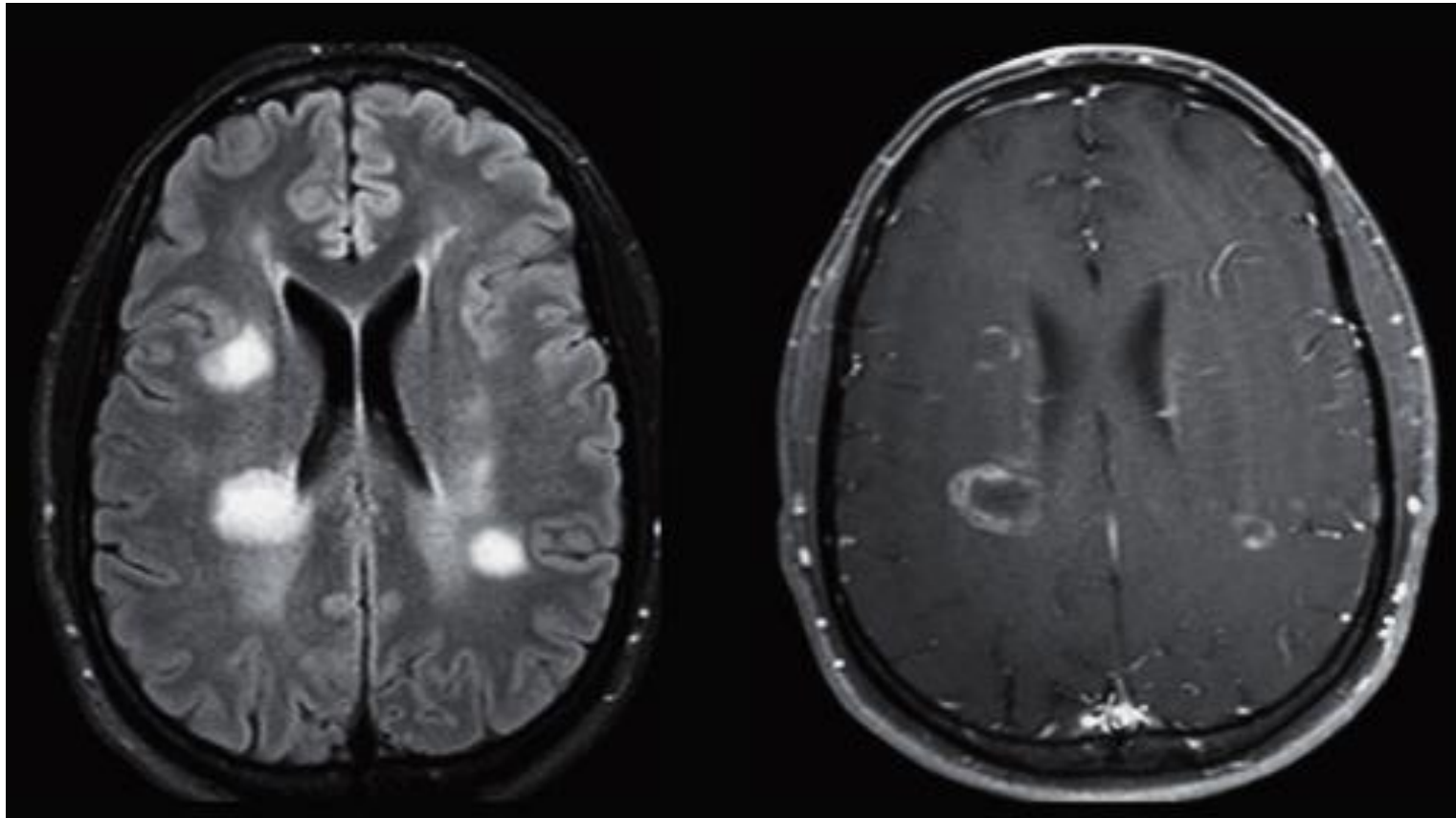
Danno barriera emato-encefalica  
nelle prime 4 settimane → RM potenziamento dopo mdc



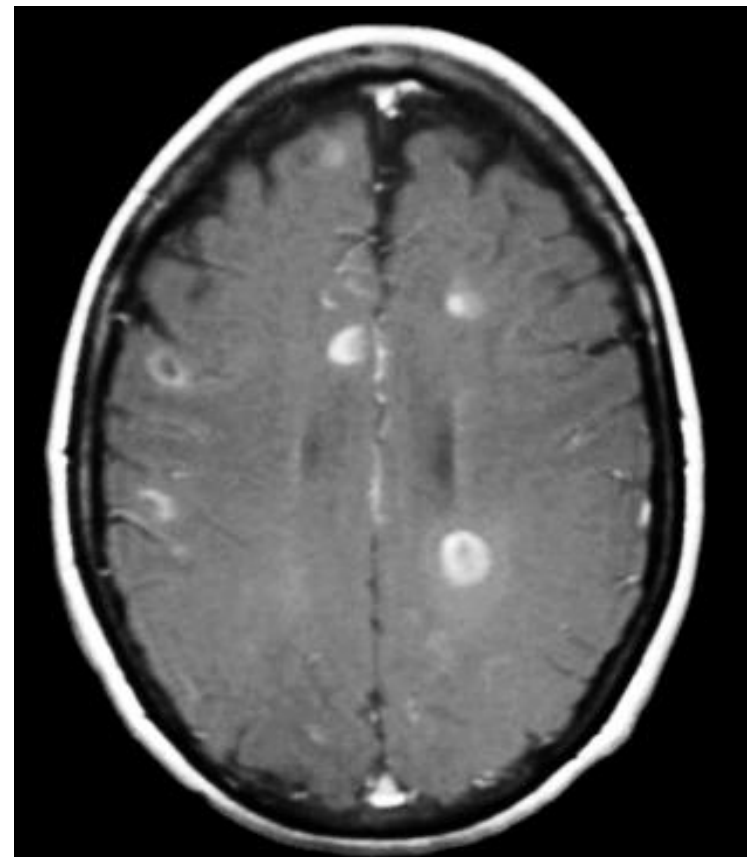
Leakage passivo di contrasto dallo  
spazio intravascolare-interstiziale

# Sclerosi Multipla

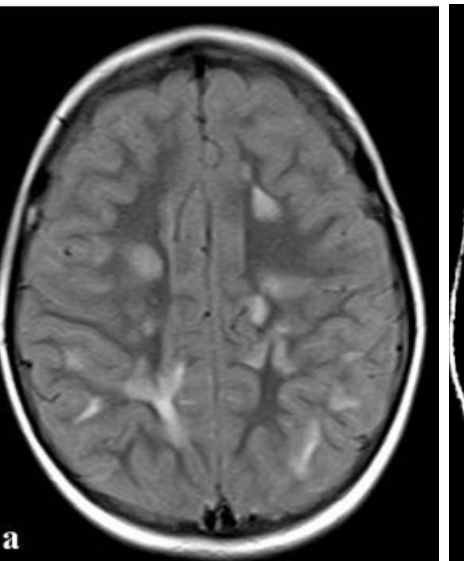
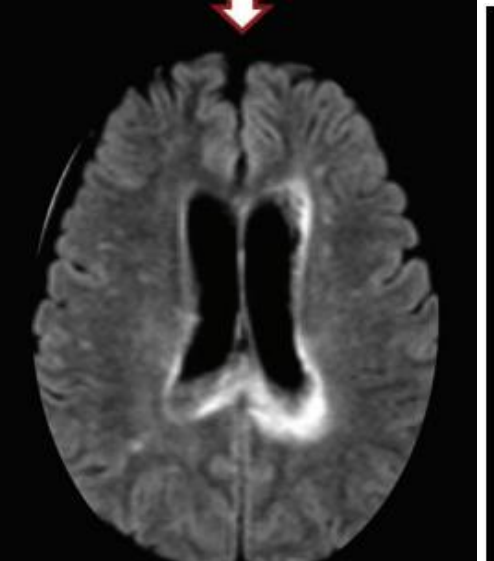
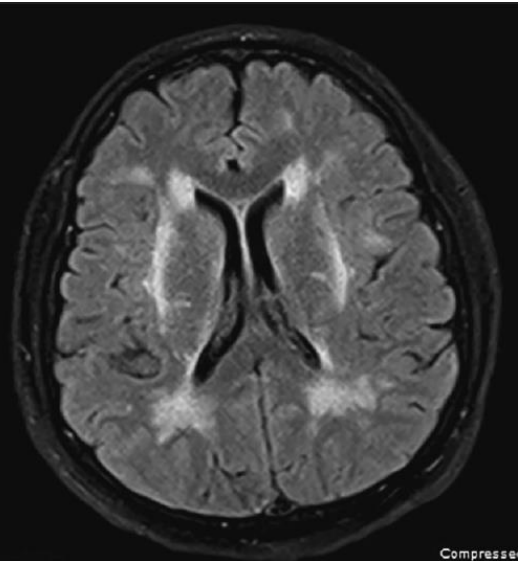
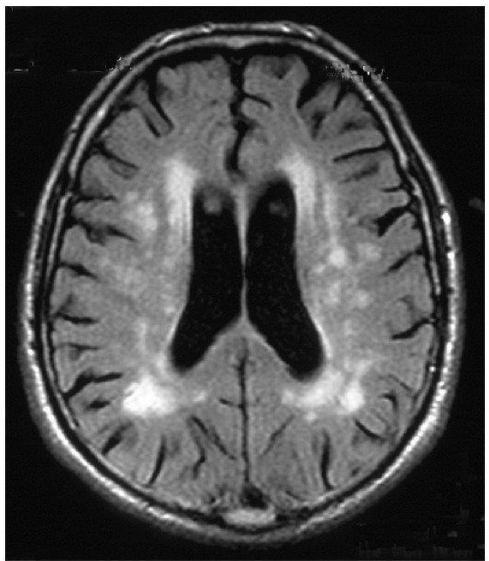
Placche che **potenzianno** = demielinizzazione attiva



**Pattern di potenziamento**  
(frequentemente ad anello incompleto)



# Sclerosi Multipla - ddx



Cerebrovascolare

CADASIL

NMO

ADEM

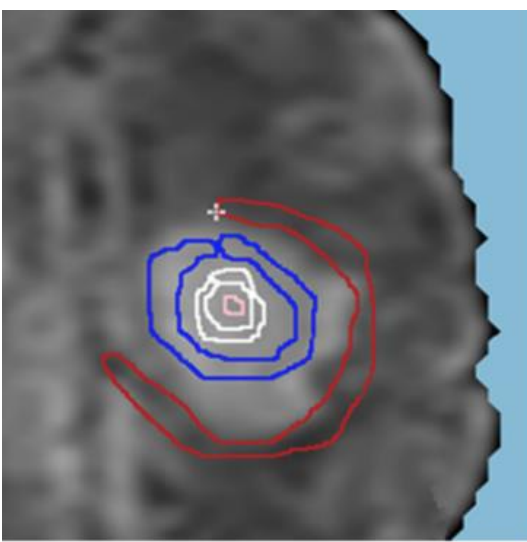
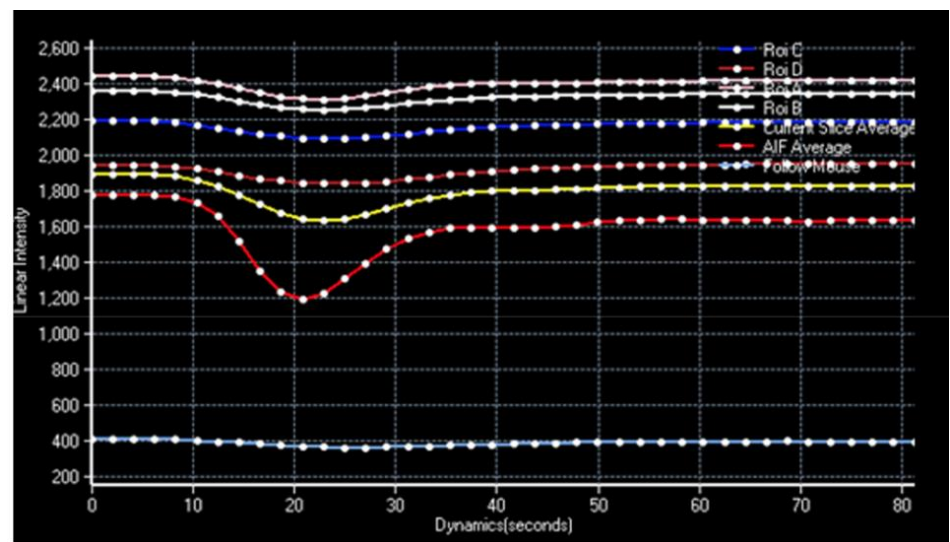
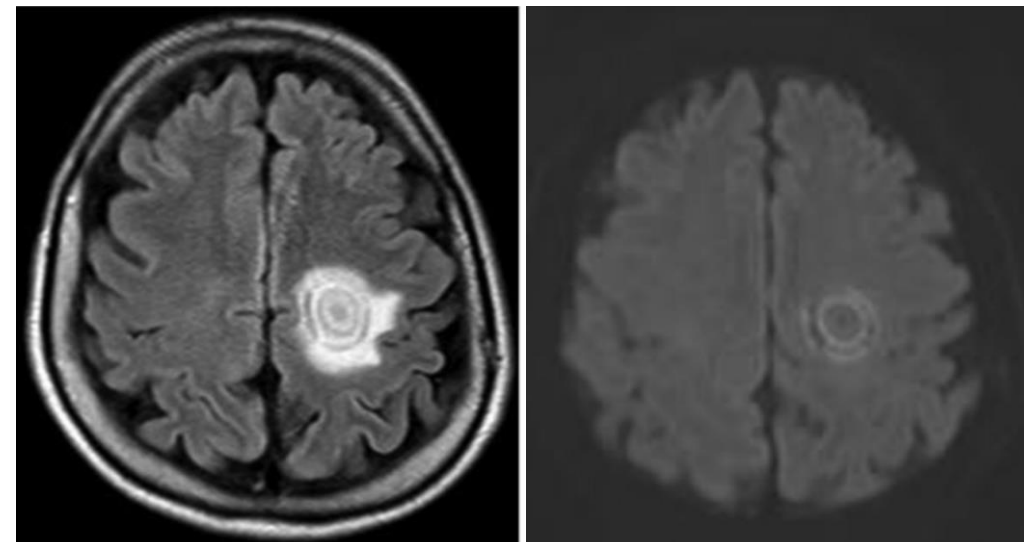
Schilder

## Tips

- stretta contiguità delle placche con il profilo ependimale
- Coinvolta la sostanza bianca attigua ai corni temporali dei ventricoli laterali
- Segno della vena centrale e del Dawson's finger
- Dot-dash sign

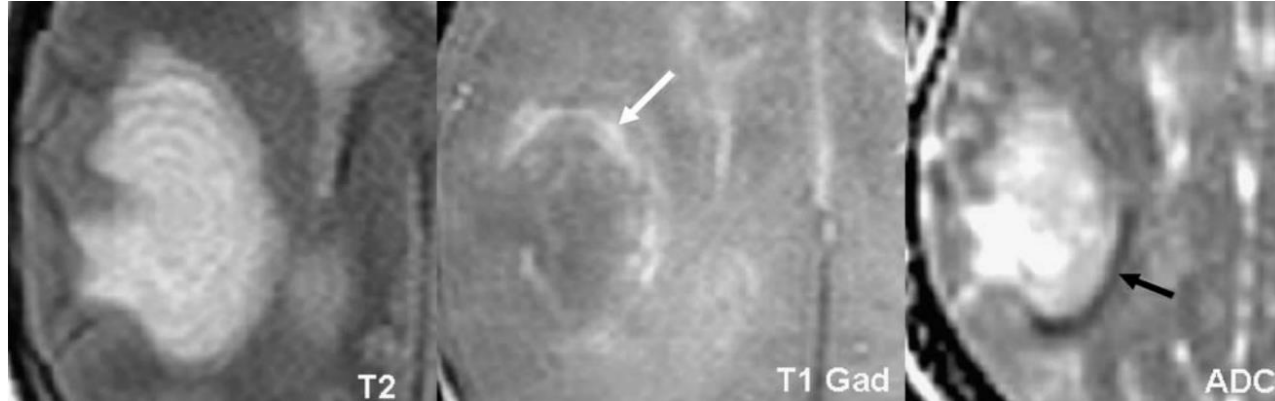
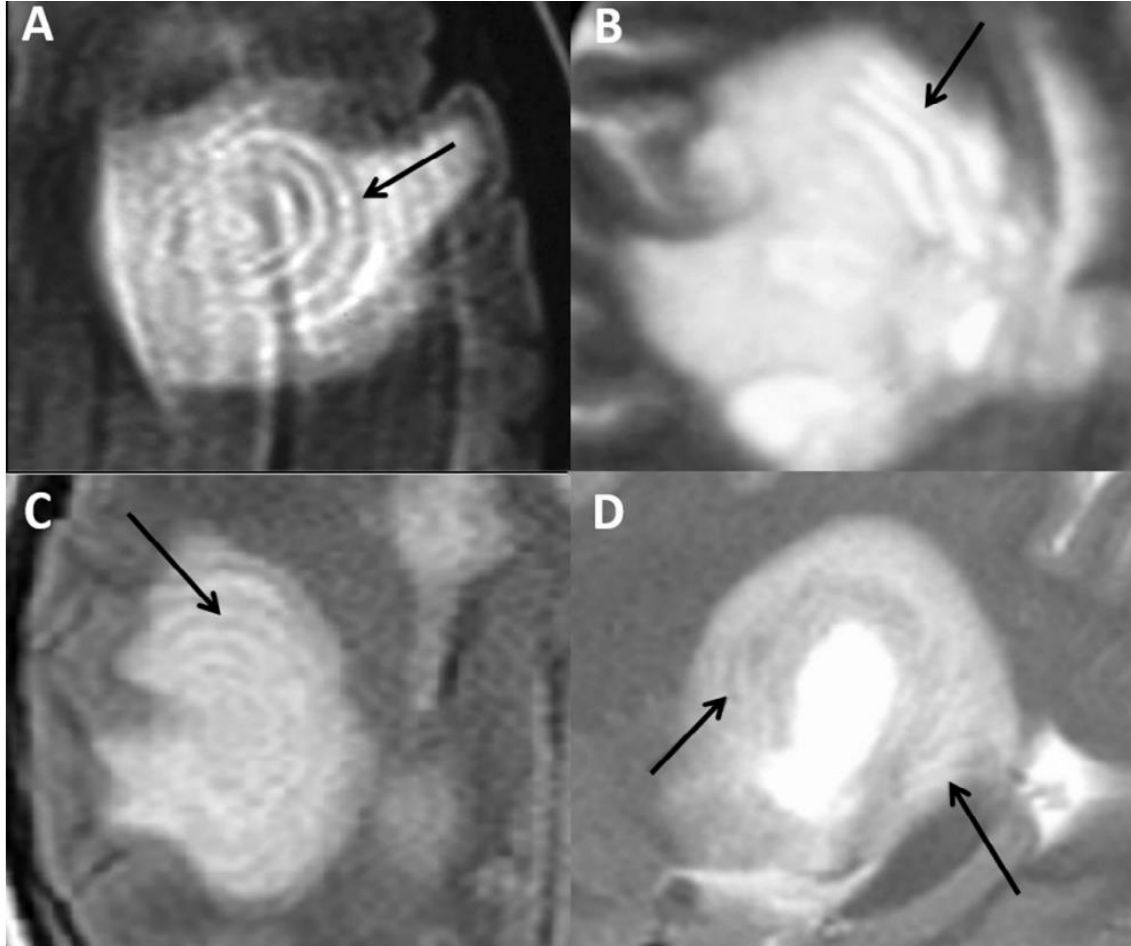
# Sclerosi concentrica di Balò

- Malattia demielinizzante rara e severa a decorso **monofasico**
- Istologia: bande di demielinizzazione e di sostanza bianca normale a **sviluppo concentrato**
- Imaging: bande di **alternato segnale**
  - T1: aree concentriche ed irregolari di iso o iposegnale
  - T2: aree concentriche ed irregolari di alternata iso/hipointensità e iperintensità
  - DWI: diffusività ristretta nell'anello più esterno (infiammazione attiva – fronte)
  - T1 Gd: potenziamento ad anello periferico (attiva demielinizzazione)



Maggior vascolarizzazione della componente centrale

# Sclerosi concentrica di Balò



**ADC:** fronte di demielinizzazione (altamente cellulare)

**Potenziamento:** stratificato, ad anello incompleto

Neuroradiology (2007) 49:393–409  
DOI 10.1007/s00234-007-0216-2

REVIEW

**Idiopathic inflammatory-demyelinating diseases  
of the central nervous system**

A. Rovira Cañellas · A. Rovira Gols · J. Río Izquierdo ·  
M. Tintoré Subirana · X. Montalban Gairin

Chapter 21

**Other noninfectious inflammatory disorders**

In: *Handbok of Clinical Neurology*, vol. 135 (3° series) 2016

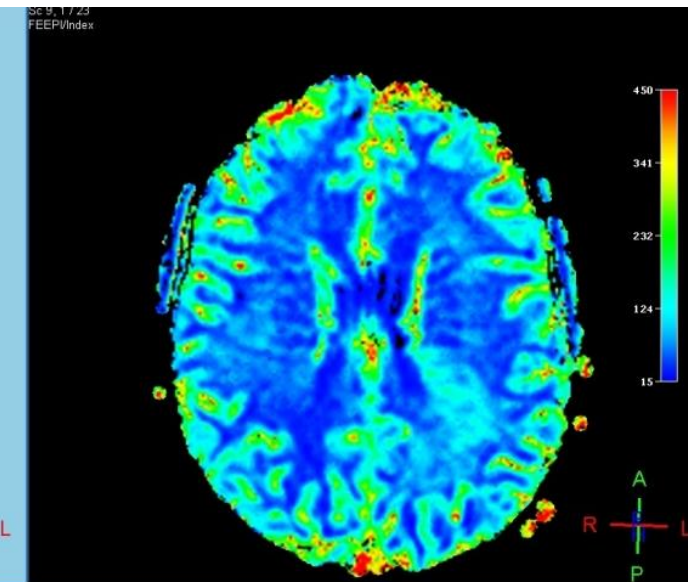
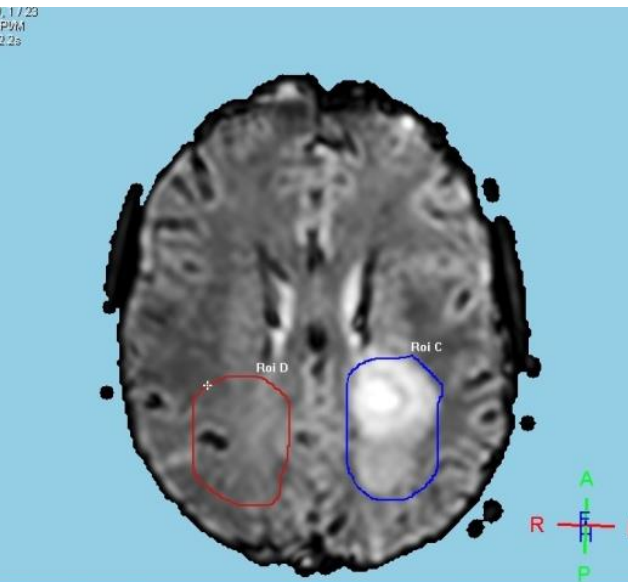
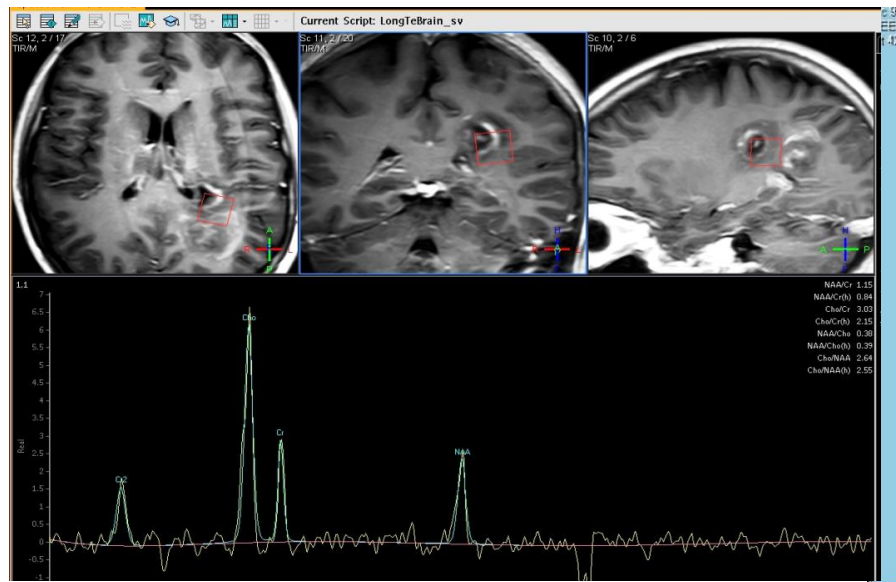
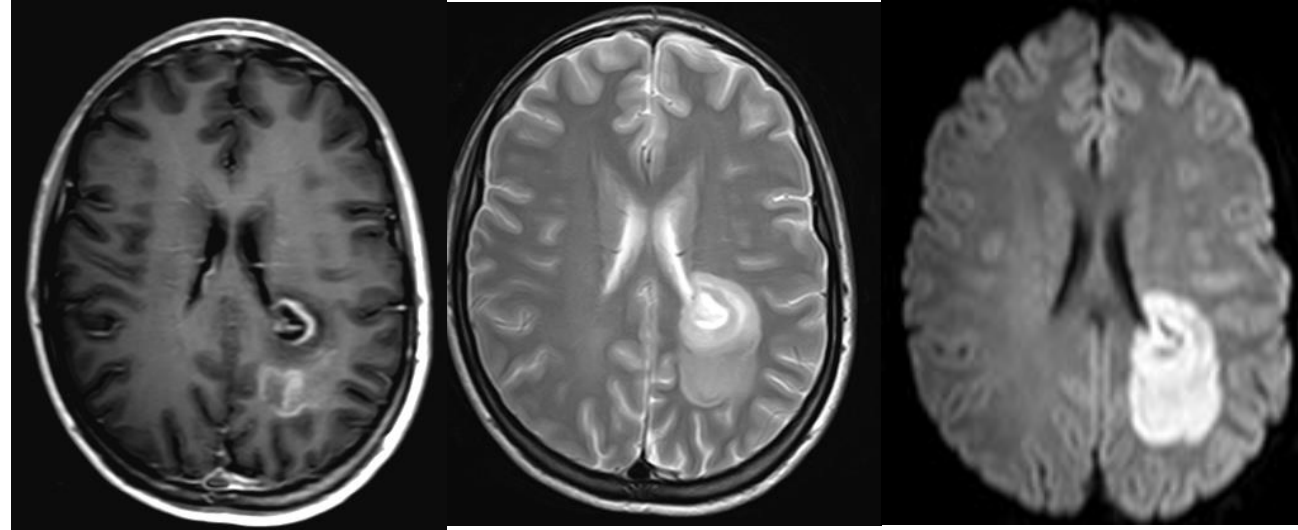
ÁLEX ROVIRA <sup>1\*</sup>, CRISTINA AUGER <sup>1</sup>, AND ANTONI ROVIRA <sup>2</sup>

**Porzione centrale:** no lamelle per marcata demielinizzazione

**Porzione periferica:** pattern lamellato-stratificato

# Sclerosi concentrica di Balò

Paziente: I.C.  
 Età: 18 anni, F  
 Disturbi cognitivi,  
 parestesie,  
 deficit visivi

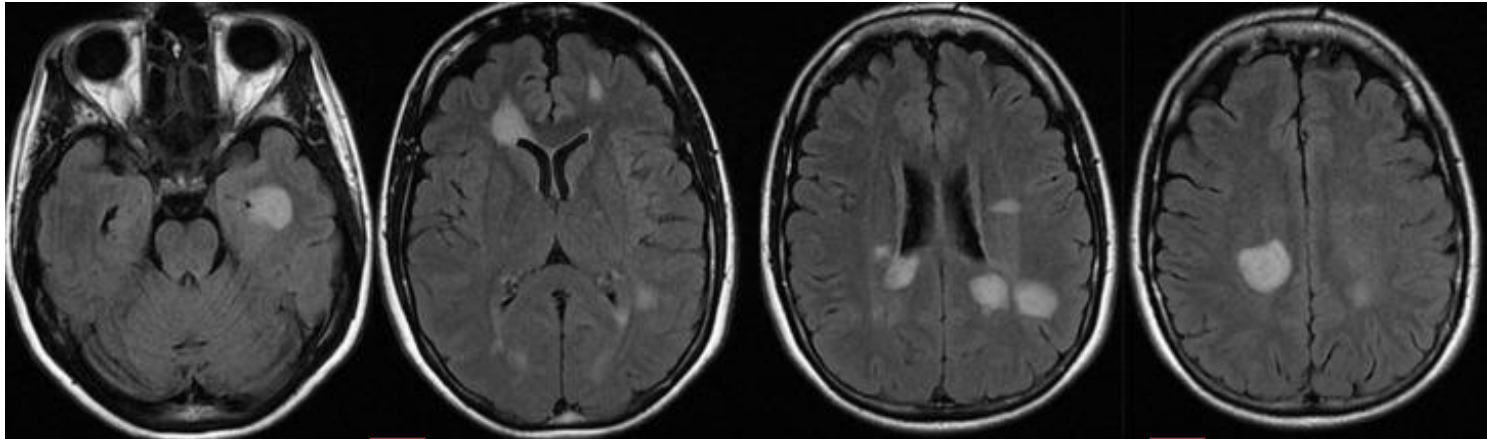


➤ Malattia **acuta fulminante** - forma maligna

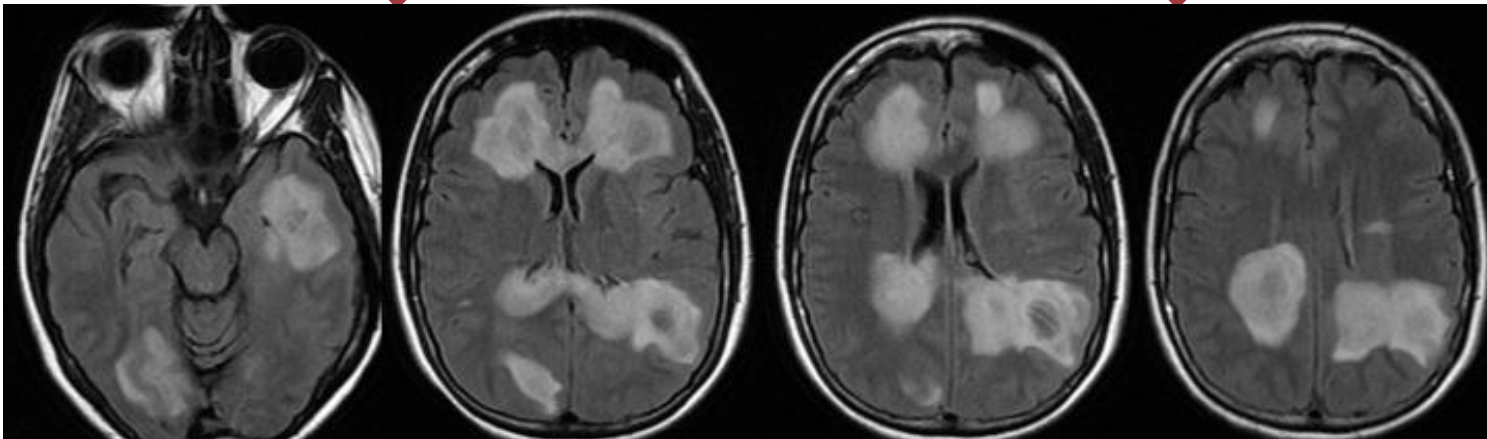
➤ Istologia: estensiva e fulminante  
demielinizzazione con elevata letalità

➤ Imaging:  
 -estese e confluenti aree tumefattive;  
 -effetto massa;  
 -potenziamento ad **anello incompleto**;  
 -Raramente possono presentarsi come lesioni più piccole e disseminate nell'encefalo.

Donna, 34aa con rapido declino cognitivo – RM tempo 0

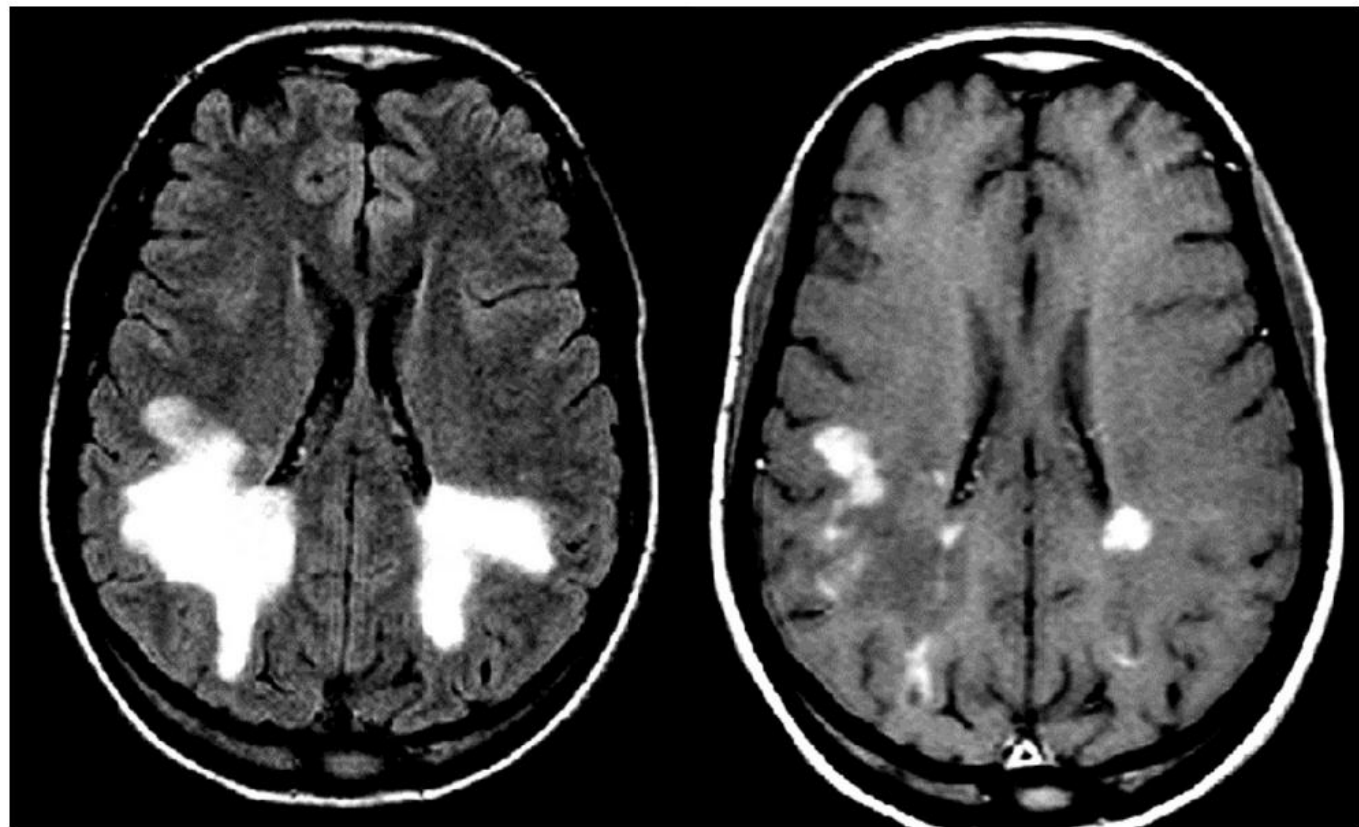


↓  
**Cortisone ad alte dosi**  
RM a 2 settimane



# Malattia di Schilder

- Specifica presentazione clinico-radiologica di SM
- Decorso acuto – subacuto
- Istologia:
  - aree ben marcate di demielinizzazione e gliosi reattiva
  - degenerazione microcistica (con isolate cavitazioni)
- Imaging:
  - **esteso** e relativamente **simmetrico** coinvolgimento di **entrambi** gli **emisferi** cerebrali (prevalentemente parieto - occipitali)
  - potenziamento ad **anello incompleto o patchy**
  - modesto **effetto massa**
  - **diffusione ristretta**
  - **risparmio del tronco encefalo**
- Dd: tumore, ascesso e leucodistrofie



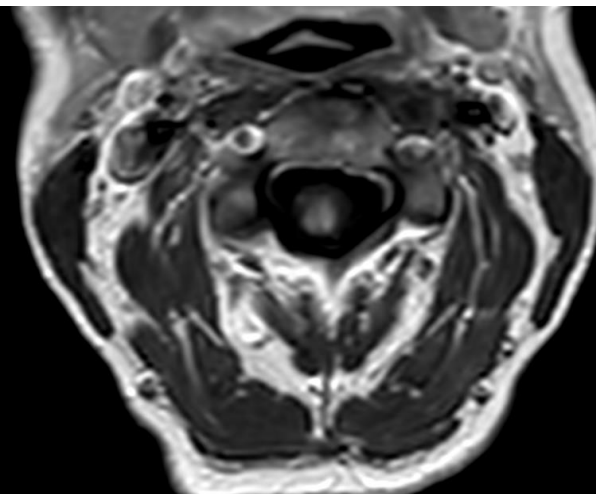
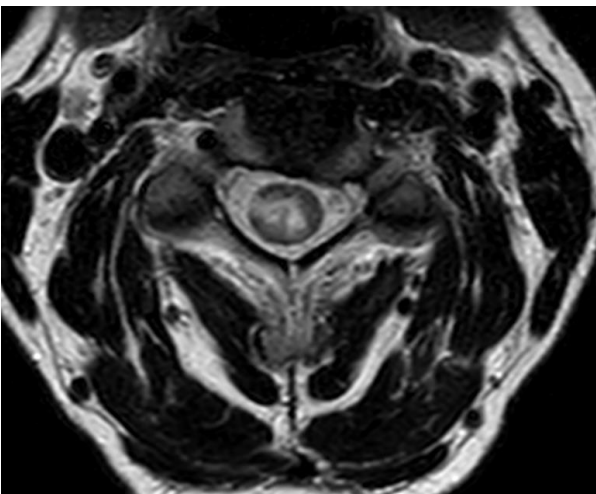
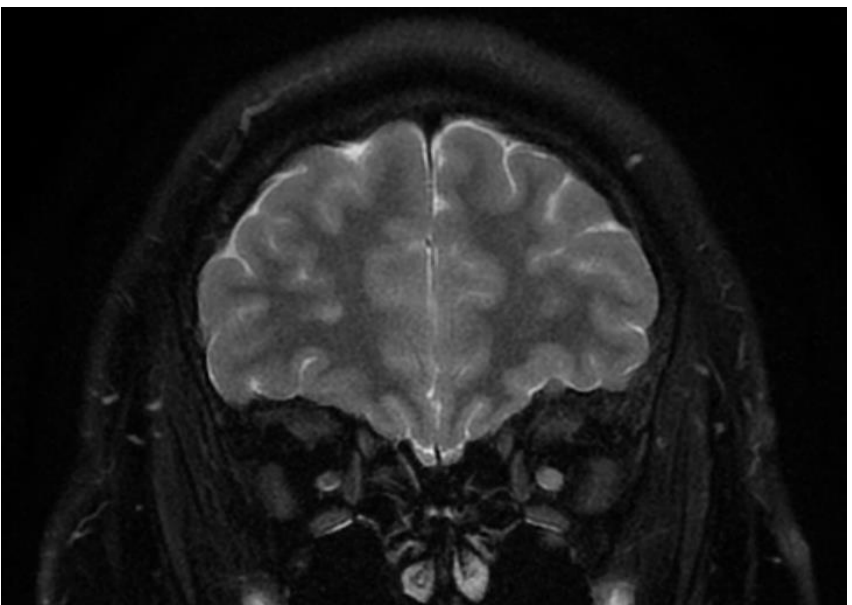
Chapter 21

## Other noninfectious inflammatory disorders

In: *Handbook of Clinical Neurology*, vol. 135 (3° series) 2016

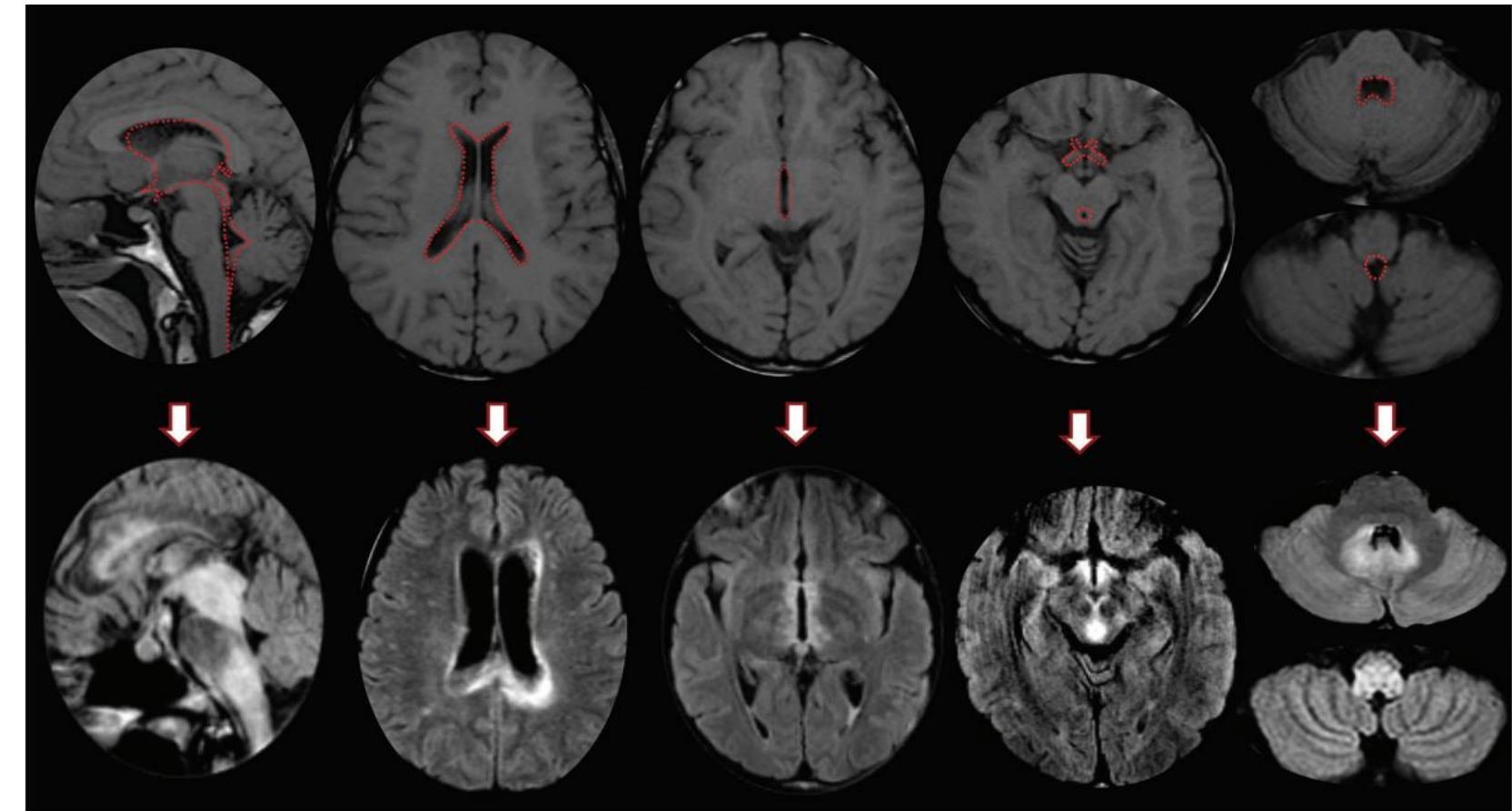
ALEX ROVIRA <sup>1\*</sup>, CRISTINA AUGER <sup>1</sup>, AND ANTONI ROVIRA <sup>2</sup>

- Caratterizzata da **neurite ottica** ed **estesa mielite longitudinale**
- Positività ad IgG anti AQP4
- Le lesioni encefaliche possono comparire successivamente nella malattia



# Neuromielite ottica – m. di Devic

## Distribuzione antigeni AQP4



Superficie ependimale corpo calloso

Ipotalamo

Area periacqueduttale

Area postrema

Canale midollare

Superficie ependimale ventricoli laterali

Regione diencefalica (III ventricolo)

Chiasma ottico

Superficie peri-ependimale del IV  
ventricolo

**Arearie circumventricolari:** aree altamente vascolarizzate, con capillari fenestrati senza barriera emato-encefalica restrittiva

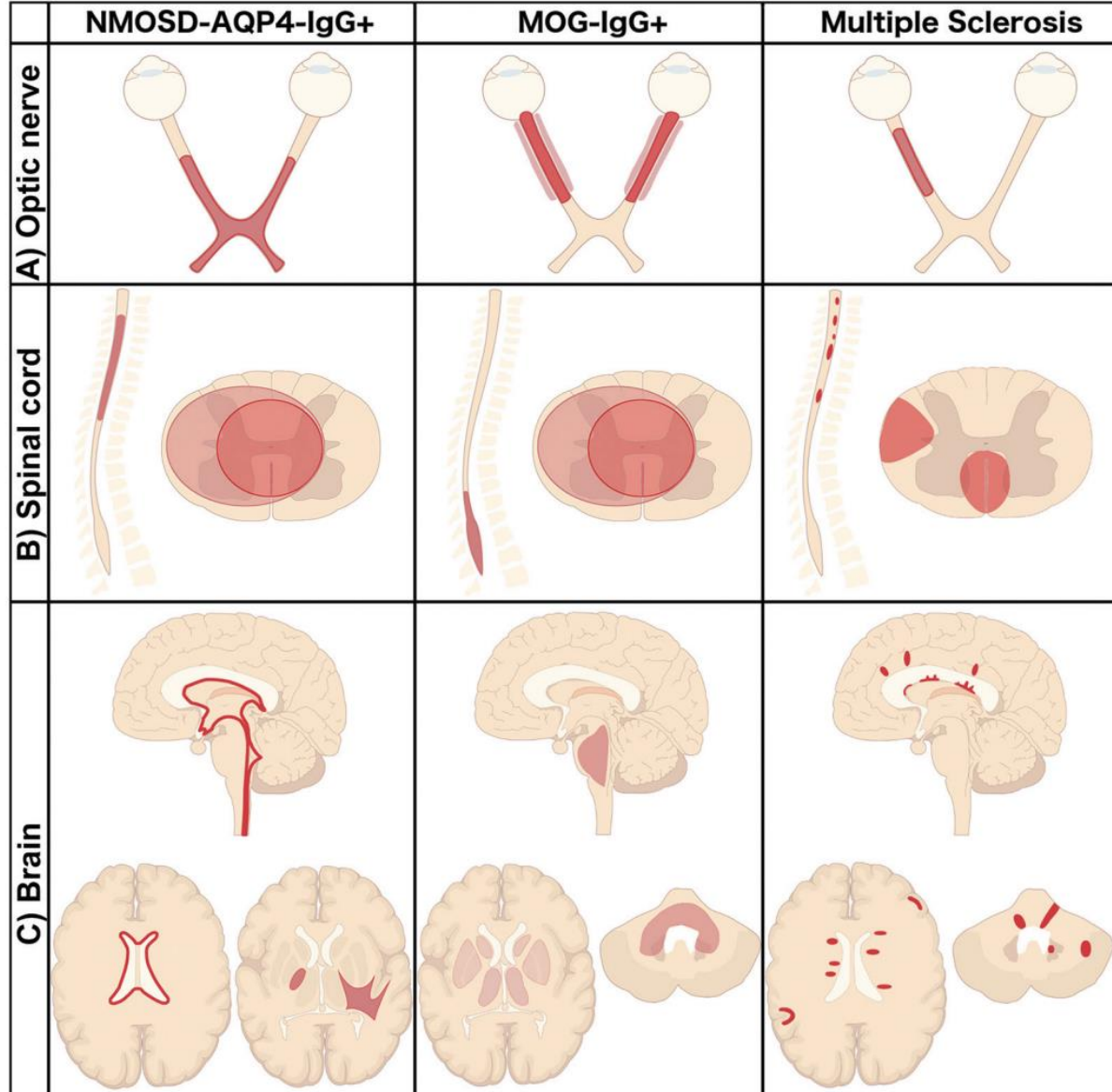
# M. di Devic vs Sclerosi Multipla

## Neuromyelitis Optica Spectrum Disorders: Spectrum of MR Imaging Findings and Their Differential Diagnosis<sup>1</sup>

Dutra et al 2018 - Radiographics

*Diverse caratteristiche permettono di differenziare NMO dalla sclerosi multipla, ma nessuna è patognomonica*

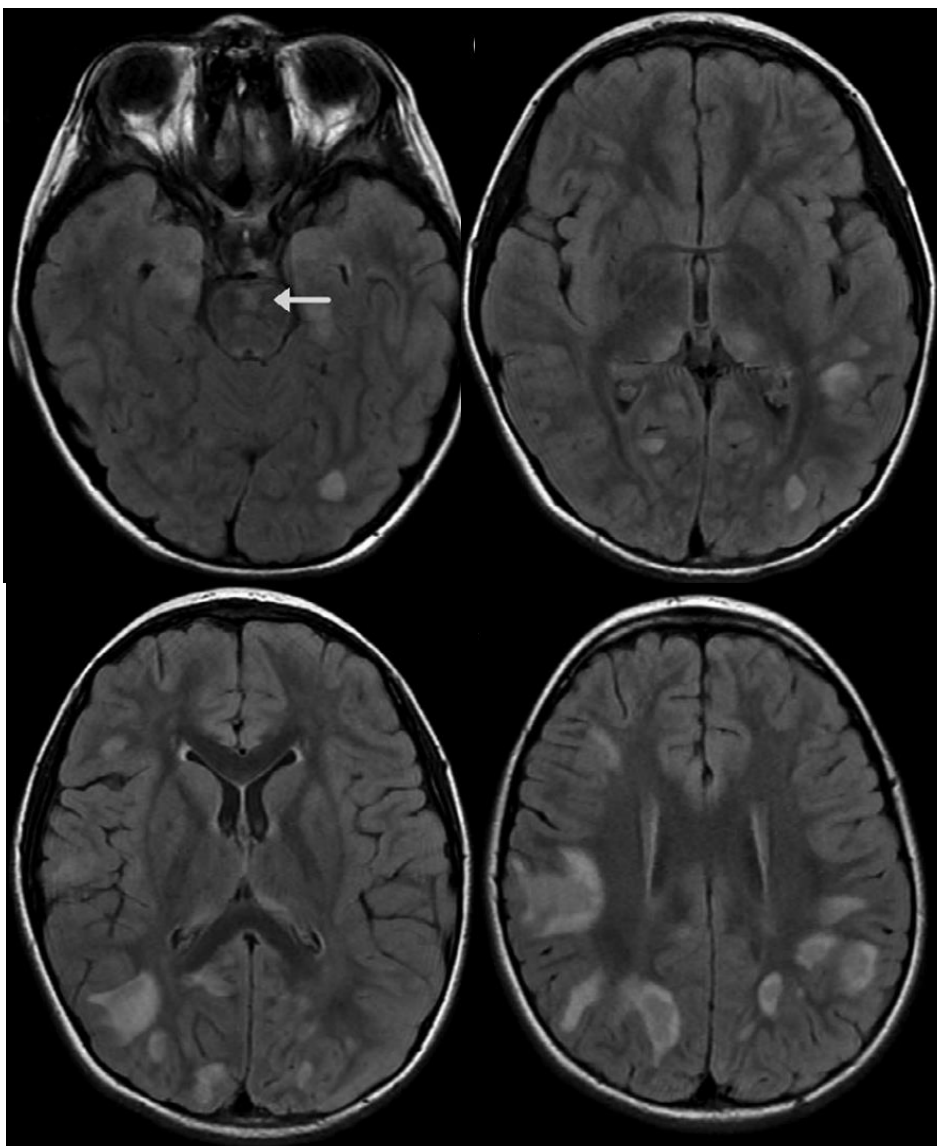
| NMO  | MS   |
|--|--|
| <b>Spinal cord</b><br>Usually one big lesion.<br>> 3 segments.<br>Central.<br>T1 hypointense.<br>Ring enhancement. | <b>Spinal cord</b><br>Multiple lesions.<br>1-2 segments.<br>Posterolateral<br>T1 isointense.<br>Homogeneous enhancement. |
| <b>Brain</b><br>Uncommon and late.<br>Periventricular.<br>Perivenular, ovoid.<br>Thalamus/hypothalamus.            | <b>Brain</b><br>Common and early.<br>Periventricular.<br>Following ependymus.<br>Leukocortical.                          |

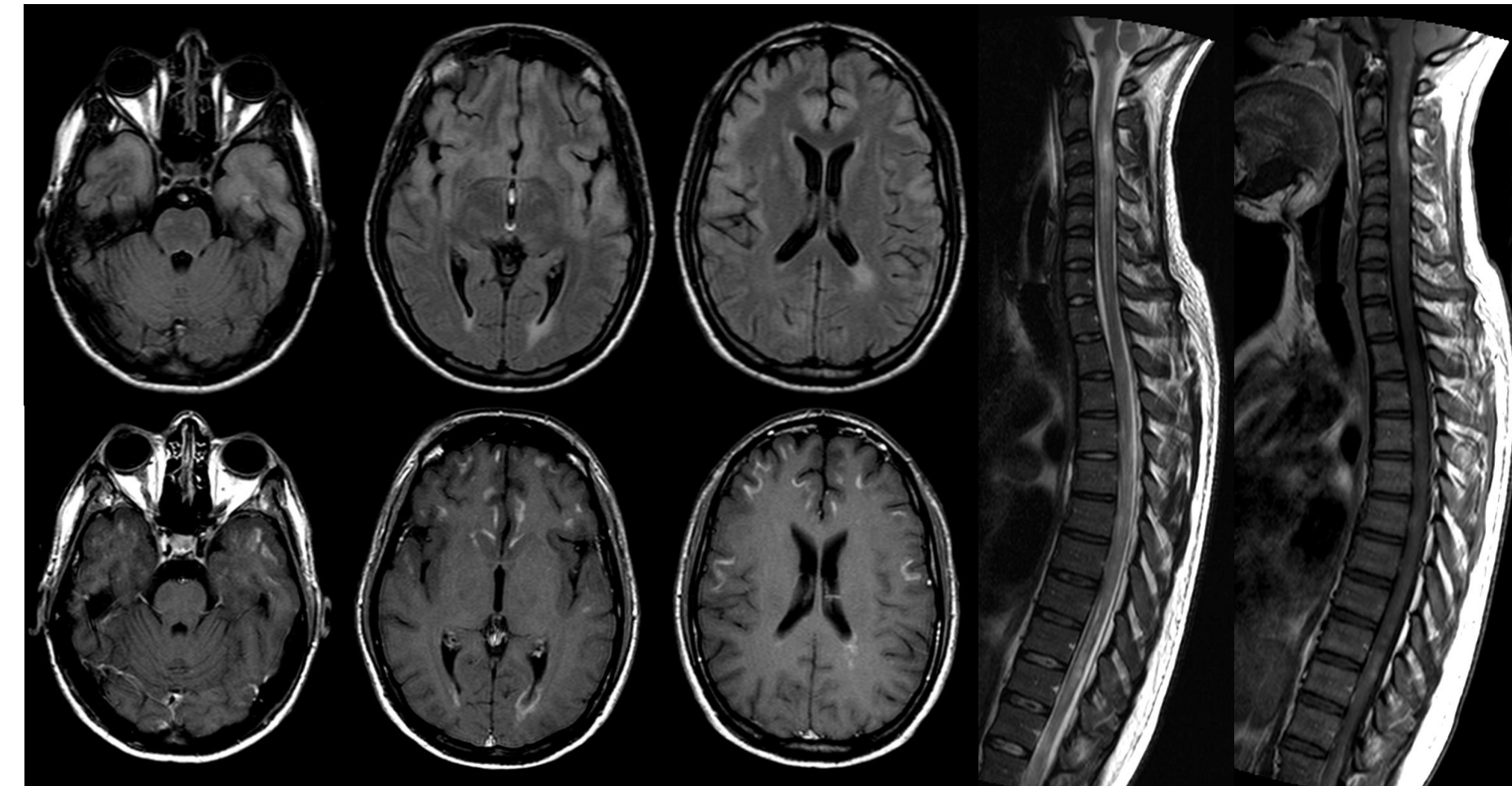


- Malattia infiammatoria acuta monofasica demielinizzante
- Frequentemente nei bambini e giovani adulti
- Recente **infezione o vaccinazione!!!**
- Nel 50% dei casi sono presenti **IgG anti-MOG**
- Possibile coinvolgimento dei gangli della base e della sostanza grigia

## Imaging

- **Multiple iperintensità T2** con edema periferico nella sostanza bianca **sottocorticale** (possibile coinvolgimento talamo e tronco encefalo), **bilateralmente e asimmetriche**
- **Potenziamento** puntato o ad anello incompleto lungo il margine di infiammazione
- **Diffusione ristretta in periferica** e facilitata centralmente
- Lesioni **midollari confluenti** con potenziamento variabile in 1/3 dei casi



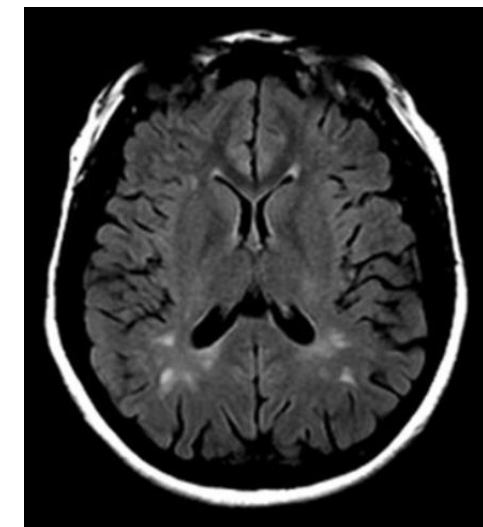


Acute disseminated encephalomyelitis following *Campylobacter jejuni* gastroenteritis: Case report and review of the literature

Floris R et al 2016

**T2:** iperintensità focali, bilaterali, asimmetriche, giunzionali, coinvolti anche i gangli della base

**T1WI+C:** puntato, ad anello, ad anello incompleto, periferico. Potrebbe non potenziare



## Sclerosi Multipla

Sostanza bianca periventricolare  
Sostanza bianca calloso-marginale  
Sostanza bianca sotto e iuxta-corticale

Lesioni bilaterali simmetriche

Sì

Ben definiti

Lesioni non confluenti

Puntato – ad anello incompleto

## SEDE

## PATTERN

## BLACK HOLES (T1)

## MARGINI

## ESTENSIONE

## POTENZIAMENTO

## Encefalomielite acuta disseminata

Sostanza bianca sottocorticale  
Tronco encefalo  
Nuclei di grigia e corteccia

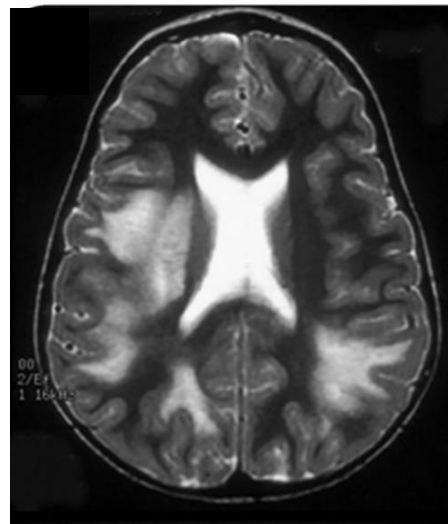
Lesioni bilaterali asimmetriche

No

Mal definiti

Lesioni prevalentemente confluenti

Ad anello incompleto



## Criteri di Callen SM-ADEM

Applicabili alla **popolazione pediatrica** per distinguere ADEM da SM all'esordio;

almeno **due** dei seguenti criteri per avere una diagnosi di **SM**:

- ✓ Assenza di pattern diffuso e bilaterale delle lesioni
- ✓ Presenza di black holes
- ✓ Presenza di due lesioni periventricolari

A comparison of MRI criteria for diagnosing pediatric ADEM and MS

*Neurology 2010 - Ketelslegers et al*

Sensibilità: **75%**      Specificità: **95%**

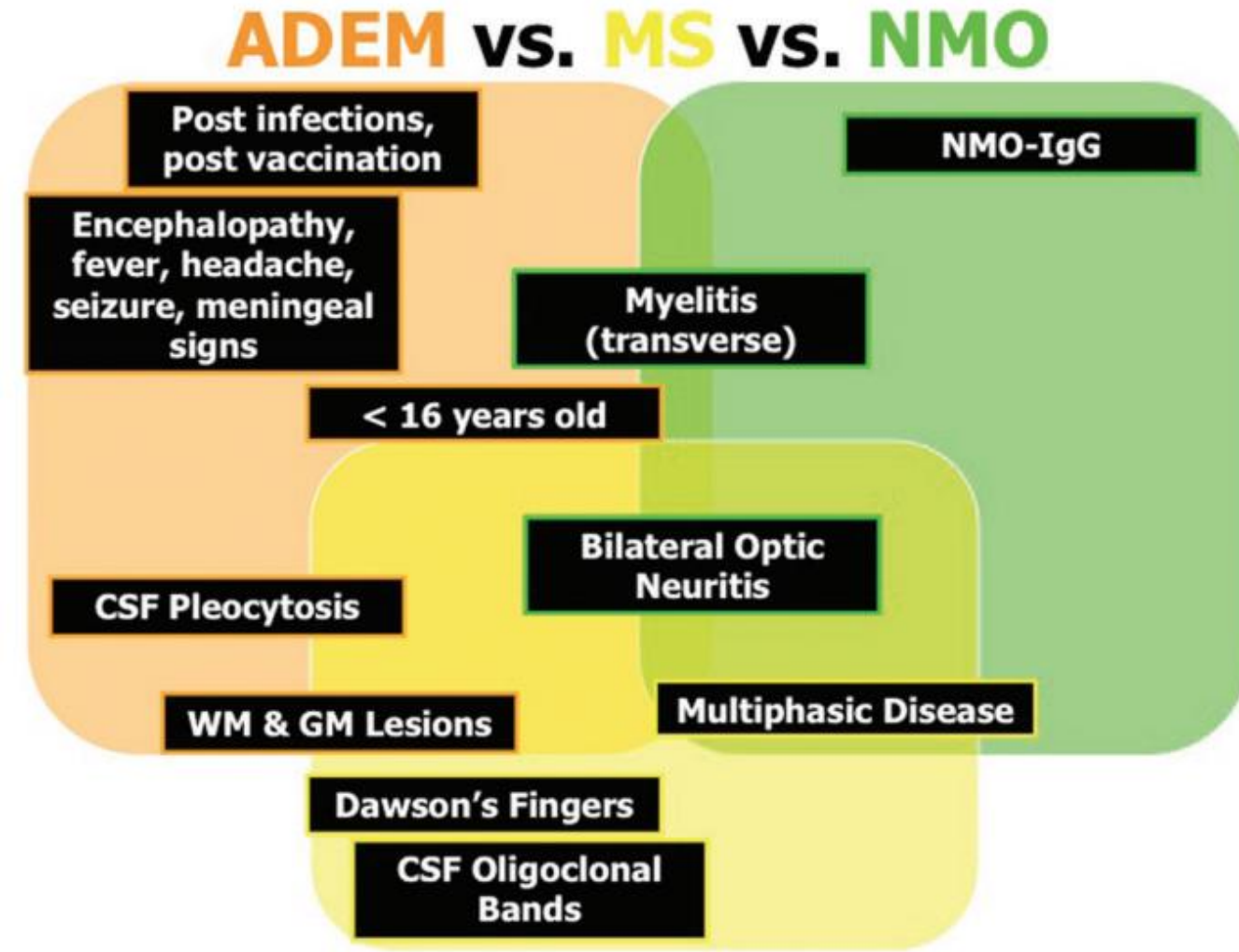
# SM vs ADEM vs NMO

MedPix®

### WM Lesion: Differential Diagnosis

|                      | ADEM  | MS   | NMO                        |
|----------------------|---|--|----------------------------|
| Clinical             | 79-95% Monophasic                             | Multiphasic  | 80-90% relapsing           |
| Brain MR             | Large (>1-2cm) WM lesions, deep GM involved   | Smaller ( $\leq 1.5\text{cm}$ ) WM lesions, $\pm$ cortex | ON lesions                 |
| Cord MR              | Often confluent                               | Short segments ( $<3$ )                                  | Long segments ( $\geq 3$ ) |
| CSF Pleocytosis      | > 49 WBCs/ml                                  | uncommon   |                            |
| Myelin Basic Protein | 11%   | 75%  |                            |
| Oligoclonal Bands    | 0-29% (5%)                                    | 64-92%   | 15-30%                     |
| NMO Protein          | 50-90% sensitive and 90-100% specific for NMO |  |                            |

f08171e6-c5bc-42e6-b745-f4b344b141e8, Uploader: James G Smirniotopoulos, M.D., Source: James G Smirniotopoulos, M.D., 11-05-2009



## White Matter Diseases with Radiologic-Pathologic Correlation<sup>1</sup>

Sarbu et al. 2016 - Radiographics

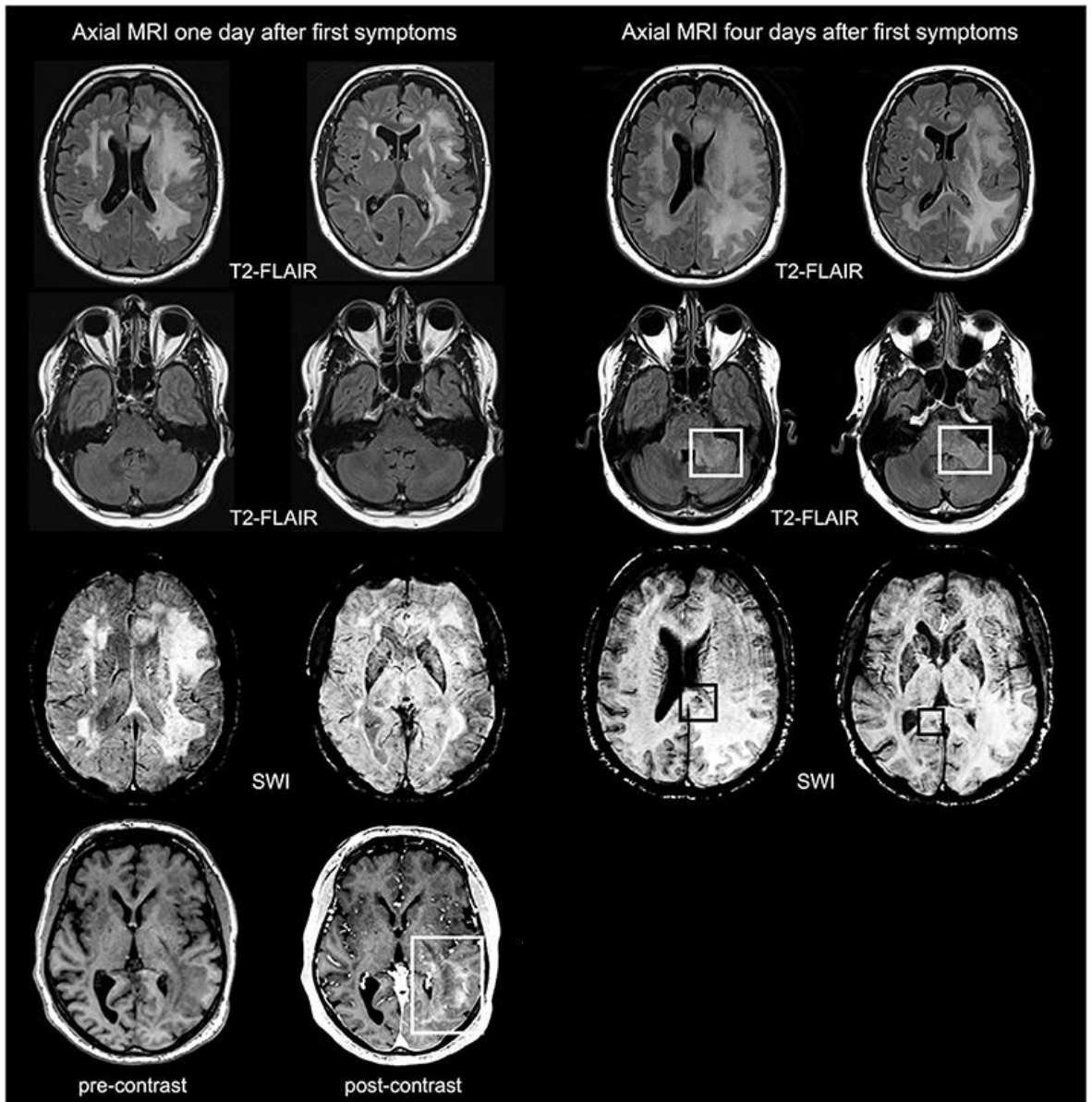
# Malattia di Hurst

- Encefalomielite acuta emorragica  
Leucoencefalite acuta emorragica
- Variante severa di ADEM, rapidamente progressiva
- Frequentne nei giovani adulti
- Imaging
  - lesioni **tumefattive** di grandi dimensioni
  - esteso coinvolgimento della bianca**
  - risparmio della corteccia
  - effetto **massa**
  - edema** perilesionale
  - possibile coinvolgimento **talami e gangli della base**

DD: ADEM

**La presenza di micro-emorragie è tipica della M. di Hurst**

Utilizzare SWI>GRE

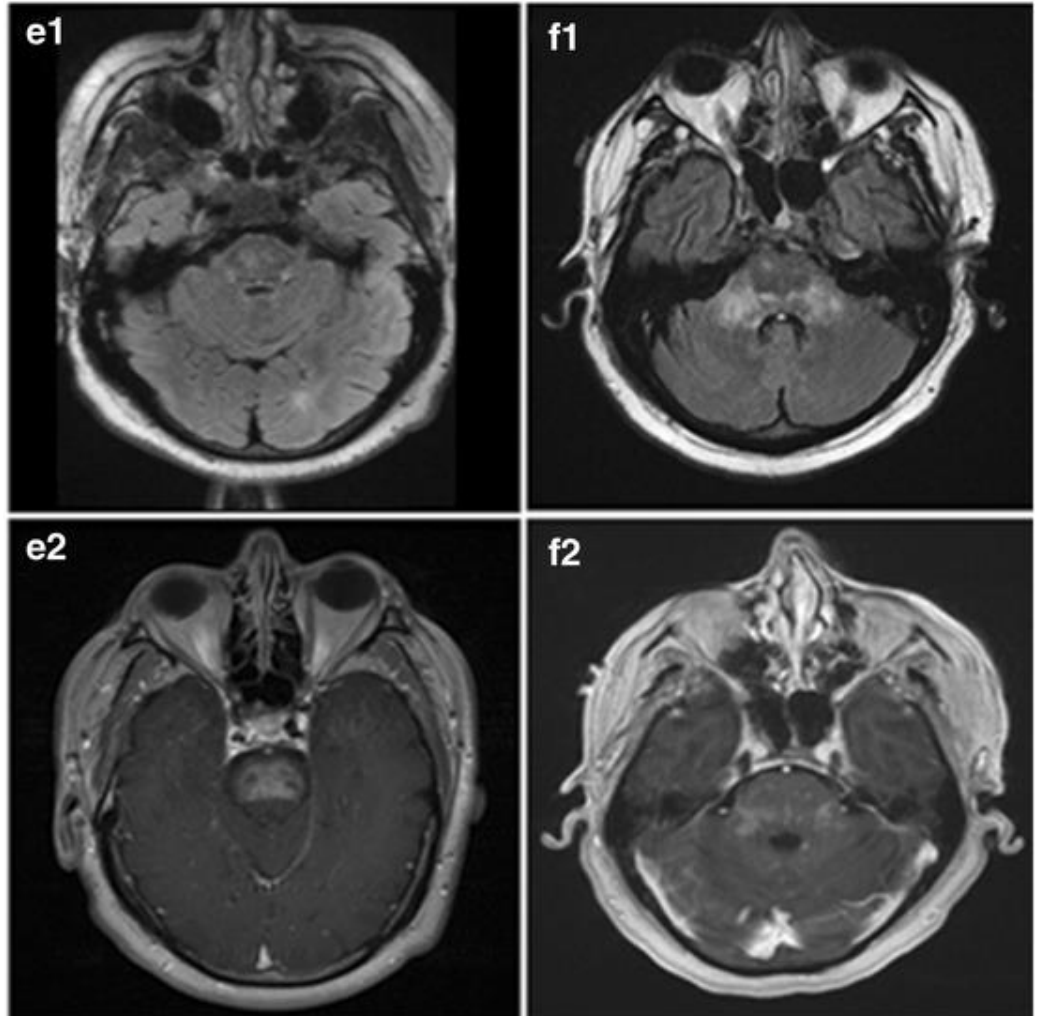


## Chronic Lymphocytic Inflammation with Pontine Perivascular Enhancement Responsive to Steroids

- Malattia infiammatoria del SNC descritta nel 2010
- Lieve predominanza M, età: 40-50 aa
- Etiologia : sconosciuta, probabilmente infiammazione immuno-mediata
- Clinica: atassia, diplopia, parestesie faciali, nistagmo
- Sede: **ponte ++;** può estendersi ai **peduncoli cerebellari**, al **mesencefalo**, al **bulbo**.

### Imaging

- Lesioni sfumate, irregolari, puntiformi a livello del PONTE iperintense in T2 e T2-FLAIR.
- Potenziamento lineare o puntiformi.
- Ipointensità puntiformi in T2\*WI (vene prominenti!!)
- DWI restrizione in fase acuta.

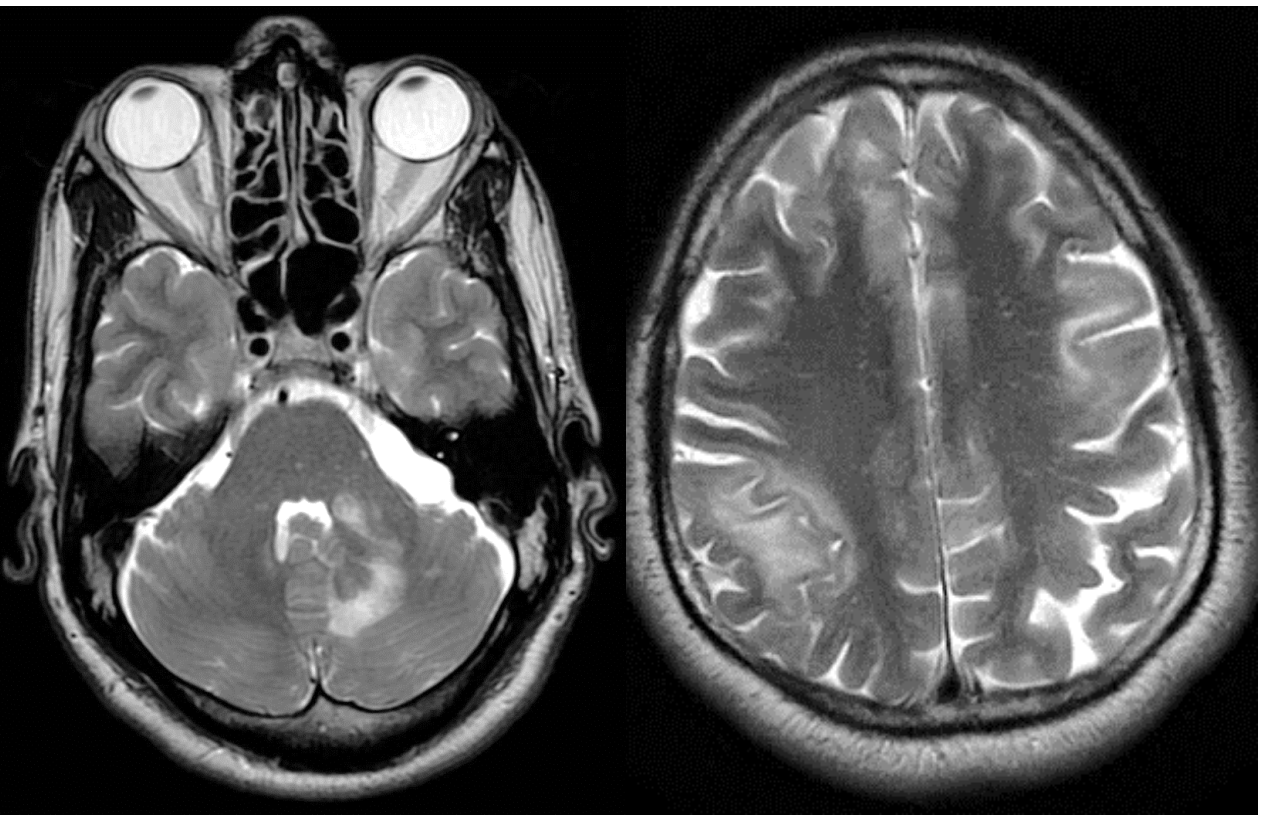


Pattern RM abbastanza univoco

# *Malattie infettive*

# *Leucoencefalopatia multifocale progressiva*

- Disordine progressivo demielinizzante
- Causa: **riattivazione JC virus**
- **Deficienza** immunitaria
- Secondaria a terapie **farmacologiche**
  
- CD4 < 100 (solitamente)



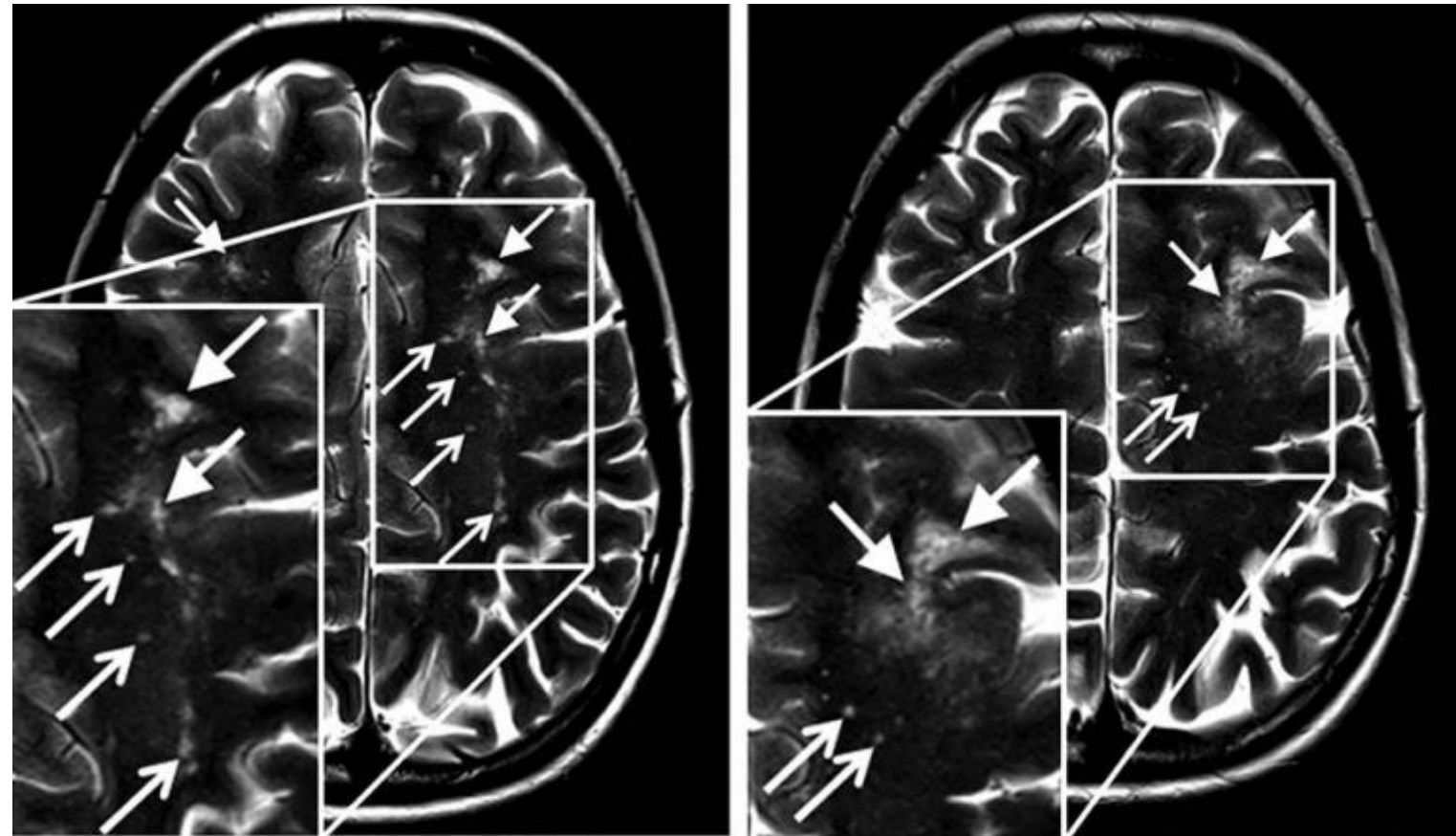
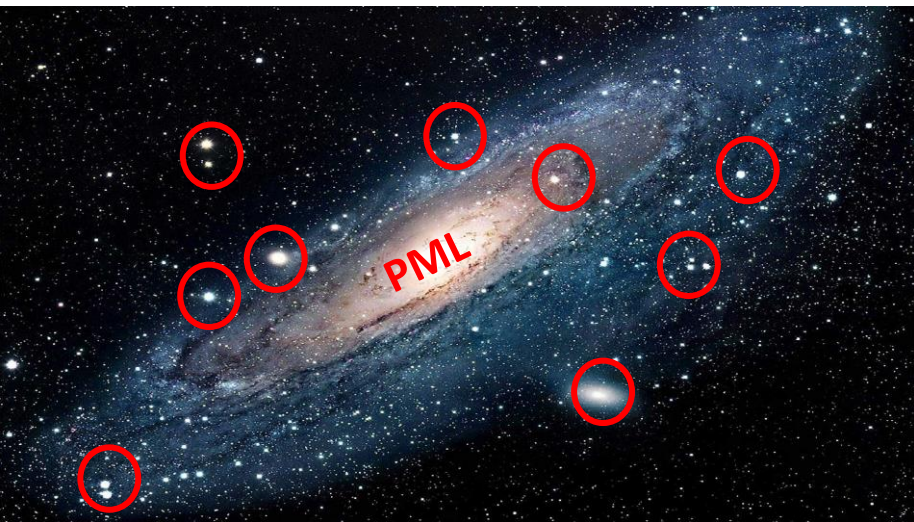
## Imaging

- Multiple e piccole aree di ipersegnale T2, asimmetriche, nella sostanza bianca sottocorticale e profonda
- caratteristico coinvolgimento delle fibre sottocorticali a U
- solitamente non effetto massa né potenziamento (potenziamento nella fase iniziale infiammatoria)

## The Milky way sign

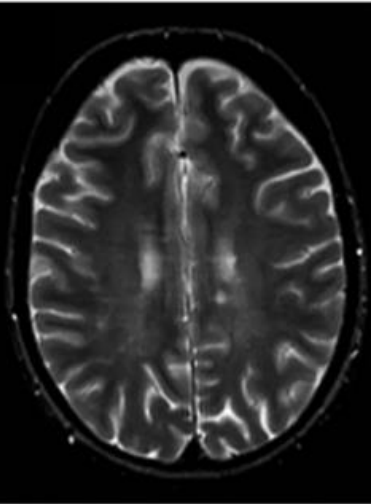
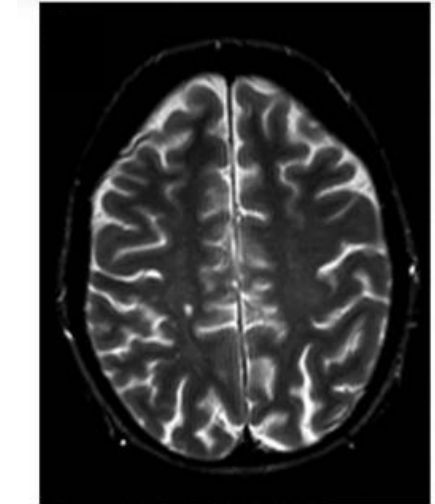


- Pattern puntato
- Utile nella diagnosi differenziale con SM
- *Multiple alterazioni T2 che circondano il core di una nuova lesione di PML*



Frecce chiuse: PML

Frecce aperte: alterazioni T2 contigue

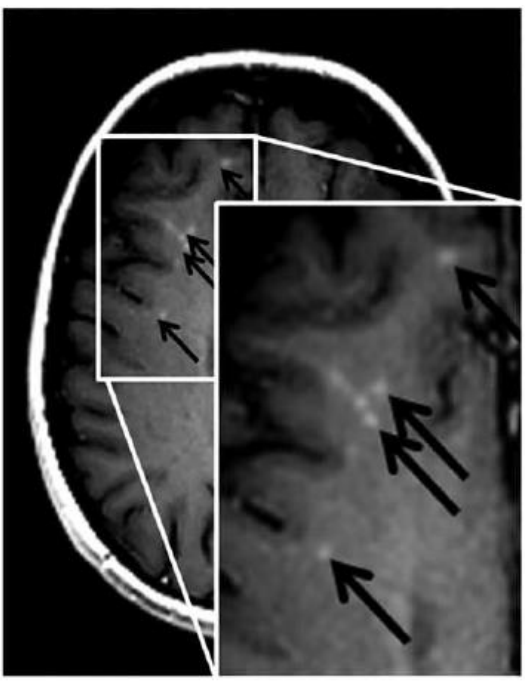
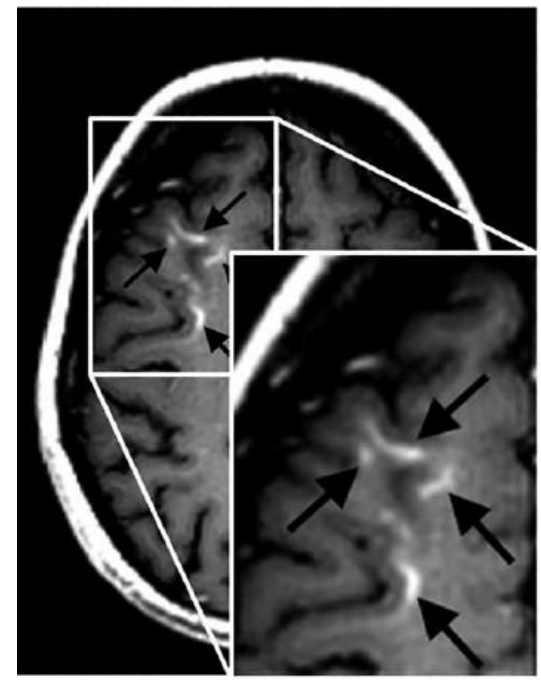
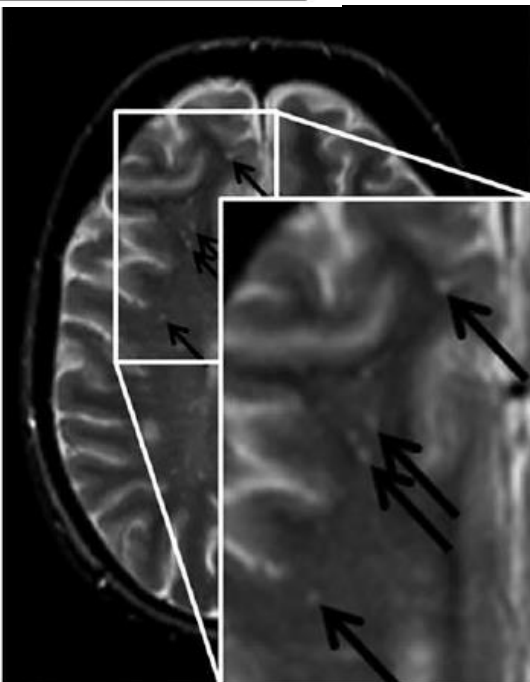
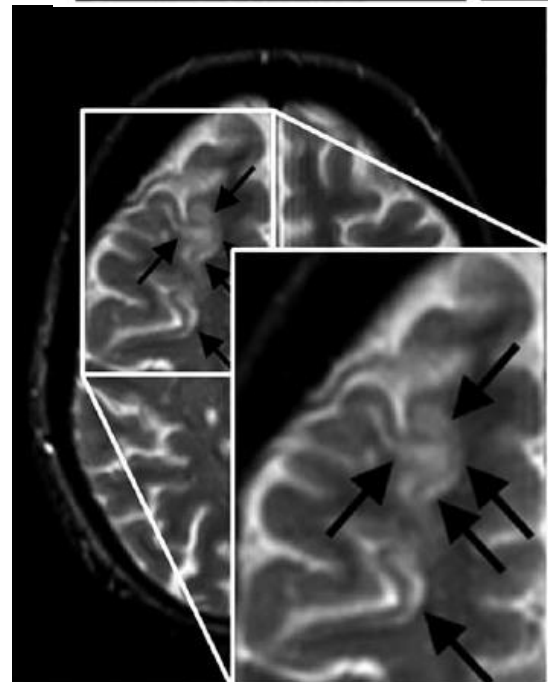


Multiple sclerosis

RESEARCH PAPER

MRI criteria differentiating asymptomatic PML from new MS lesions during natalizumab pharmacovigilance

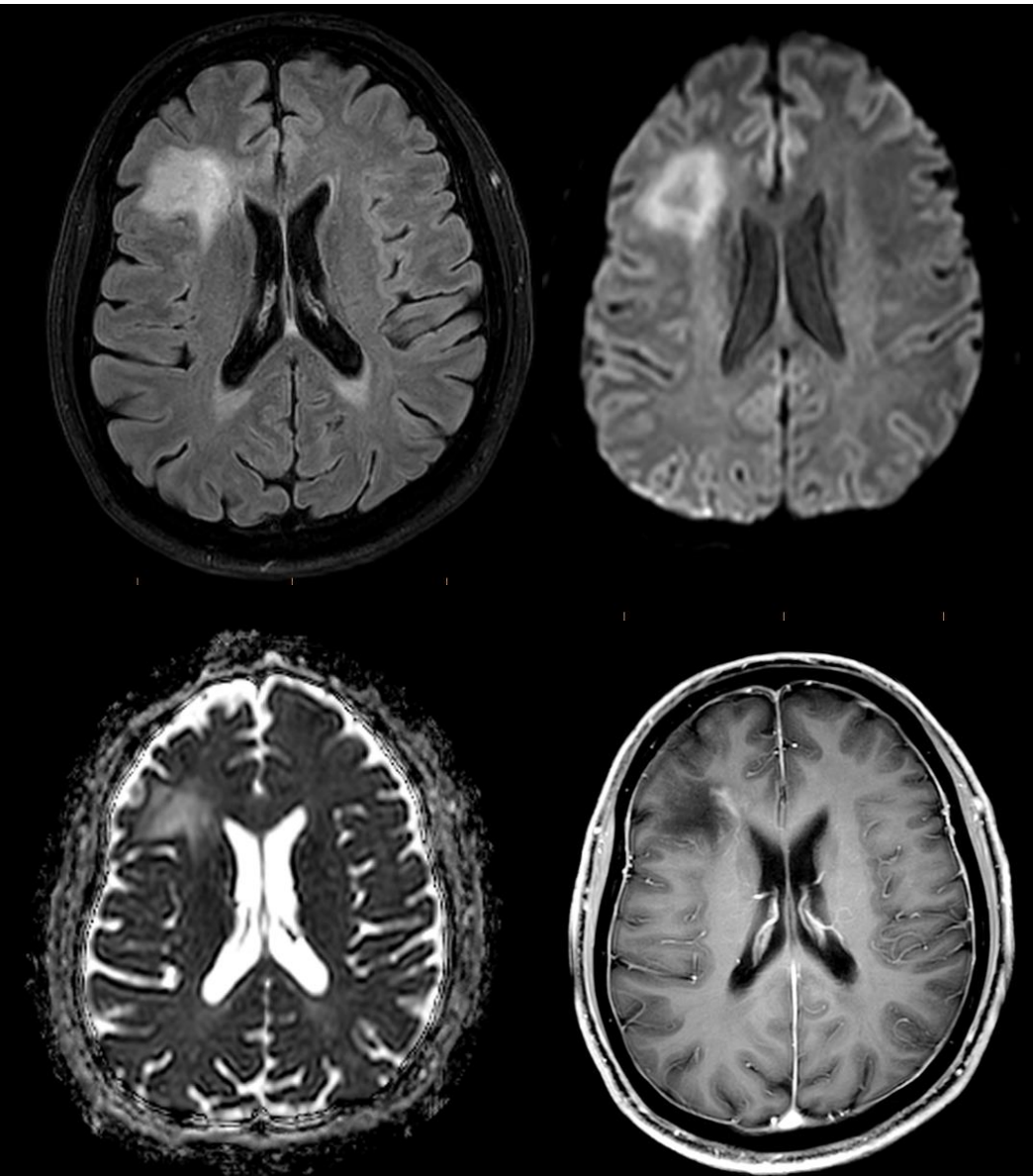
*Wijburg et al. 2016*



- IRIS: sindrome da ricostituzione immunitaria
- Pazienti immuno-modulati (sclerosi multipla) e con HIV/AIDS
- JC positivi
- Trattamenti prolungati con Natalizumab
- Due tipi di PML-IRIS sono riconosciuti:
  - PML-s-IRIS:** simultaneo sviluppo di IRIS e PML per ricostituzione immunitaria
  - PML-d-IRIS:** ricostituzione immunitaria con peggioramento di preesistente PML

## Imaging

- incremento del carico lesionale T2
- rigonfiamento cerebrale
- potenziamento prevalentemente periferico
- effetto massa

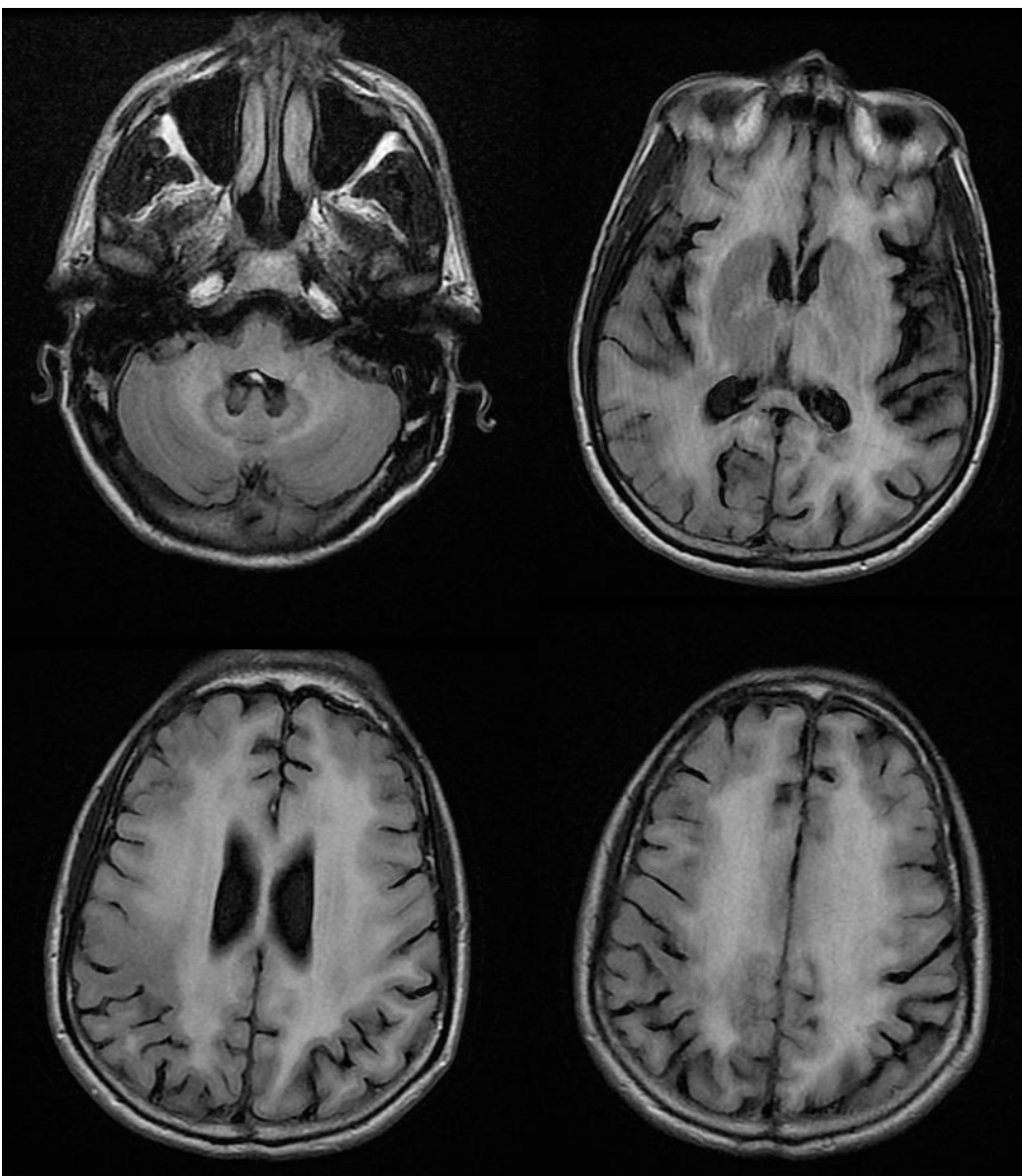


# *Leucoencefalopatia HIV relata*

- Sindrome caratterizzata da alterazioni cognitive, comportamentali e motorie secondarie ad effetto diretto di HIV sull'encefalo
- 15-20% dei pazienti con AIDS

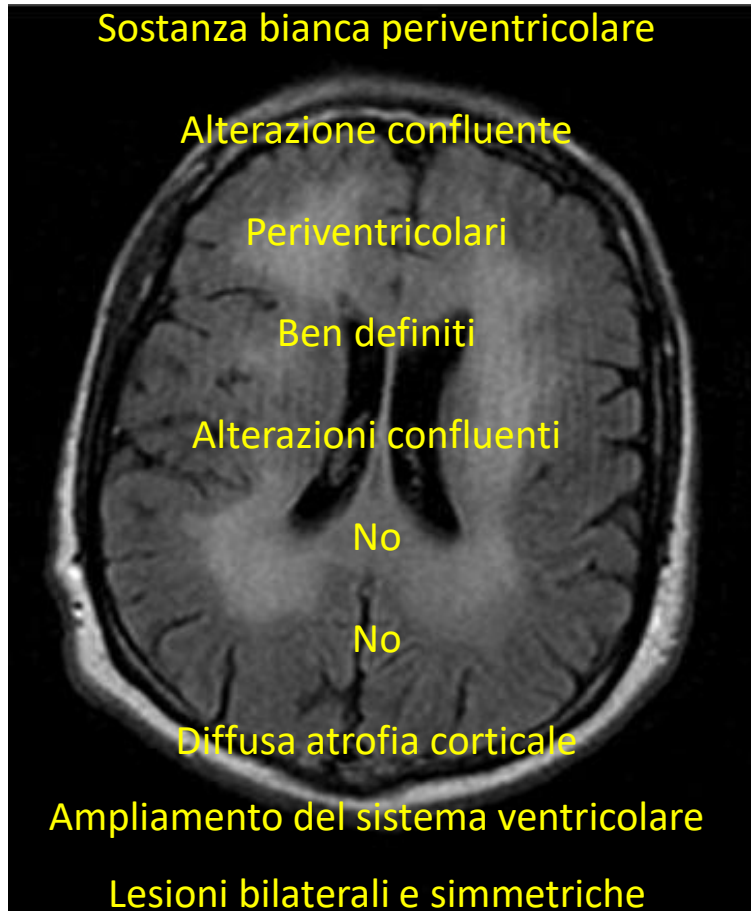
## Imaging

- Atrofia diffusa
- Diffusa e simmetrica iperintensità del segnale T2 a livello della sostanza bianca profondo e periventricolare
- No effetto massa
- No potenziamento



# Leucoencefalopatia HIV vs PML

## Leucoencefalopatia HIV relata



**SEDE**

**PATTERN**

**SEDE LESIONI**

**ESTENSIONI**

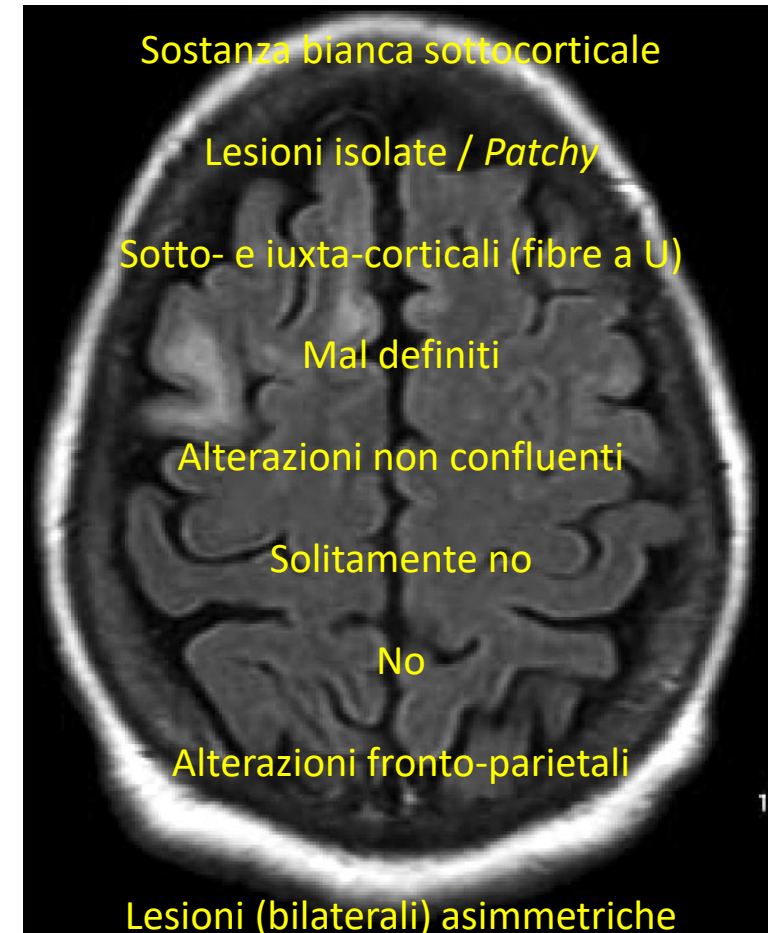
**ESTENSIONE**

**POTENZIAMENTO**

**EFFETTO MASSA**

**HALLMARK**

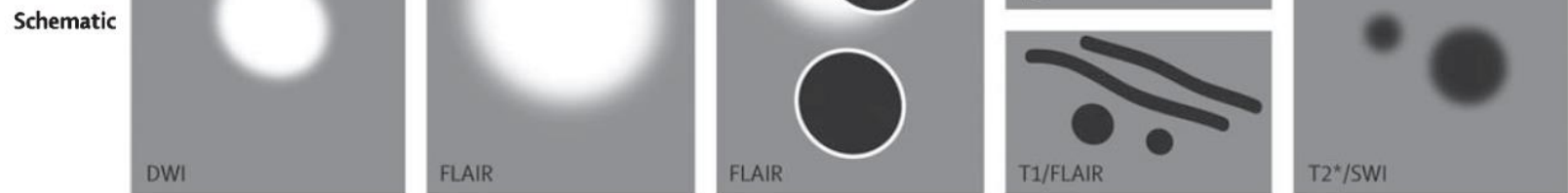
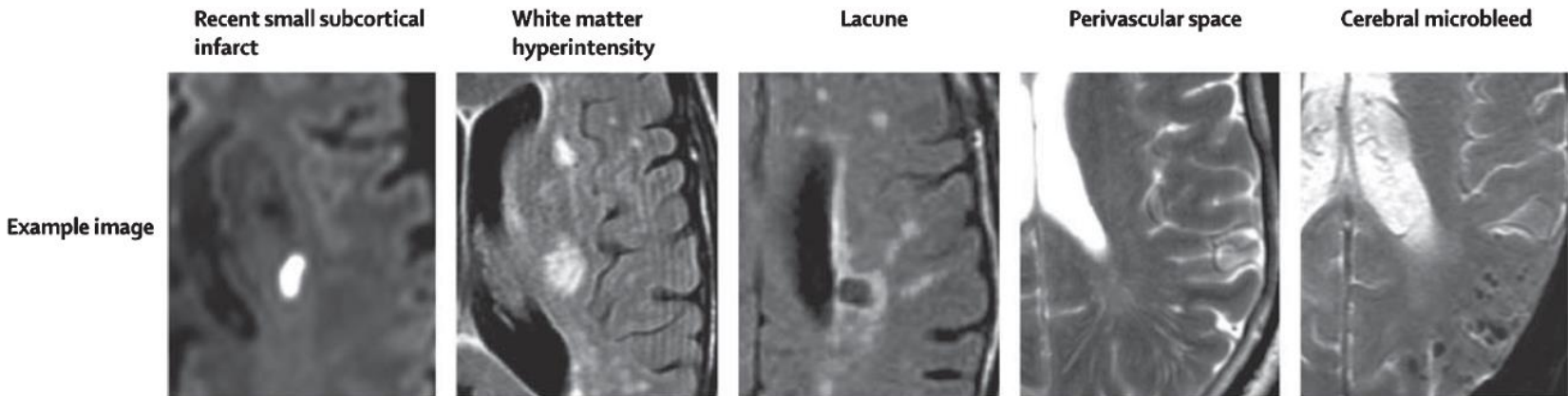
## Leucoencefalopatia multifocale progressiva



# *Malattie vascolari*

# Malattie dei piccoli vasi

## Arteriolosclerosi



| Usual diameter          | $\leq 20$ mm           | Variable                | $3-15$ mm                     | $\leq 2$ mm                          | $\leq 10$ mm                                   |
|-------------------------|------------------------|-------------------------|-------------------------------|--------------------------------------|--|
| Comment                 | Best identified on DWI | Located in white matter | Usually have hyperintense rim | Most linear without hyperintense rim | Detected on GRE seq., round or ovoid, blooming |
| <b>DWI</b>              | ↑                      | ↔                       | ↔/(↓)                         | ↔                                    | ↔  |
| <b>FLAIR</b>            | ↑                      | ↑                       | ↓                             | ↓                                    | ↔  |
| <b>T2</b>               | ↑                      | ↑                       | ↑                             | ↑                                    | ↔  |
| <b>T1</b>               | ↓                      | ↔/(↓)                   | ↓                             | ↓                                    | ↔  |
| <b>T2*-weighted GRE</b> | ↔                      | ↑                       | ↔ (↓ if haemorrhage)          | ↔                                    | ↓↓   |

Journal of Alzheimer's Disease 62 (2018) 1417–1441  
DOI 10.3233/JAD-170803  
IOS Press

1417

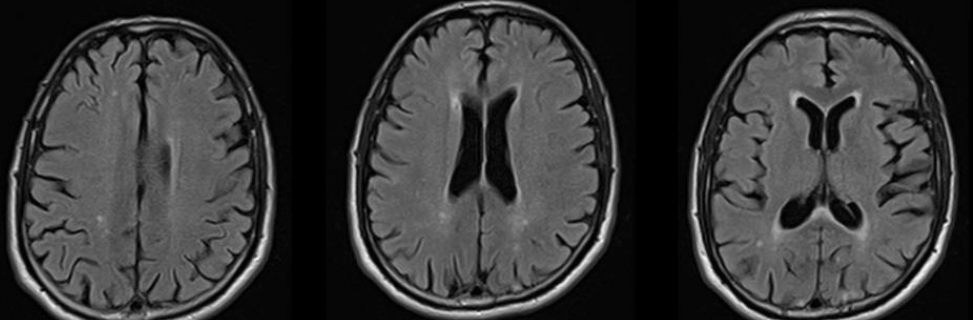
### Review

## Update on Vascular Cognitive Impairment Associated with Subcortical Small-Vessel Disease

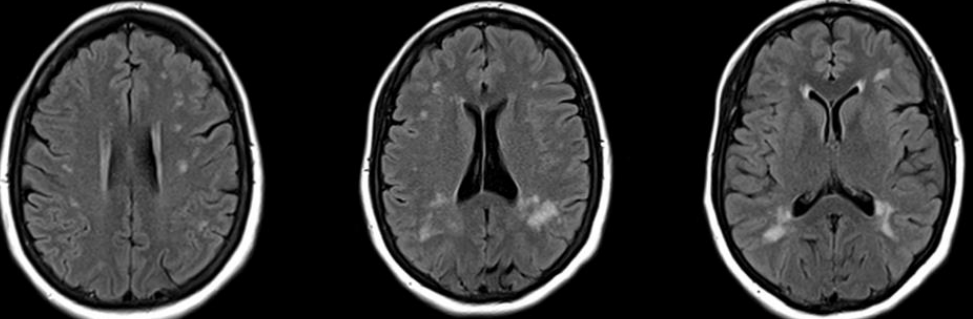
Anders Wallin<sup>a,1,\*</sup>, Gustavo C. Román<sup>b,c,1</sup>, Margaret Esiri<sup>d</sup>, Petronella Kettunen<sup>a,e</sup>, Johan Svensson<sup>f</sup>, George P. Paraskvas<sup>g</sup> and Elisabeth Kapaki<sup>g</sup>

# Arteriolosclerosi

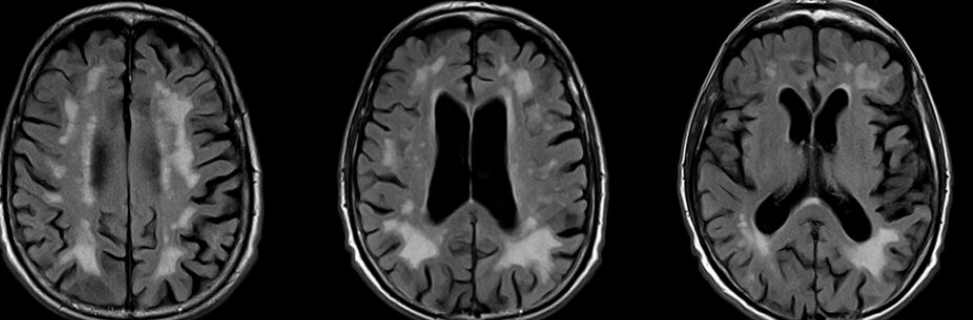
**Lesioni focali ed isolate: Fazekas 1**



**Lesioni tendenti alla confluenza: Fazekas 2**



**Lesioni estesamente confluenti: Fazekas 3**



## Pathologic correlates of incidental MRI white matter signal hyperintensities

F. Fazekas, MD; R. Kleinert, MD; H. Offenbacher, MD; R. Schmidt, MD; G. Kleinert, MD; F. Payer, MD;  
H. Radner, MD; and H. Lechner, MD

NEUROLOGY 1993;43:1683-1689

### Sostanza bianca periventricolare

**0** Assenti

**1** Esile cappuccio periventricolare

**2** Alone periventricolare

**3** Alterazione periventricolare estesa  
alla sostanza bianca profonda

### Sostanza bianca profonda

Assenti

Isolati e millimetrici foci

Aree tendenti alla confluenza

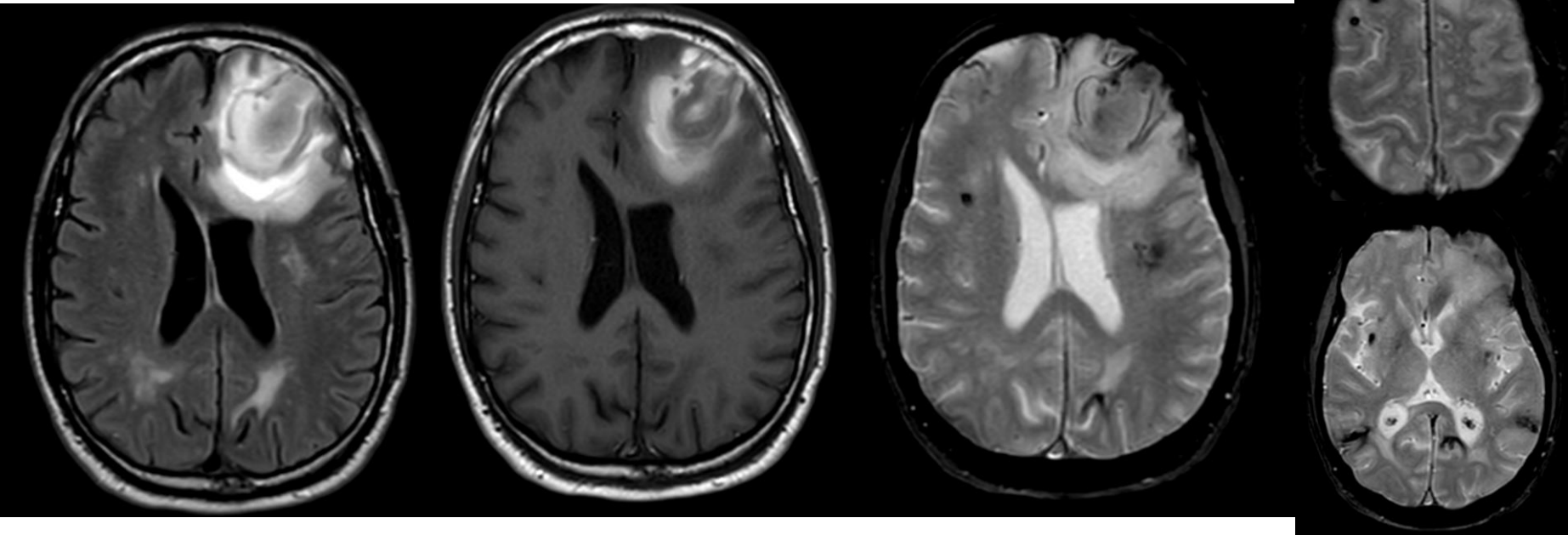
Aree ampiamente confluenti

Combinazione di demielinizzazione,  
ependimite granulomatosa, gliosi e  
patologia microcircolatoria ischemica  
cronica

Patologia microcircolatoria  
ischemica cronica  
(possibile applicazione nei Pz  
con demenze)

# Angiopatia amiloide cerebrale

- Malattia dei piccoli vasi **sporadica o ereditaria**
- Istologia:
  - depositi di  $\beta$ -amiloide nelle pareti delle a. leptomeninge e corticali
- Imaging:
  - Macroemorragie lobari (frontali e occipitali) >5mm
  - Microemorragie sottocorticali (pattern posteriore) <5mm
  - Leucoaraiosi sovratentoriale
  - Siderosi superficiale e/o ESA



## Topical Review

Section Editors: Jean-Marc Olivot, MD, PhD, and Chelsea Kidwell, MD

Stroke 2018

### Diagnosis of Cerebral Amyloid Angiopathy Evolution of the Boston Criteria

Steven M. Greenberg, MD, PhD; Andreas Charidimou, MD, PhD

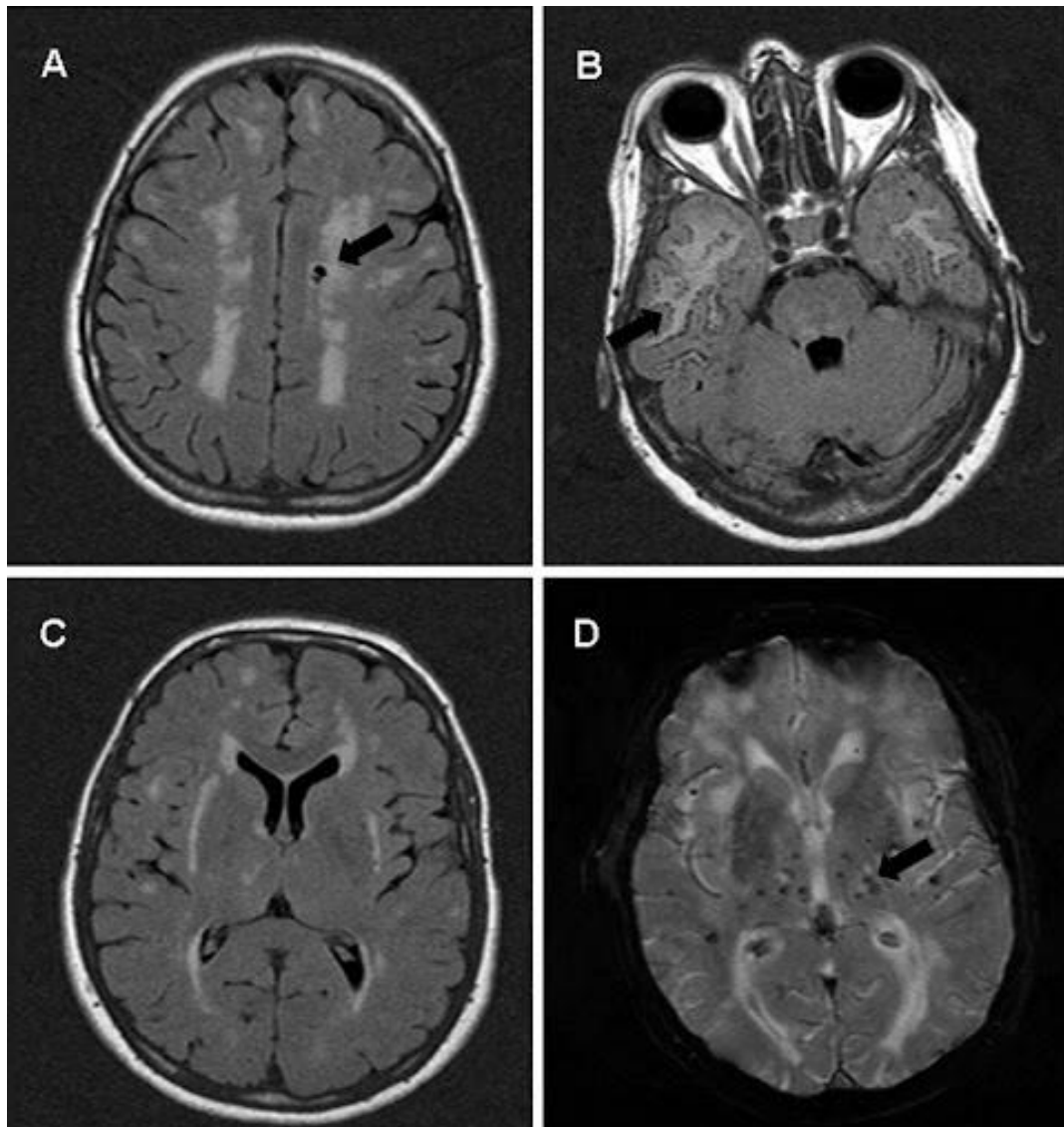
Table 1. Modified Boston Criteria for CAA

|   |   |
|---|---|
| Definite CAA  | ● |
| Full postmortem examination demonstrating:  |   |
| Lobar, cortical, or cortical–subcortical hemorrhage   |   |
| Severe CAA with vasculopathy  |   |
| Absence of other diagnostic lesion  |   |
| Probable CAA with supporting pathology  | ● |
| Clinical data and pathological tissue (evacuated hematoma or cortical biopsy) demonstrating:  |   |
| Lobar, cortical, or cortical–subcortical hemorrhage (including ICH, CMB, or cSS)  |   |
| Some degree of CAA in specimen  |   |
| Absence of other diagnostic lesion  |   |
| Probable CAA  | ● |
| Clinical data and MRI or CT demonstrating:  |   |
| Multiple hemorrhages (ICH, CMB) restricted to lobar, cortical, or cortical–subcortical regions (cerebellar hemorrhage allowed), or single lobar, cortical, or cortical–subcortical hemorrhage and cSS (focal or disseminated) |   |
| Age $\geq 55$ y   |   |
| Absence of other cause of hemorrhage*   |   |
| Possible CAA  | ● |
| Clinical data and MRI or CT demonstrating:  |   |
| Single lobar, cortical, or cortical–subcortical ICH, CMB, or cSS (focal or disseminated)  |   |
| Age $\geq 55$ y   |   |
| Absence of other cause of hemorrhage*   |   |

- Malattia dei piccoli vasi **ereditaria**: **NOTCH3** (Cr 19)
- Esordio tipico 3<sup>a</sup>-4<sup>a</sup> decade, progressione "a gradini"
- Istologia:
  - depositi di **granular osmiophilic material** (GOM) a. perforanti lunghe e leptomeninge, perdita delle cellule muscolari lisce
  - aree di demielinizzazione
  - infarti sottocorticali

**REGIONI TEMPORALI ANTERIORI  
CAPSULE ESTERNE**

- Imaging:
  - vaste aree di demielinizzazione **simmetriche e confluenti**
  - da **piccoli infarti SB sottocorticale** ad infarti lacunari profondi (talamo, nuclei della base, capsula interna)
  - possibile coinvolgimento delle fibre ad U



*van den Boom et al, AJNR 2006*

# Sindrome di Susac

- Malattia dei piccoli vasi **rara**, patogenesi **autoimmune (F>M)**
- Sordità neurosensoriale, perdita della vista, encefalopatia
- Istologia: **Anticorpi antiendotelio**

- danno endoteliale
- piccoli trombi
- occlusione del lume



- Imaging:
- Snowball lesions** piccole e multiple lesioni SB e **corpo calloso**
- diffusione ristretta** (fasi acute)
- Iposegnale T1 corpo calloso: aspetto **punched out**
- T1postGD: potenziamento leptomeningeo e parenchimale

Wilf-Yarkoni et al. *BMC Neurology* (2020) 20:332  
<https://doi.org/10.1186/s12883-020-01892-0>

BMC Neurology

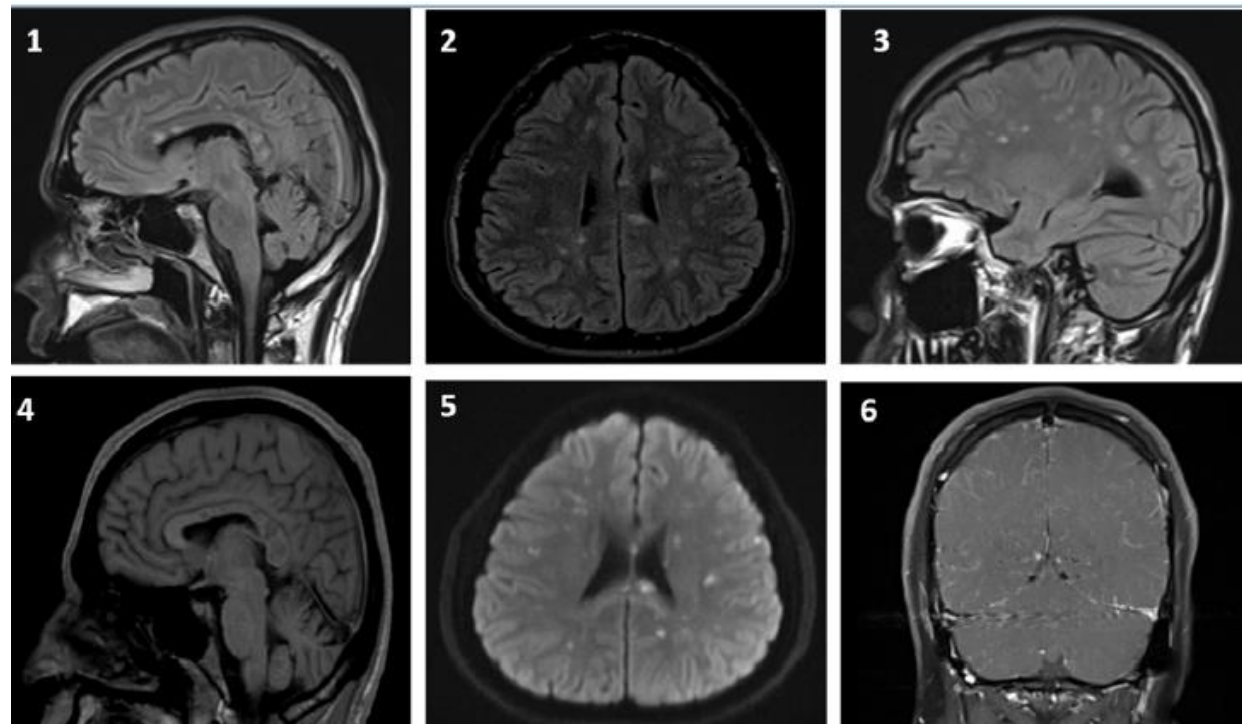
RESEARCH ARTICLE

Open Access

Increased incidence of Susac syndrome: a case series study



A. Wilf-Yarkoni<sup>1\*</sup> , O. Elkayam<sup>2,3</sup>, O. Aizenstein<sup>4</sup>, Y. Oron<sup>5</sup>, V. Furer<sup>2,3</sup>, D. Zur<sup>3,6</sup>, M. Goldstein<sup>3,6</sup>, D. Bareket<sup>3,6</sup>, H. Hallevi<sup>7</sup>, A. Karni<sup>3,7,8</sup>, Z. Habot-Wilner<sup>3,6</sup> and K. Regev<sup>7</sup>



# *Malattie Tossico Metaboliche*

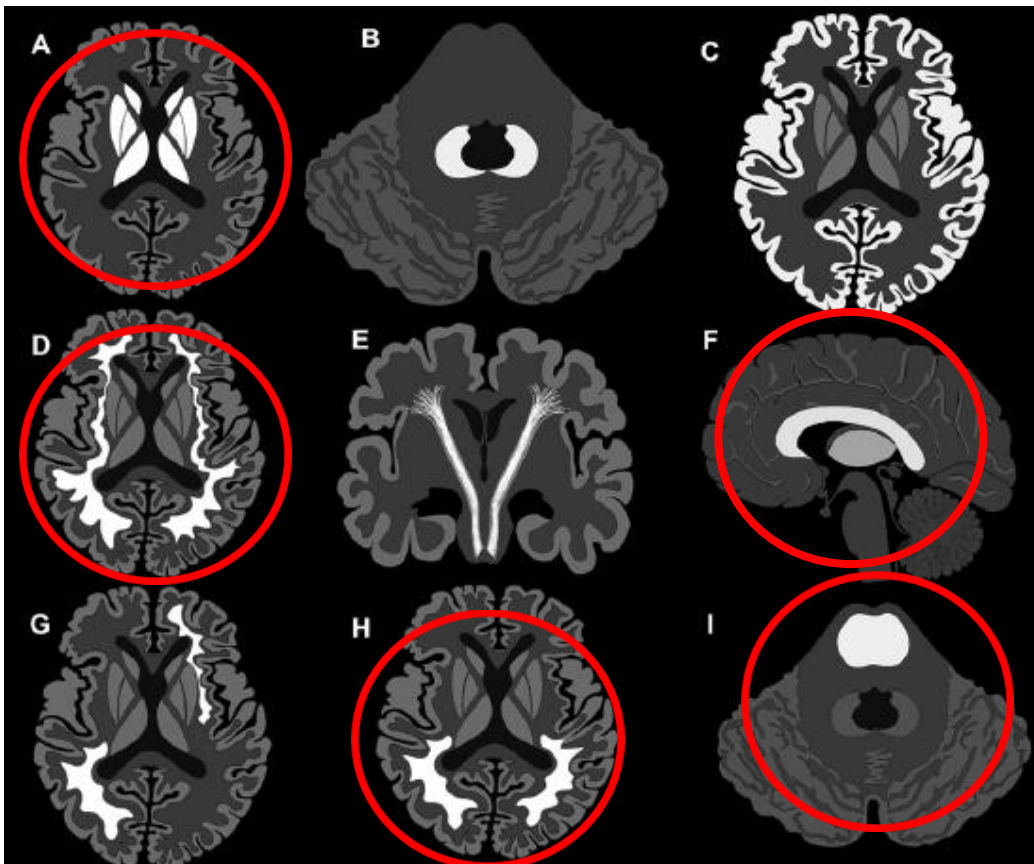
# Malattie tossico-metaboliche

- CLINICA: stato confusionale acuto e delirio
- PATTERN NEURORADIOLOGICI
  - distribuzione **bilaterale** e simmetrica
  - diffusione ristretta**
  - non effetto massa, né potenziamento contrastografico (solitamente)
- SEDI: sostanza grigia corticale e profonda (nuclei della base), talami, **sostanza bianca periventricolare, corpo calloso, ponte** sensibili al **DANNO ECCITOTOSSICO**
- PROGNOSI: peggiore se interessata la sostanza grigia

PATTERN → PIÙ MALATTIE METABOLICHE  
MALATTIA METABOLICA → PIÙ PATTERN

## Imaging Patterns of Toxic and Metabolic Brain Disorders

*De Oliveira et al 2019 - Radiographics*

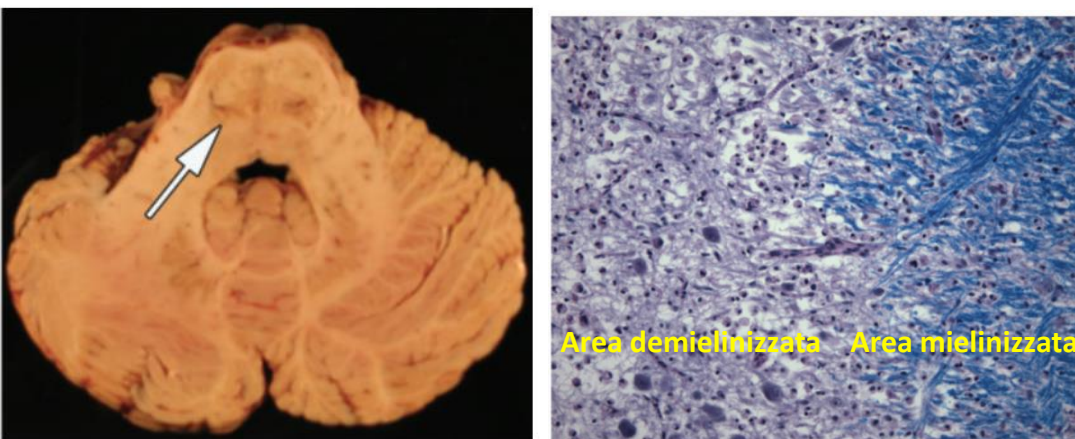
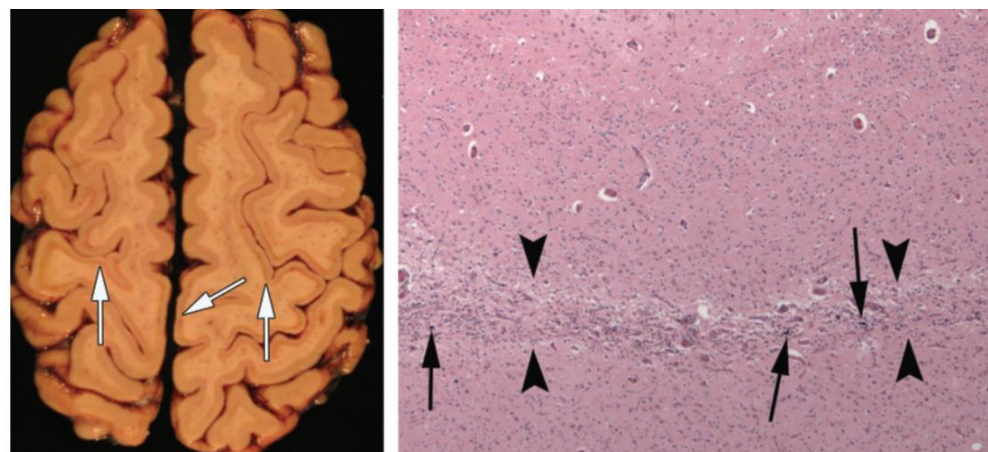


- Ha sostituito il termine **mielinolisi pontina** centrale perché nella patologia possono essere colpite strutture extra-pontine (**mielinolisi extra-pontina**)
- Sindrome da demielinizzazione osmotica acuta (rapidi cambiamenti dell'osmosi tipicamente successivi a rapida correzione dell'iponatriemia)
- **Oligodendrociti sensibili alla rapida correzione dell' iponatriemia** (alcolismo cronico, malnutrizione)
- Decorso bifasico
- Istologia:  
-demielinizzazione 'pura' (non infiammatoria)

RadioGraphics 2009; 29:933–938 • DOI: 10.1148/rg.293085151 •

## Osmotic Demyelination Syndrome<sup>1</sup>

Stephanie A. Howard, MD • Justine A. Barletta, MD • Roman A. Klufas, MD • Ali Saad, MD • Umberto De Girolami, MD



➤ Imaging:

-**pontina** (50%): coinvolgimento **simmetrico**

regioni **centrali del ponte**;

-risparmio regioni periferiche e tratti cortico-spinali (pattern a **tridente**)

-**extrapontina**: coinvolgimento simmetrico nuclei della base, talami, peduncoli cerebrali, SB sottocorticale, necrosi laminare

AJNR Am J Neuroradiol 25:210-213, February 2004

Case Report

### Early Diagnosis of Central Pontine Myelinolysis with Diffusion-Weighted Imaging

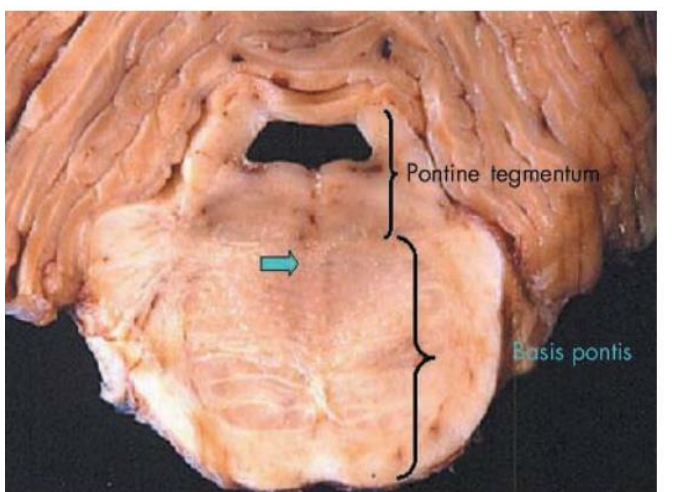
Kimberly A. Ruzek, Norbert G. Campeau, and Gary M. Miller

DWI + entro  
24 h



Seminars in Ultrasound, CT and MRI  
Volume 35, Issue 2, April 2014, Pages 153-159  
ELSEVIER

Osmotic Demyelination Syndrome: Central Pontine Myelinolysis and Extrapontine Myelinolysis  
Anthony M. Alleman MD, MPH ↗

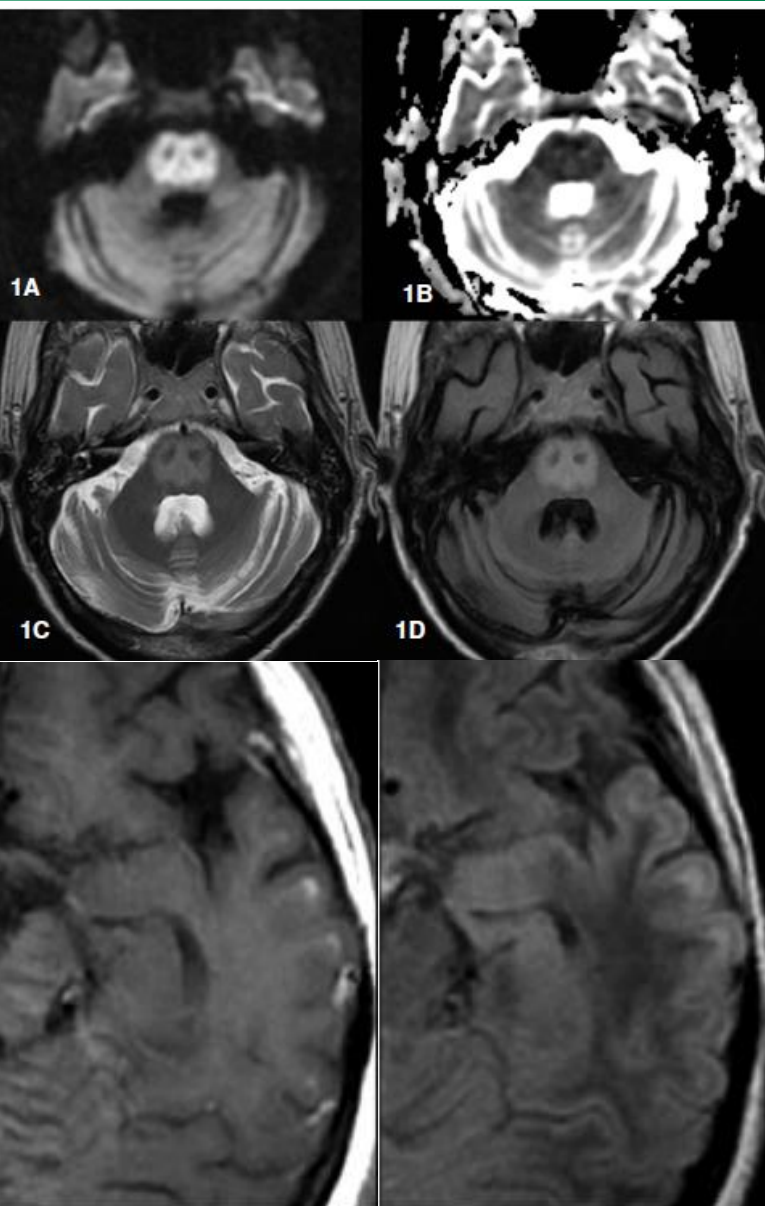


The British Journal of Radiology, 85 (2012), e87-e90

### CASE REPORT

**MRI findings of corticosubcortical lesions in osmotic myelinolysis: report of two cases**

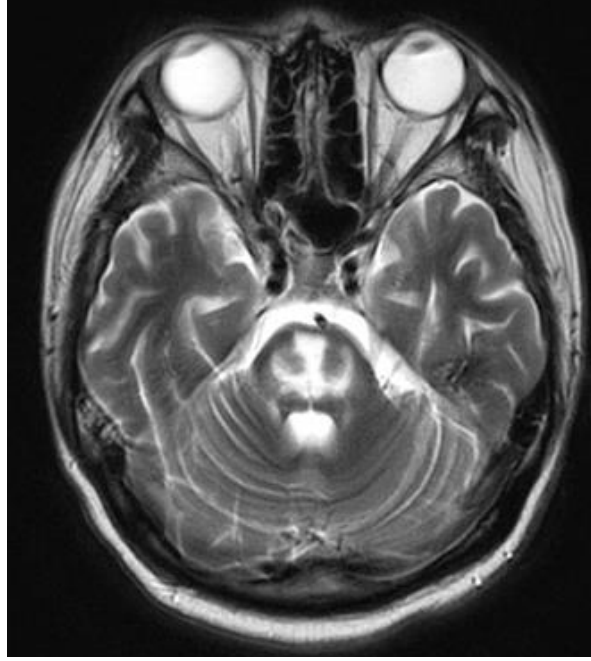
<sup>1</sup>Y TATEWAKI, MD, <sup>2</sup>K KATO, MD, <sup>3</sup>Y TANABE, MD, PhD and <sup>1</sup>S TAKAHASHI, MD, PhD



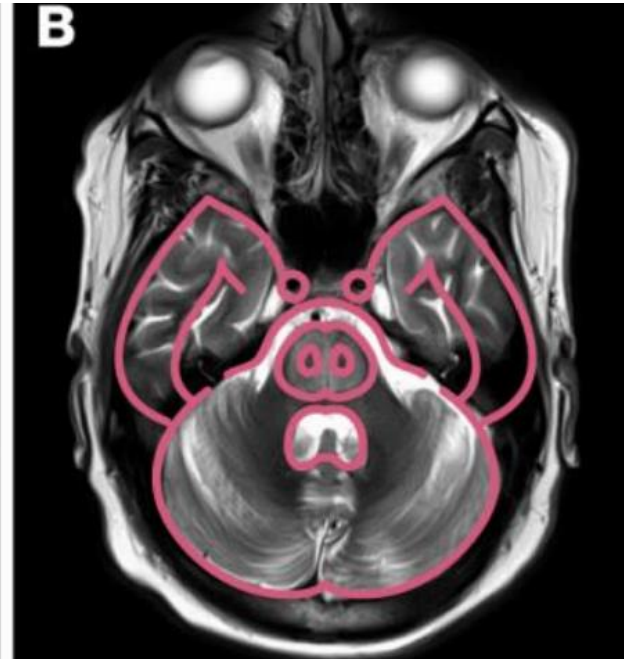
# Mielinolisi pontina



**Mexican hat sign**



**Trident or Maserati sign**



**Piglet sign**

CLINICAL SHORT COMMUNICATION | VOLUME 373, P268-273,  
FEBRUARY 15, 2017



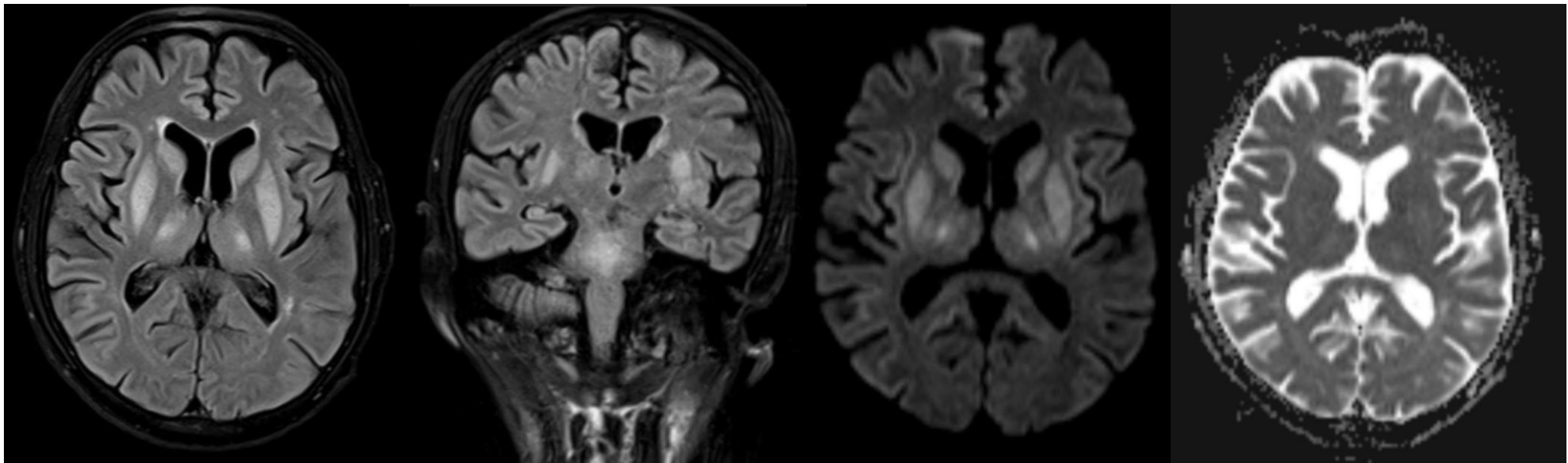
Purchase

Temporal evolution of the trident and piglet signs of osmotic demyelination syndrome

Shin C. Beh 

Published: January 07, 2017 • DOI: <https://doi.org/10.1016/j.jns.2017.01.024> •  Check for updates

# Mielinolisi extra-pontina



**Central Pontine and Extra Pontine Myelinolysis**

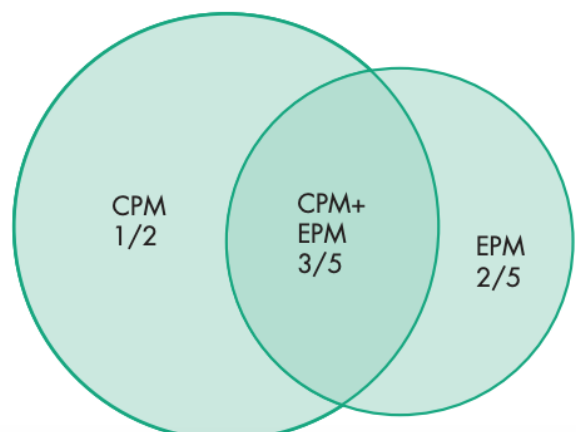
In Eurorad 2017  
Priyank S Chatra  
10.1594/EURORAD/CASE.14449

**Table 1** Lesions of central pontine myelinolysis (CPM) and extrapontine myelinolysis (EPM) (in descending order of frequency)<sup>3</sup>

- ▶ Pons
- ▶ Cerebellum
- ▶ Lateral geniculate body
- ▶ External capsule
- ▶ Extreme capsule
- ▶ Hippocampus
- ▶ Putamen
- ▶ Cerebral cortex/subcortex
- ▶ Thalamus
- ▶ Caudate nucleus

The following 10% or less:

- ▶ Claustrum
- ▶ Internal capsule
- ▶ Midbrain
- ▶ Internal medullary lamella
- ▶ Mamillary body
- ▶ Medulla oblongata



**CENTRAL PONTINE AND EXTRA-PONTINE MYELINOLYSIS: THE OSMOTIC DEMYELINATION SYNDROMES**

R J Martin

*J Neurol Neurosurg Psychiatry* 2004; **75**(Suppl III):iii22–iii28. doi: 10.1136/jnnp.2004.045906

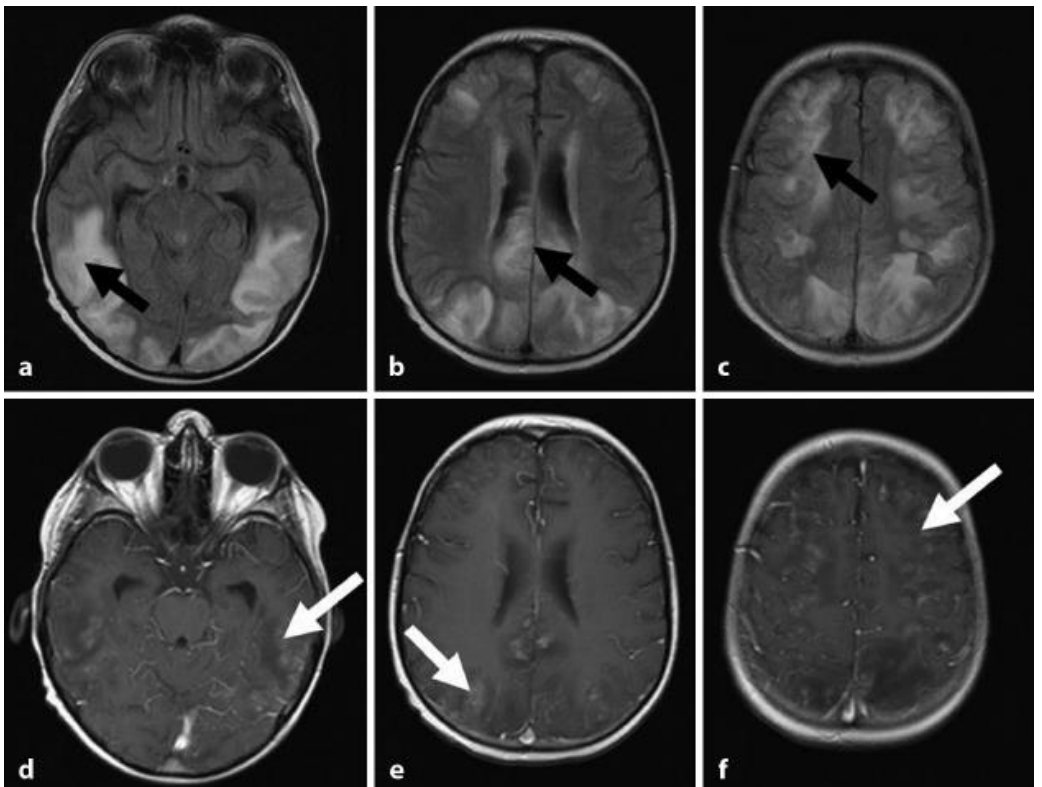
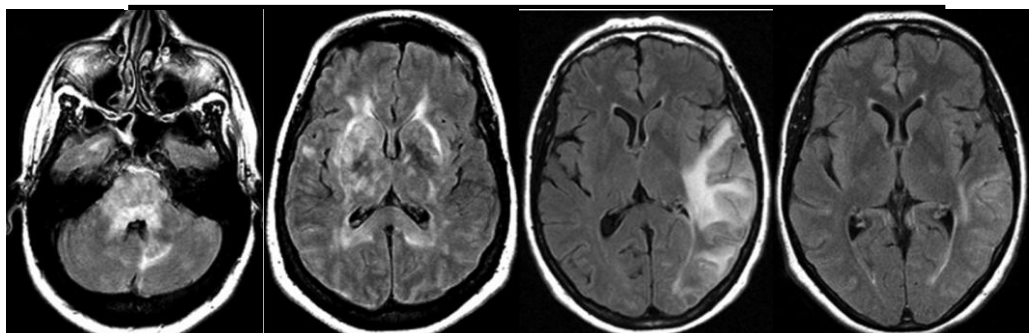
➤ Imaging:

- edema cortico-sottocorticale **bilaterale ed simmetrico** delle regioni **parieto-occipitali e frontali posteriori**
- pattern: **oloemisferico**, del **solco frontale superiore**, **parieto-occipitale**, coinvolgimento di altre regioni encefaliche (lobi temporali, talami, cervelletto, tronco encefalico, nuclei della base). Unilaterale
- T2\* emorragie ed ESA (15%);
- potenziamento disomogeneo

Neuroradiology • Original Research

Alexander M. McKinney<sup>1,2</sup>  
James Short<sup>1</sup>  
Charles L. Truwit<sup>1</sup>  
Zeke J. McKinney<sup>1</sup>  
Osman S. Kozak<sup>1</sup>  
Karen S. SantaCruz<sup>1</sup>  
Mehmet Teksam<sup>1</sup>

### Posterior Reversible Encephalopathy Syndrome: Incidence of Atypical Regions of Involvement and Imaging Findings



Clin Neuroradiol (2015) 25:161–171  
DOI 10.1007/s00062-014-0293-7

ORIGINAL ARTICLE

Posterior Reversible Encephalopathy Syndrome: The Spectrum of MR Imaging Patterns

O. Kastrup · M. Schlamann · C. Moenninghoff ·  
M. Forsting · S. Goericke

**NON SEMPRE POSTERIORE!  
NON SEMPRE REVERSIBILE!**

# Leucoencefalopatia da methotrexate

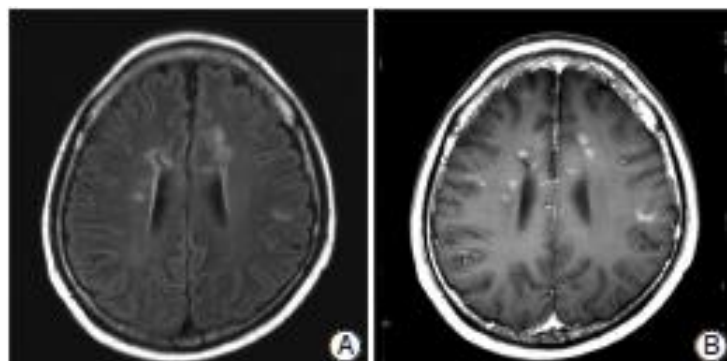
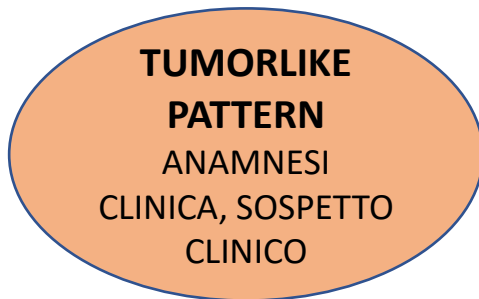
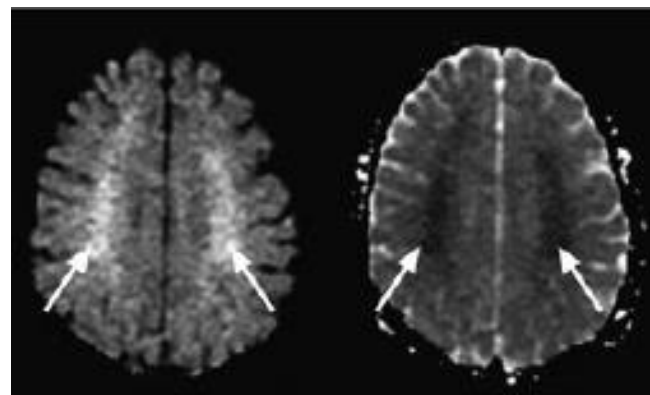
original article

Annals of Oncology  
doi:10.1093/annonc/mdm466

- Esordio **acuto**, da 2 a 14 giorni dopo la somministrazione
- Pz **pediatrici**, somministrazione **intratecale**, alte dosi
- Pattern:
  - encefalopatia tossica
  - encefalopatia necrotizzante disseminata
- Imaging:
  - diffusione ristretta** ed ipersegnaile T2/FLAIR **centri semiovale e SB**
  - periventricolare (risparmiate le fibre ad U)
  - contrast enhancement **nodulare o periferico**; effetto massa.

## Clinical and radiological characteristics of methotrexate-induced acute encephalopathy in pediatric patients with cancer

H. Inaba<sup>1,2</sup>, R. B. Khan<sup>3,4</sup>, F. H. Lanningham<sup>3,5</sup>, K. R. Crews<sup>6,7</sup>, C.-H. Pui<sup>1,2</sup> & N. C. Daw<sup>1,2\*</sup>



J Korean Neurosurg Soc 50 : 304-310, 2011

Copyright © 2011 The Korean Neurosurgical Society

Clinical Article

**Leukoencephalopathy and Disseminated Necrotizing Leukoencephalopathy Following Intrathecal Methotrexate Chemotherapy and Radiation Therapy for Central Nerve System Lymphoma or Leukemia**

Ji Yeon Kim, M.D.<sup>1</sup> Sung Tae Kim, M.D., Ph.D.<sup>2\*</sup> Do-Hyun Nam, Ph.D.,<sup>1</sup> Jung-Il Lee, Ph.D.,<sup>1</sup> Kwan Park, Ph.D.,<sup>1</sup> Doo-Sik Kong, M.D., Ph.D.<sup>1</sup>  
Departments of Neurosurgery/<sup>2</sup> Radiology,<sup>3</sup> Center for Imaging Science, Samsung Medical Center, Samsung Biomedical Research Institute, Sungkyunkwan University School of Medicine, Seoul, Korea

# Patologie alcol-relate

## Malattia di Marchiafava-Bignami

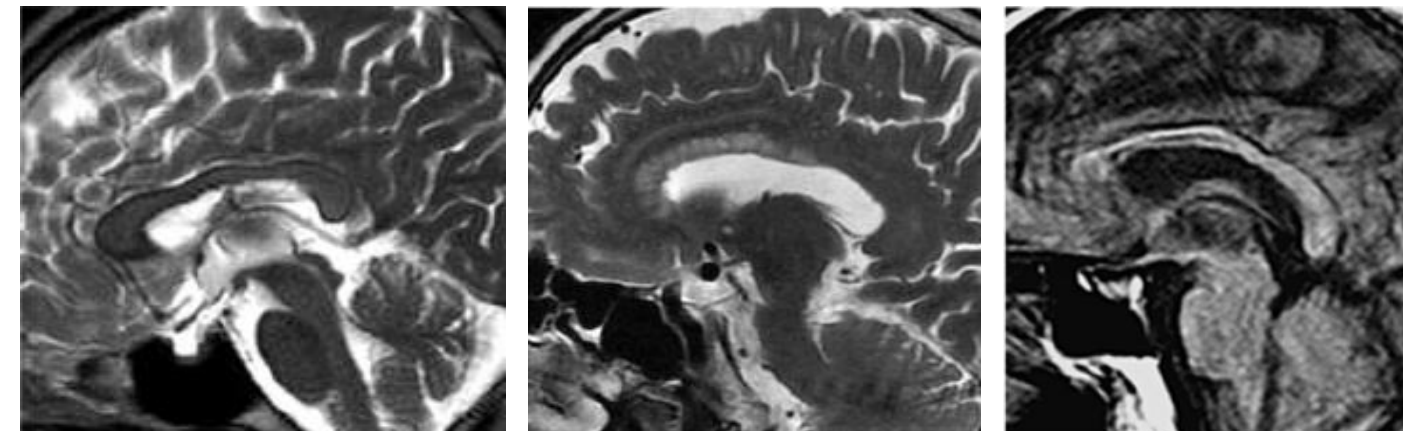
- Progressiva demielinizzazione del corpo calloso
- Istologia:
  - fase acuta demielinizzazione, edema citotossico, infiltrati macrofagici
  - fase cronica necrosi cistica del corpo calloso
- CLINICA
  - tipo A:** esordio improvviso, prognosi severa
  - tipo B:** esordio graduale
- Imaging:
  - Iperintensità T2 e FLAIR **CORPO CALLOSO** e della SB periventricolare con potenziamento post-Gd (fase acuta)
  - Assottigliamento del corpo calloso (fase cronica)

FLAIR  
3D

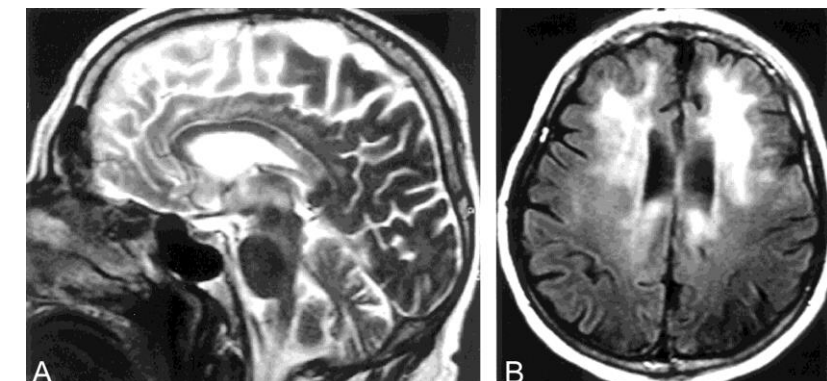
Original Article

### Diverse MRI findings and clinical outcomes of acute Marchiafava-Bignami disease

Wei Li<sup>1,\*</sup>  Chao Ran<sup>2,\*</sup>  and Jun Ma<sup>1</sup> 



Sandwich sign



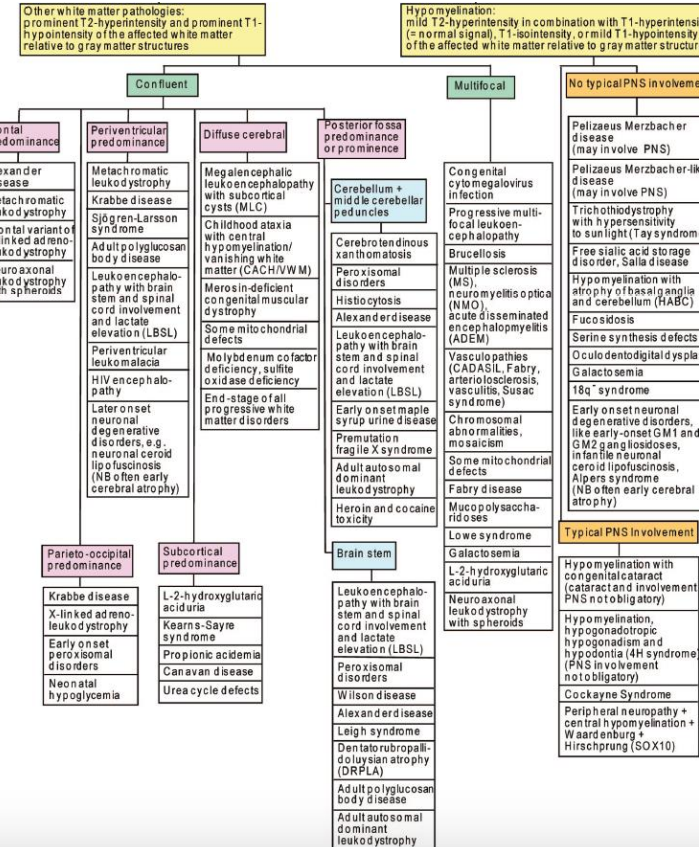
Acta Radiologica  
0(0) 1–5  
© The Foundation Acta Radiologica  
2020  
Article reuse guidelines:  
[sagepub.com/journals-permissions](http://sagepub.com/journals-permissions)  
[journals.sagepub.com/home/acr](http://journals.sagepub.com/home/acr)



# Inquadramento neuroradiologico

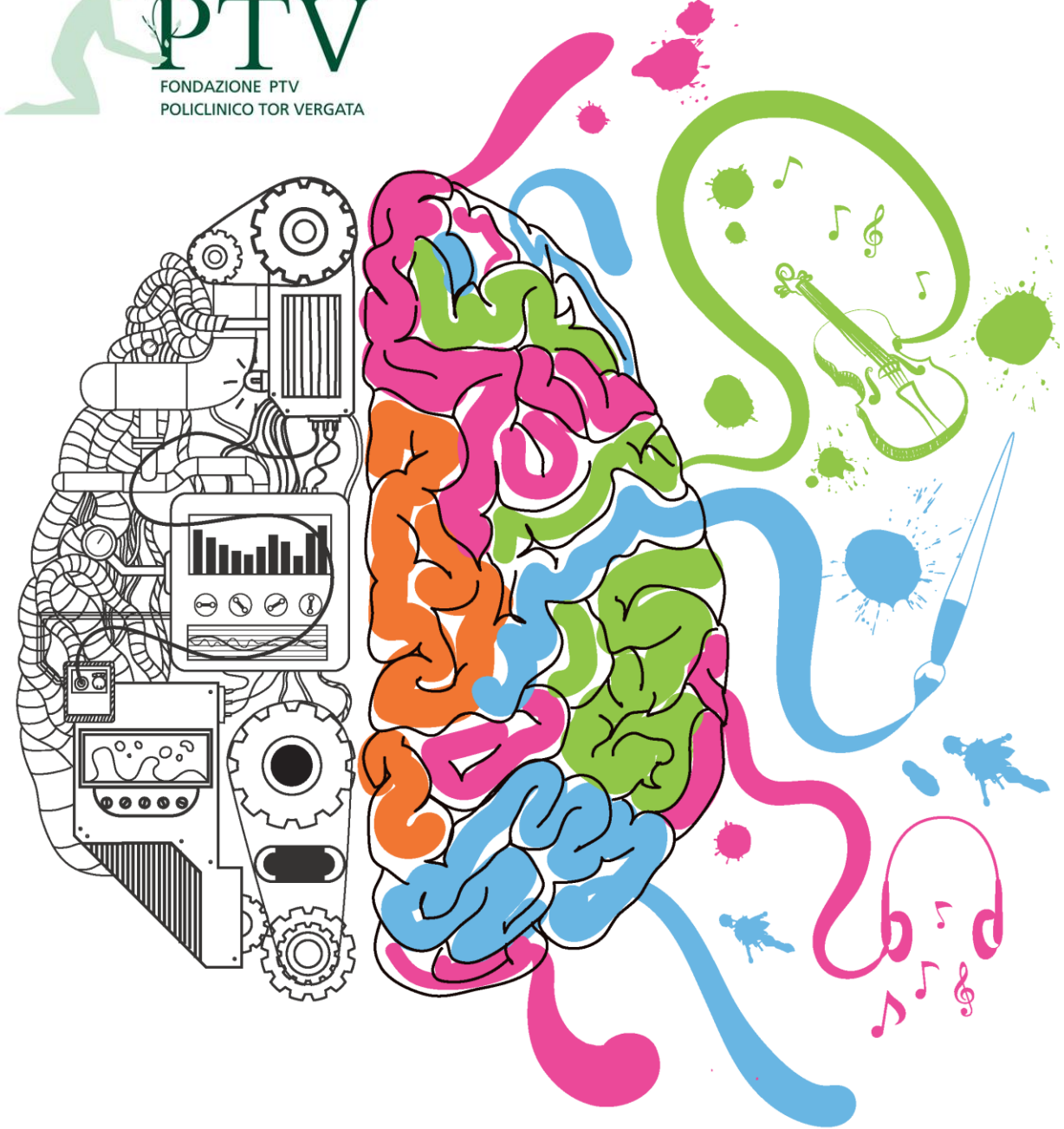
## Criteri RM

- **Sede:** frontale, temporale, occipitale, parietale, tronco encefalico, cervelletto
- **Pattern:** isolato, multifocale, confluente
- **Localizzazione:** sostanza bianca iuxta-corticale, sottocorticale, profonda
- **Identificazione segnale RM:** T1, T2, DWI
- **Pattern di potenziamento:** girale, nodulare, ad anello, ad anello incompetito, periventricolare
- **Imaging avanzato:** spettroscopia RM, Diffusione e Perfusione RM



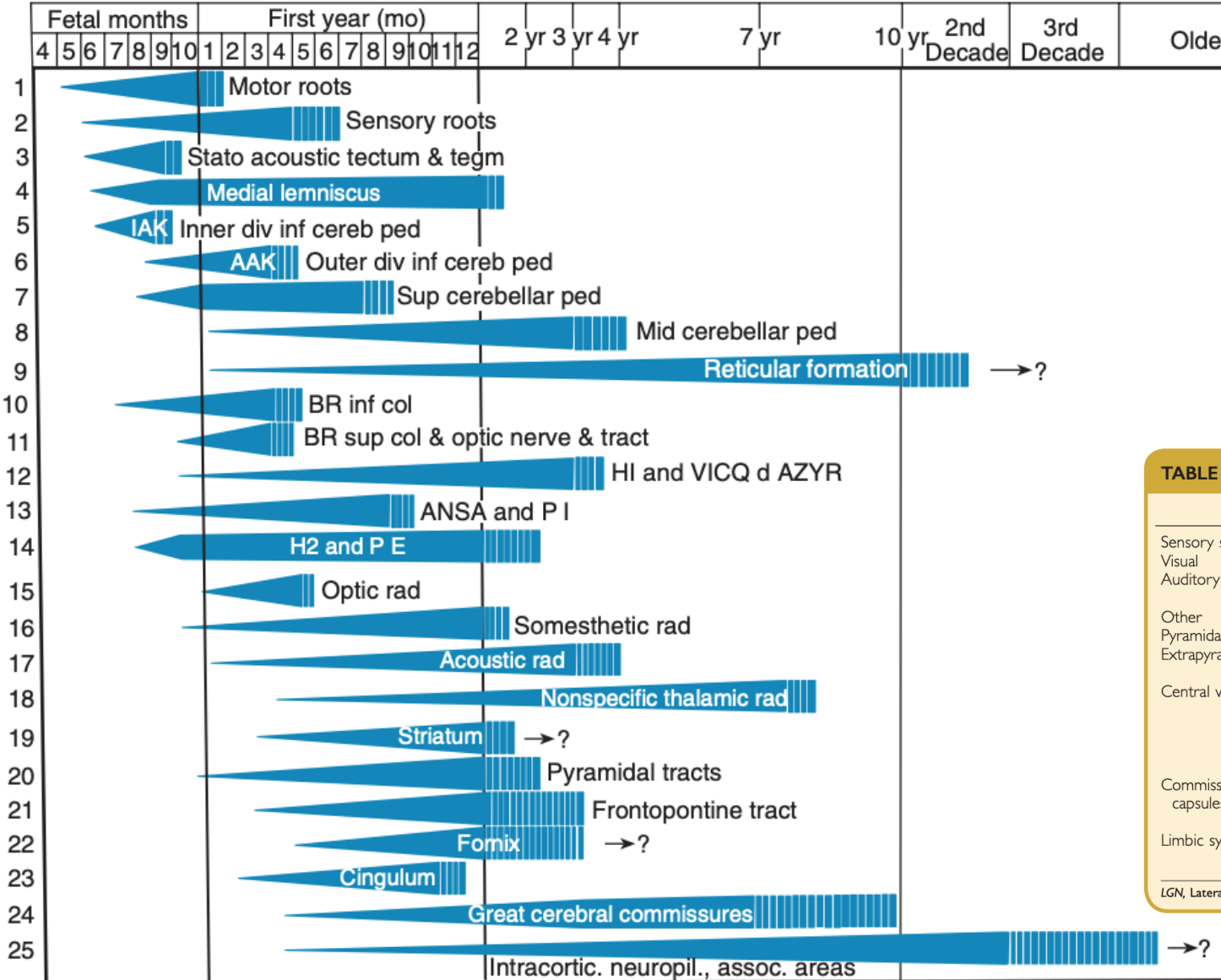
Invited Article:  
An MRI-based approach to the diagnosis  
of white matter disorders

Raphael Schiffmann,  
MD  
Marjo S. van der Knaap,  
MD, PhD

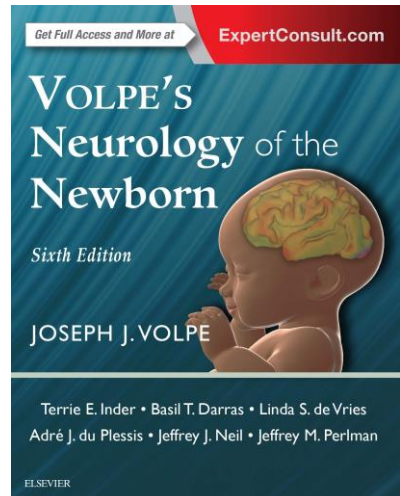


*Grazie per  
l'attenzione*

# Mielinizzazione



Yakovlev 1967



## Chapter 8 Myelination Events

TABLE 8.4 Sequences of Myelination: Sites That Begin to Myelinate After Birth

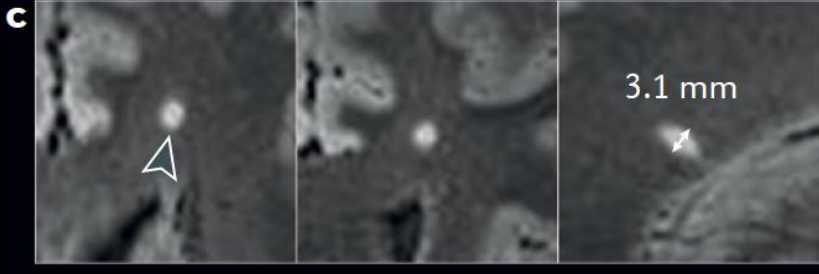
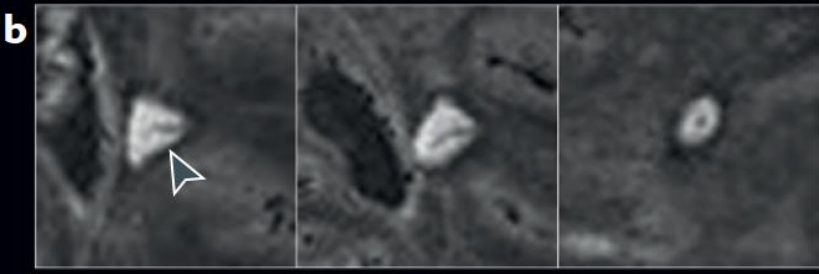
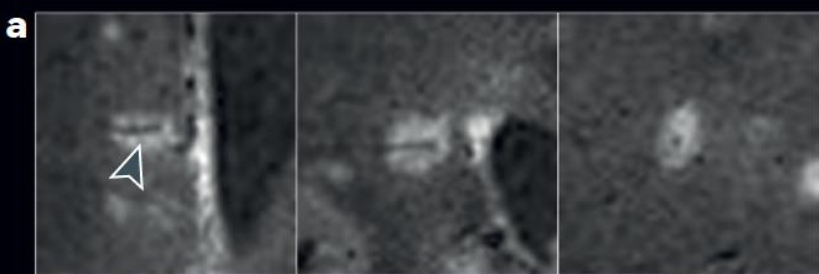
|                          | ≤68 WEEKS | 70–109 WEEKS                         | 119–142 WEEKS          | >144 WEEKS              |
|--------------------------|-----------|--------------------------------------|------------------------|-------------------------|
| Sensory system           |           | Optic radiation proximal             | SAF calcarine cortex   |                         |
| Visual                   |           | Optic radiation distal               | Heschl's gyrus         |                         |
| Auditory                 |           | Auditory radiation proximal          |                        | Lateral olfactory stria |
| Other                    |           |                                      |                        | Medial crus pedunculi   |
| Pyramidal                |           |                                      |                        | Putaminal pencils       |
| Extrapyramidal system    |           |                                      |                        | Temporal lobe at LGN    |
| Central white matter     |           |                                      | Lateral crus pedunculi | Temporal pole           |
|                          |           | Distal radiation to precentral gyrus | Frontal pole           | Frontal pole            |
|                          |           | Posterior frontal                    | SAF all sites          | SAF all sites           |
|                          |           | Posterior parietal                   |                        | Anterior commissure     |
|                          |           | Occipital pole                       |                        | Inner                   |
| Commissures and capsules |           | Rostrum                              |                        | Extreme capsule         |
|                          |           | Anterior limb                        |                        | Mammillothalamic tract  |
|                          |           | External capsule                     |                        | Alveus, fimbria         |
| Limbic system            |           | Cingulum                             |                        | Medial fornix           |
|                          |           |                                      |                        | Lateral fornix          |

LGN, Lateral geniculate nucleus; SAF, subcortical association fibers.

# Sclerosi Multipla

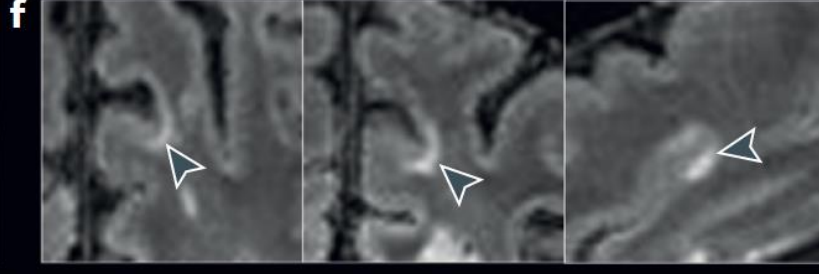
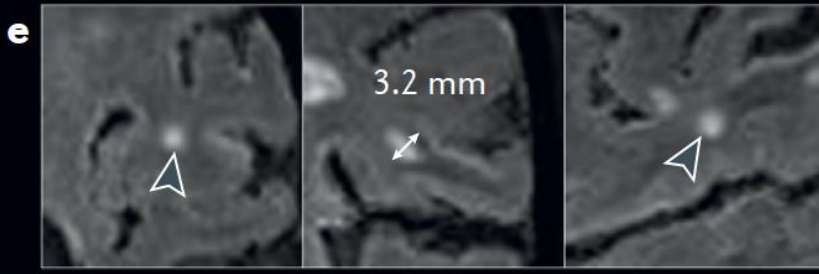
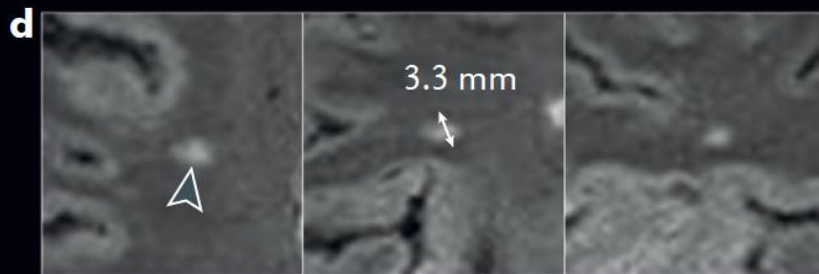
**Lesions with a central vein**

Axial      Coronal      Sagittal



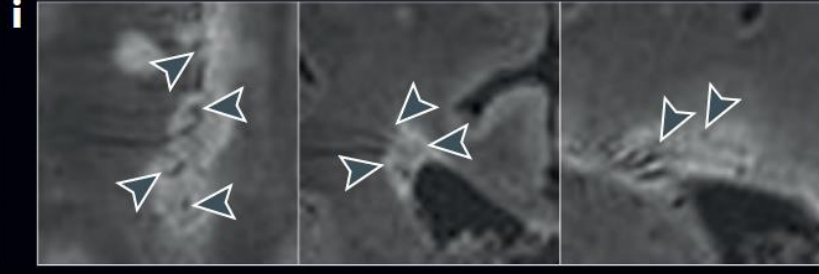
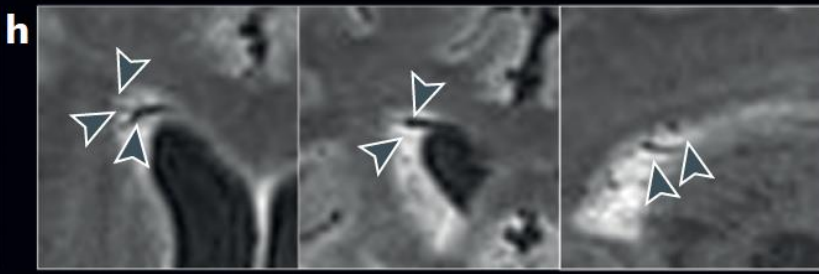
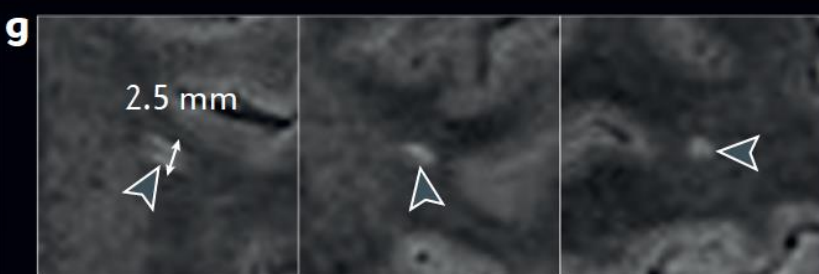
**Lesions without a central vein**

Axial      Coronal      Sagittal



**Excluded lesions**

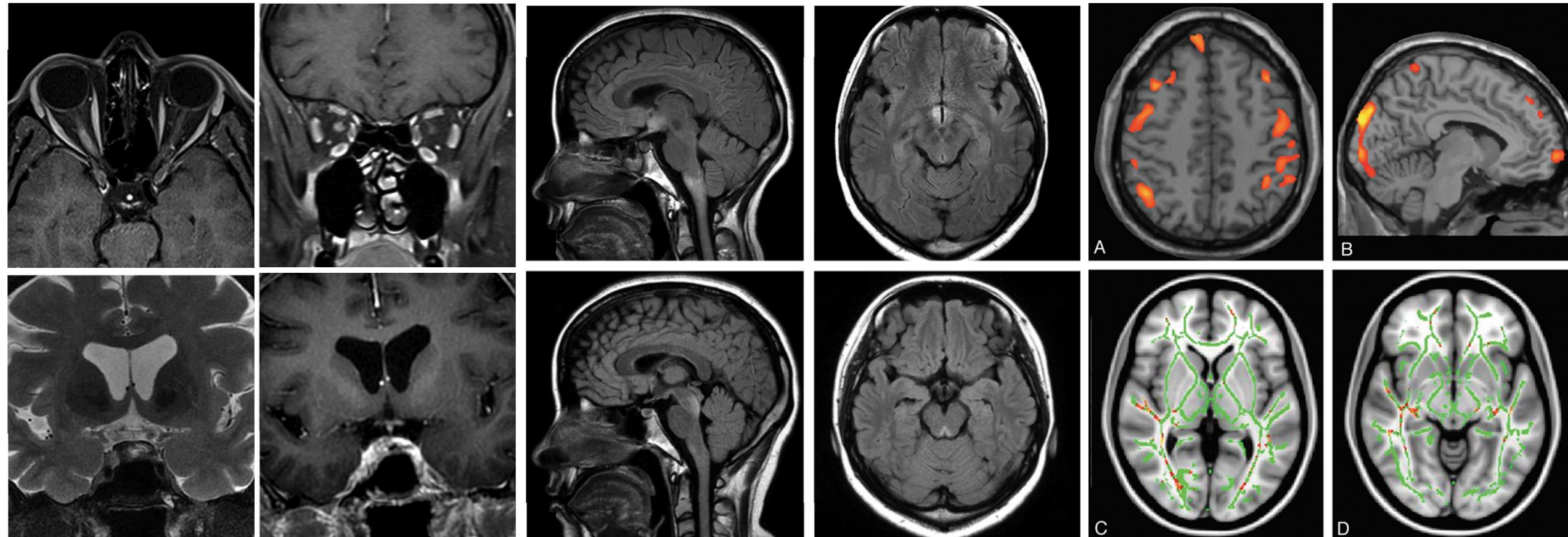
Axial      Coronal      Sagittal



## Conventional and Advanced Imaging in Neuromyelitis Optica

AJNR 2014

Y. Barnett, I.J. Sutton, M. Ghadiri, L. Masters, R. Zivadinov, and M.H. Barnett



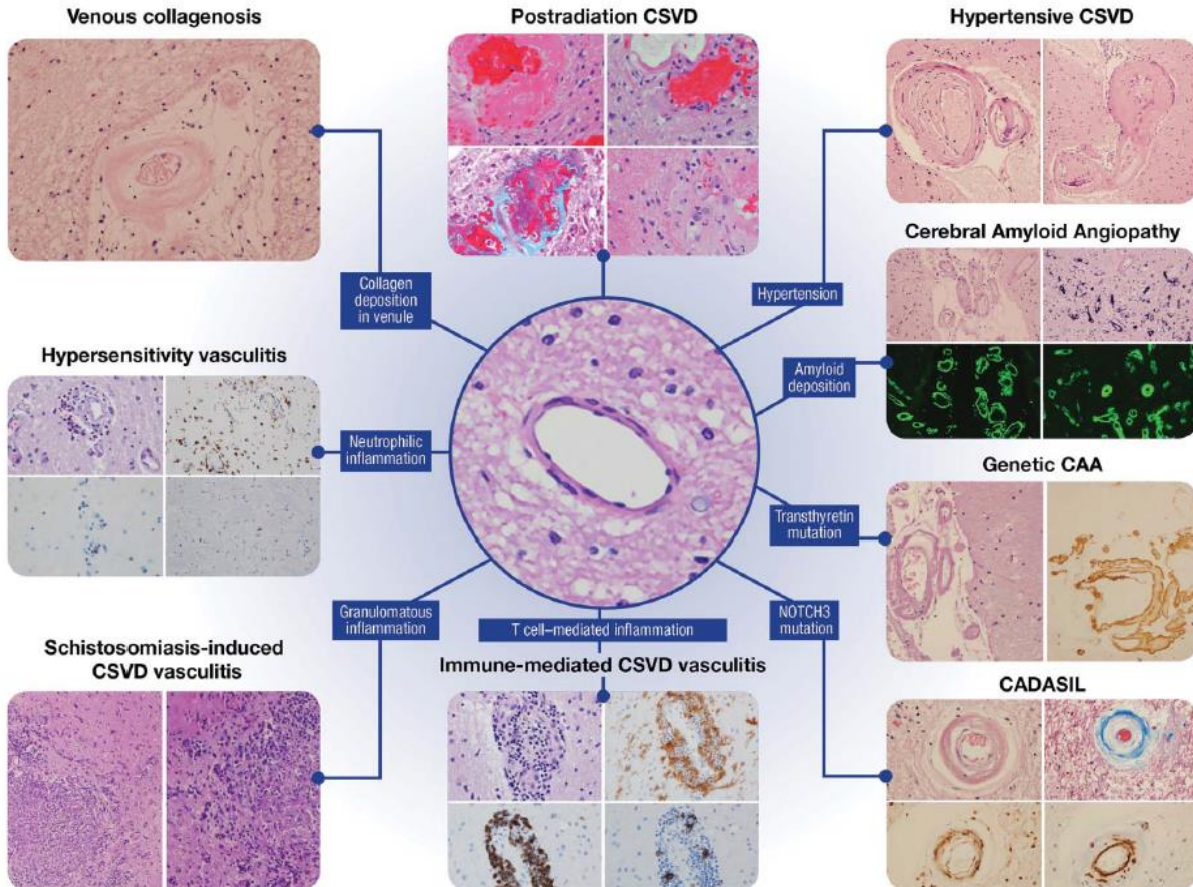
# Malattie piccoli vasi - overview

## CNS small vessel disease

### A clinical review

Rocco J. Cannistraro, MD, Mohammed Badi, MD, Benjamin H. Eidelberg, MD, Dennis W. Dickson, MD, Erik H. Middlebrooks, MD, and James F. Meschia, MD

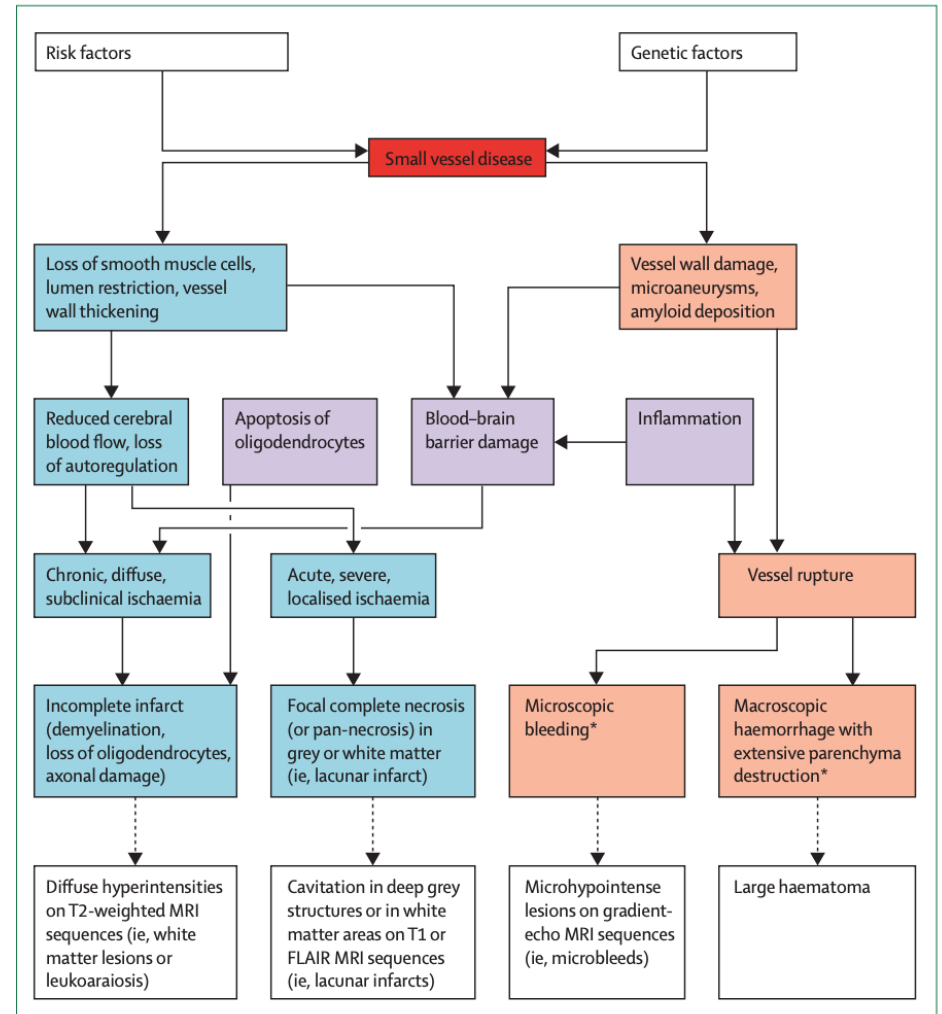
*Neurology*® 2019;92:1146-1156. doi:10.1212/WNL.0000000000007654



## Cerebral small vessel disease: from pathogenesis and clinical characteristics to therapeutic challenges

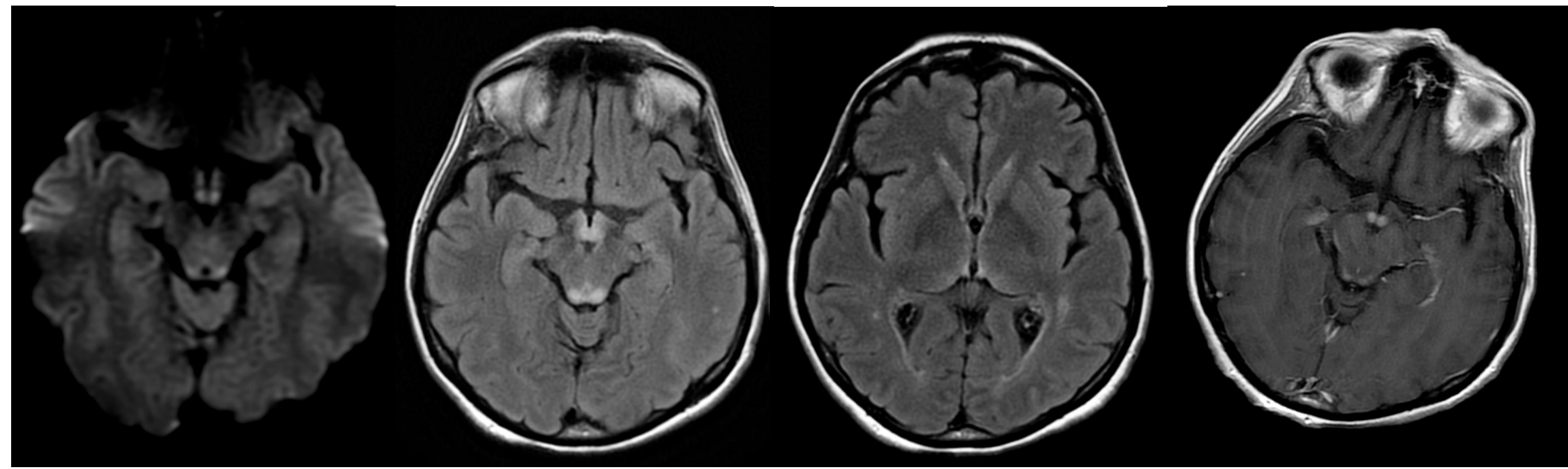
Leonardo Pantoni

*Lancet Neurol* 2010; 9: 689-701



# Deficit di tiamina

*Encefalopatia di Wernicke*



**Corpi mammillari, sostanza grigia periacqueduttale, porzioni dorso-mesiali dei talami, collicoli superiori.**

Diffusione ristretta in fase acuta

Potenziamento post-mdc dei corpi mammillari

- Alcolica VS Non alcolica
- Patogenesi: perdita omeostasi osmotica delle membrane
- Clinica:

-nistagmo/oftalmoplegia  
-atassia  
-alterazione dello stato di coscienza

} 30% dei pz

#### ➤ Imaging:

- ipersegnaile T2/FLAIR bilaterale e simmetrico nei **corpi mammillari**, SG periacqueduttale, porzioni dorsomesiali dei **talami**, **collicoli superiori**.
- Diffusione ristretta fase acuta
- sedi "atipiche" ipersegnaile T2/FLAIR cervelletto, nuclei tronco encefalici, porzioni dorsali del bulbo

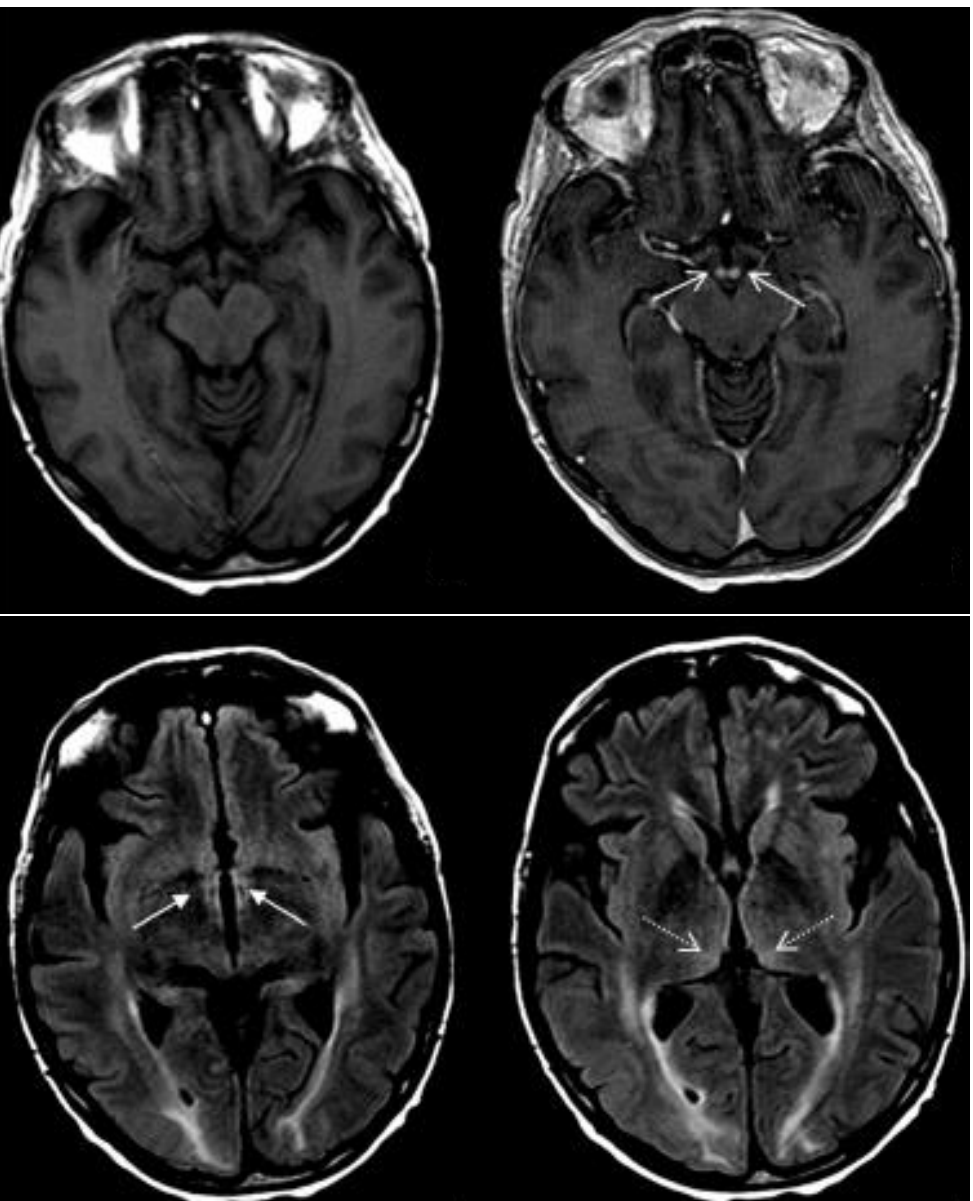
T1postGd:  
enhancement  
corpi mammillari



Case Report

Posterior reversible encephalopathy syndrome and Wernicke encephalopathy in patient with acute graft-versus-host disease

Francesca Di Giuliano, MD<sup>a</sup>, Eliseo Picchi, MD<sup>a,\*</sup>, Jacopo Scaggiante, MD<sup>a</sup>,  
Paolo Ferrante, MD<sup>a</sup>, Teresa Misciasci, MD<sup>a</sup>, Valerio Da Ros, MD, PhD<sup>b</sup>,  
Chiara Adriana Pistolese, MD<sup>a</sup>, Roberto Floris, MD, PhD<sup>a</sup>, Francesco Garaci, MD, PhD<sup>b</sup>



## The Spatial Distribution of MR Imaging Abnormalities in Cerebral Autosomal Dominant Arteriopathy with Subcortical Infarcts and Leukoencephalopathy and Their Relationship to Age and Clinical Features

AJNR Am J Neuroradiol 26:2481–2487, November/December 2005

Sumeet Singhal, Philip Rich, and Hugh S. Markus

**BACKGROUND AND PURPOSE:** Cerebral autosomal dominant arteriopathy with subcortical infarcts and leukoencephalopathy (CADASIL) is a condition causing recurrent subcortical strokes. MR imaging, which shows focal lacunar infarcts and leukoaraiosis, plays a central role in the diagnosis and evaluation. We studied MR imaging abnormalities in a large prospectively recruited cohort of CADASIL patients to describe the spatial distribution of abnormalities, determine how this distribution alters with age, and identify any correlations with the clinical features of the disease.

**METHODS:** In this study, 112 CADASIL subjects from 64 families were prospectively recruited. MR imaging scans were graded by a single neuroradiologist, by using the modified Scheltens scale, to quantify the severity of high-signal-intensity changes in different brain regions.

**RESULTS:** Lesion load increased progressively with age. Scores were maximal in the frontal, parietal, and anterior temporal cortex, and the external capsule; intermediate in the pons; and relatively low in the corpus callosum, caudate, globus pallidus, cerebellum, midbrain, and medulla. Anterior temporal pole involvement was common at all ages and, when present, usually confluent, but this was absent in 33% of patients 20–29 years of age. A history of stroke correlated with total Scheltens score and internal capsule and pontine scores. Dementia correlated with total Scheltens score and subcortical white matter score, whereas depression correlated with subcortical white matter score but not total Scheltens score.

**CONCLUSIONS:** There is a characteristic pattern of MR imaging abnormalities in CADASIL that aids in differential diagnosis; however, some characteristic features, such as anterior temporal pole involvement, can be absent. MR imaging lesion load correlated with some clinical features including stroke and dementia, whereas depression is more common in individuals with deep white matter changes.

### ORIGINAL RESEARCH

R. van den Boom  
S.A.J. Lesnick  
Oberstein  
A.A. van den Berg-  
Huysmans  
M.D. Ferrari  
M.A. van Buchem  
J. Haan

## Cerebral Autosomal Dominant Arteriopathy with Subcortical Infarcts and Leukoencephalopathy: Structural MR Imaging Changes and Apolipoprotein E Genotype

**BACKGROUND AND PURPOSE:** Apolipoprotein E (apoE) genotype plays an important role in the development, maintenance, and response to injury of the central nervous system. It has been suggested that apoE  $\epsilon 4$  genotype is a risk factor for several neurologic disorders. We investigated the correlation between the apoE genotype and radiologic data in patients with cerebral autosomal dominant arteriopathy with subcortical infarcts and leukoencephalopathy (CADASIL).

**METHODS:** T1-weighted, dual fast spin-echo, T2\*-weighted gradient echo, and fluid-attenuated inversion recovery MR imaging scans were obtained from 36 CADASIL patients (21–59 years of age). The number of lacunar infarcts and microbleeds and the presence of subcortical lacunar lesions were determined. The amount of white matter hyperintensities was assessed by using semiautomated segmentation software. The relation between the radiologic endophenotype of CADASIL and the apoE genotype was assessed by using a Student *t* test for unpaired data and Fisher exact test.

**RESULTS:** White matter hyperintensities, lacunar infarcts, microbleeds, and subcortical lacunar lesions were not found to be associated with the presence of an  $\epsilon 4$  allele.

**CONCLUSION:** The variability of structural MR imaging lesions in CADASIL is independent of apoE genotype and other processes must underlie the variable natural history of the disease.

**CADASIL indipendente dal profilo genotipico delle apoE**

**Le alterazioni temporali anteriori possono non essere presenti**

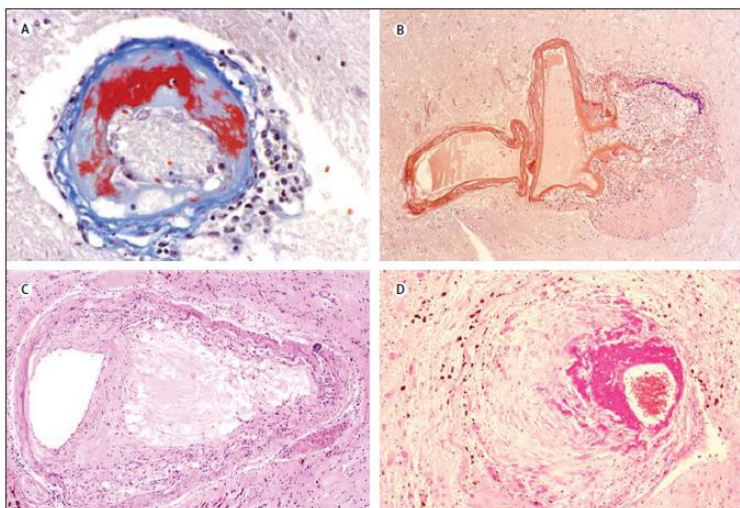
**GENETICA: NOTCH 3**

**ISTOLOGIA: depositi di materiale granulare osmiofilico vicino i vasi**

# Arteriolosclerosi

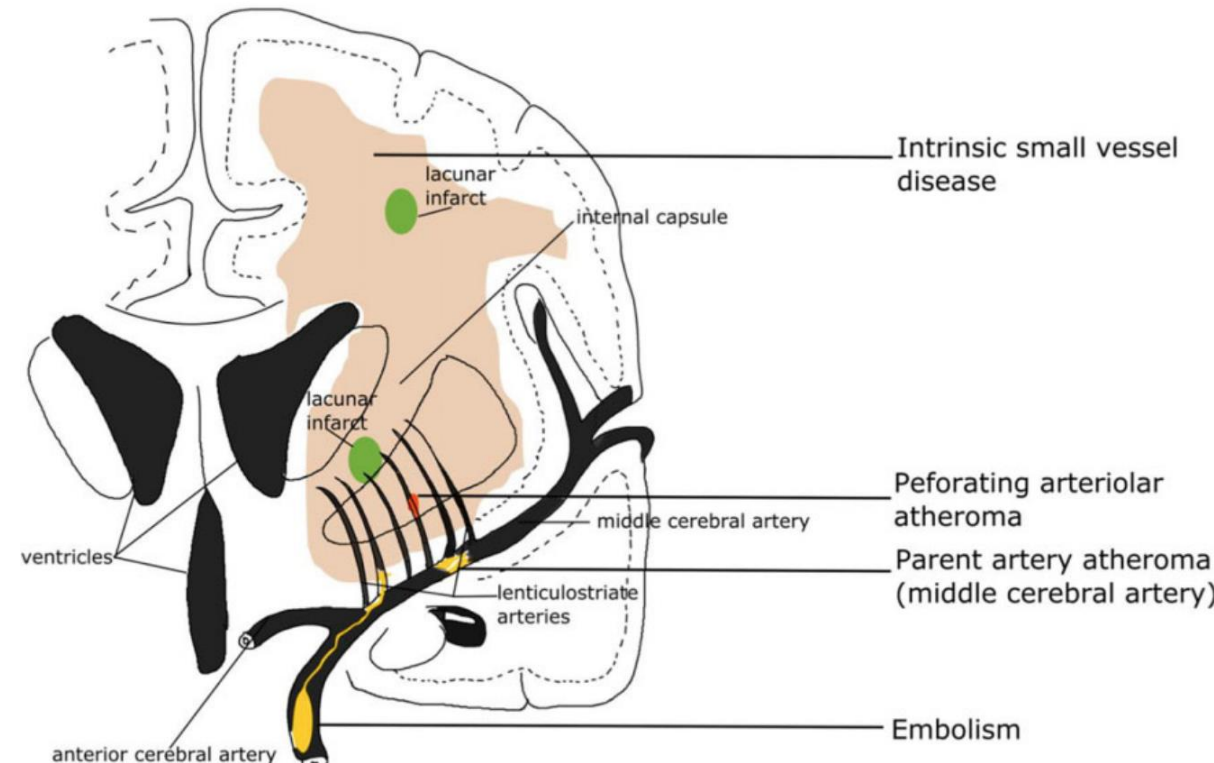
- Malattia dei piccoli vasi
- Correlata fattori di rischio cardiovascolari ed età
- Istologia:
  - demielinizzazione; gliosi
  - arterie perforanti lunghe
    - lipoialinosi
    - microateromatosi
    - necrosi fibrinoide
    - ispessimento delle pareti dei vasi
    - restringimento del lume

PATOLOGIA SISTEMICA:  
**RENI**  
**RETINA**



Cerebral small vessel disease: from pathogenesis and clinical characteristics to therapeutic challenges

Leonardo Pantoni



## Cerebral Small Vessel Disease

Qian Li<sup>1,\*</sup>, Yang Yang<sup>2,\*</sup>, Cesar Reis<sup>3</sup>, Tao Tao<sup>2</sup>, Wanwei Li<sup>1</sup>, Xiaogang Li<sup>2</sup>, and John H. Zhang<sup>3,4</sup>

Cell Transplantation  
2018, Vol. 27(12) 1711–1722  
© The Author(s) 2018  
Article reuse guidelines:  
[sagepub.com/journals-permissions](http://sagepub.com/journals-permissions)  
DOI: [10.1177/0963689718795148](https://doi.org/10.1177/0963689718795148)  
[journals.sagepub.com/home/cell](http://journals.sagepub.com/home/cell)

SAGE

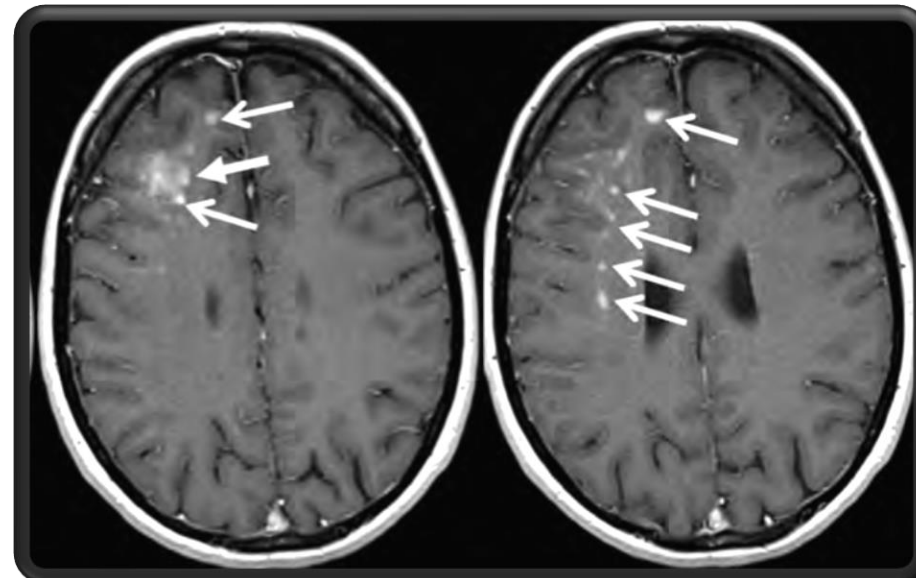
*Lancet Neurol* 2010; 9: 689–701

# IRIS – Immune Reconstitution Inflammatory Syndrome

Paradosso peggioramento dei sintomi neurologici in pazienti sottoposti a plasmaferesi(PLEX) o Immunoadsorbimento (IA) per rimuovere il natalizumab dal plasma

Flogosi da improvviso ripristino delle difese immunitarie

Aspetto tipico (anche HIV-PML): infiltrato di cellule T-CD8 e macrofagi anche nella sostanza bianca mielinizzata e nella sostanza grigia



### ➤ Quadro clinico-radiologico

### ➤ Fisiopatologia:

-stato ipertensivo severo → perdita delle capacità di autoregolazione del flusso intracranico

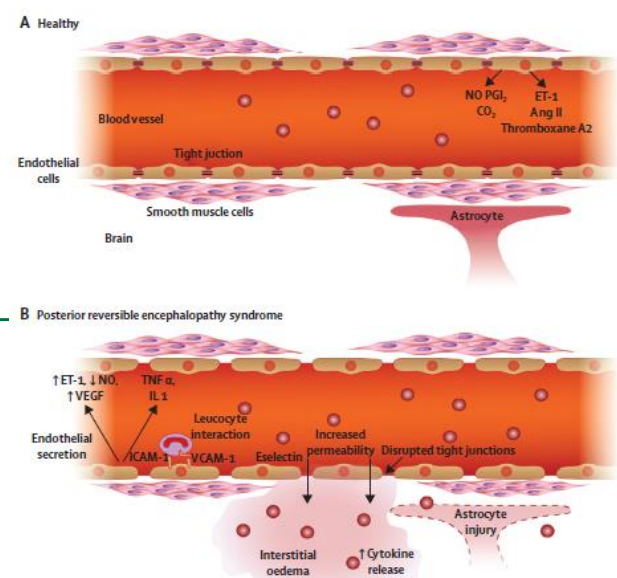
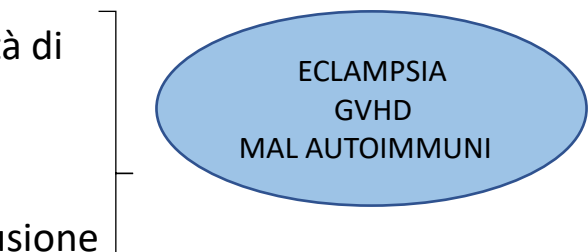
-tossicità sistemica/tempesta citochinica →

danno endoteliale → vasocostrizione ed ipoperfusione

### ➤ Istologia:

**-edema vasogenico subcorticale parieto-occipitale (più frequente)**

-demyelinizzazione e danno assonale???????



Posterior reversible encephalopathy syndrome: clinical and radiological manifestations, pathophysiology, and outstanding questions

Jennifer E Fugate, Alejandro A Rabstein

Lancet Neurol 2015;14: 914-25

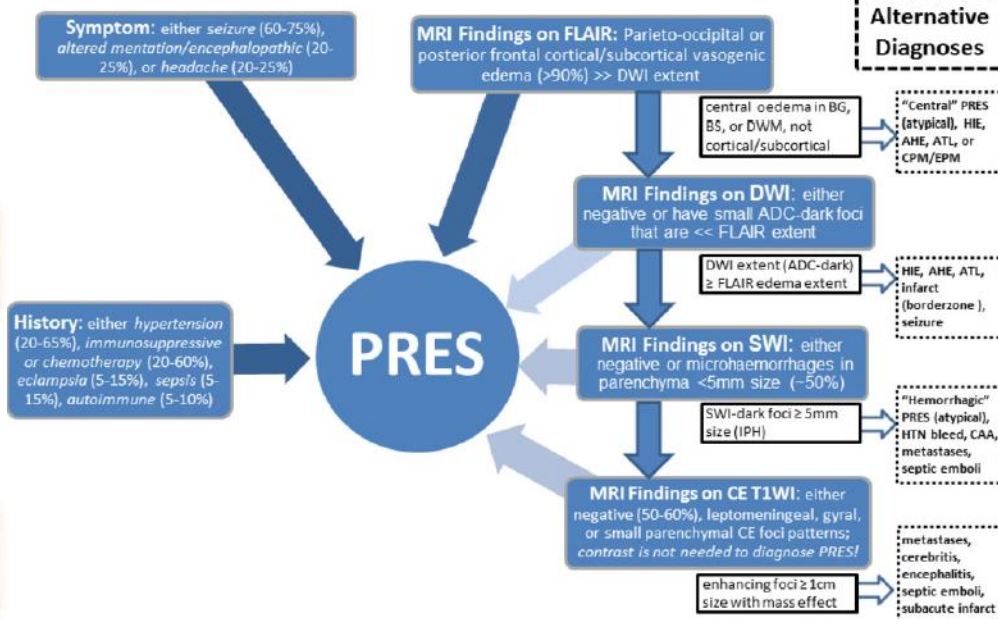
### Cerebrovascular disease

#### REVIEW

### Controversy of posterior reversible encephalopathy syndrome: what have we learnt in the last 20 years?

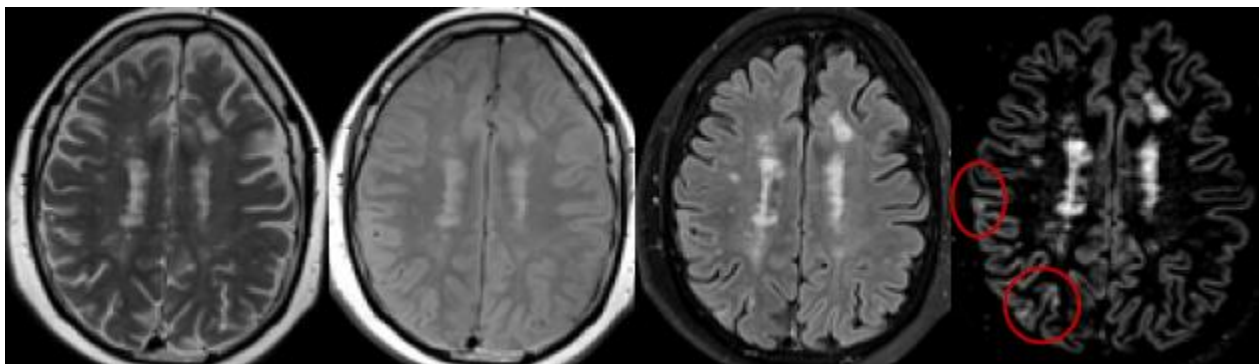
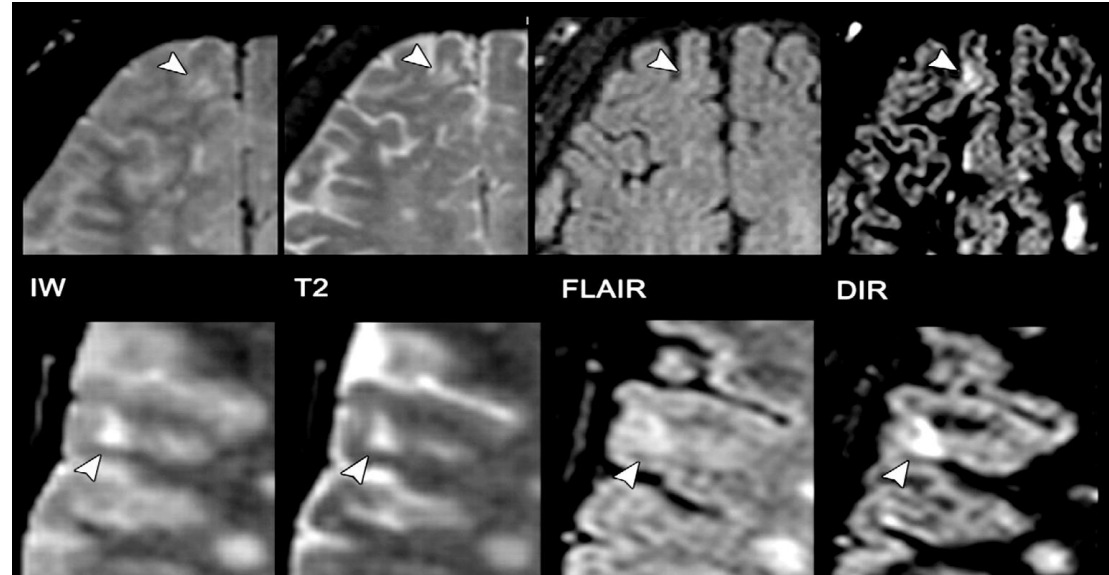
Bo Gao,<sup>1</sup> Cui Lyu,<sup>2</sup> Alexander Lerner,<sup>3</sup> Alexander M McKinney<sup>4</sup>

### Converging on the Diagnosis of “Typical” PRES in >90% of Patients



# Sclerosi Multipla

RM sedi meno frequenti /atipiche: sostanza grigia



# Neurolupus

## Malattie cerebro-vascolari

- 1) Malattie dei piccoli vasi ed atrofia cerebrale (25% dei casi)

Alterazioni T2 sostanza bianca sottocorticale e periventricolare

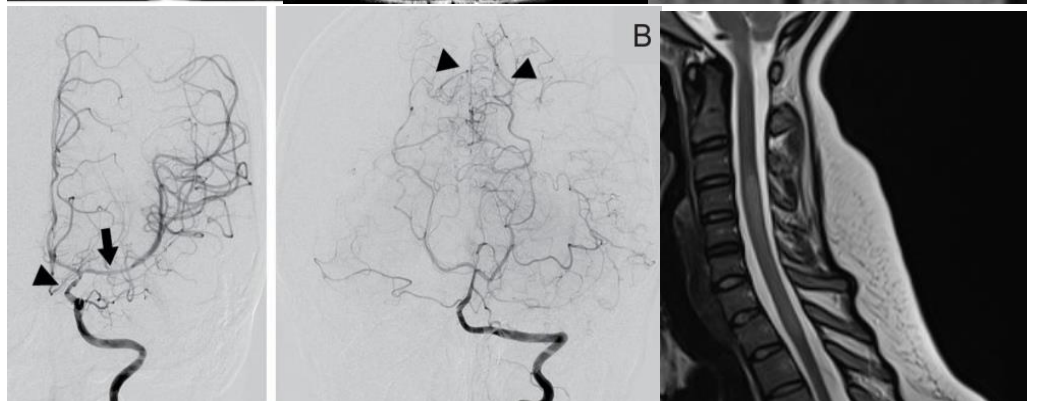
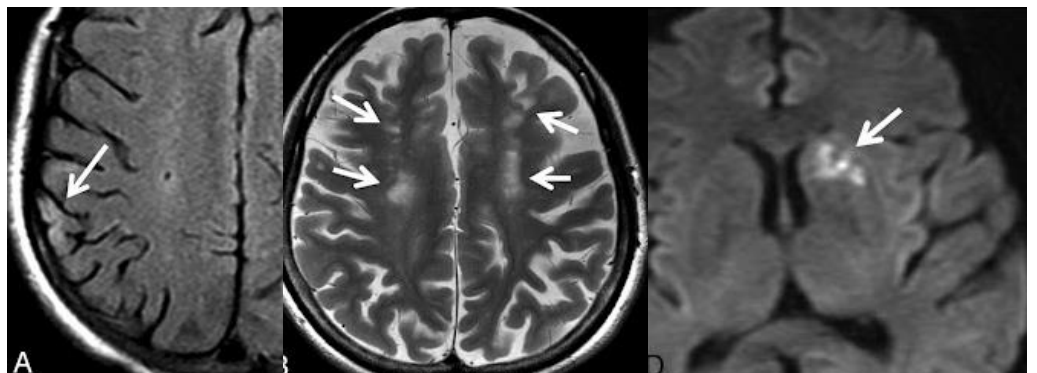
- 2) Lesioni ischemiche

- 3) Emorragie intra-assiali

- 4) Trombosi seni venosi durali

- 5) Vasculiti cerebrali

Quadro RM non specifico; angiografia: focali riduzioni di calibro



## Mielopatie

- 1) Mieliti trasverse

- 2) Neuriti ottiche

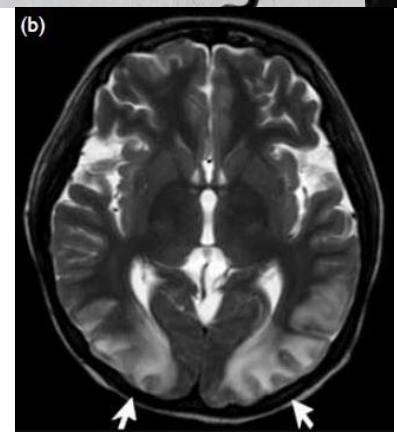
## Ulteriori manifestazioni

- 1) Meningiti asettiche (leptomeningiti focali o diffuse)

- 2) Ascessi cerebrali (secondari a emboli micotici valvolari)

- 3) PRES (secondaria ad ipertensione)

- 4) Encefalite anti recettori NMDA (legati a patologie e sintomi psichici)



# Neurolupus

- Malattia sistematica autoimmune, 30-40% neurolupus

- Patogenesi:

- vasculiti

- coagulopatia LAC-relate

- Imaging:

- multiple lesioni SB sottocorticale e profonda (pz asintomatici)

- aree di demielinizzazione estese e confluenti (pz sintomatici)

- diffusione ristretta

- T1postGd: potenziamento

} FASE ACUTA

Quadro RM non specifico; angiografia: focali riduzioni di calibro

